

МИНИСТЕРСТВО ОБРАЗОВАНИЯ И НАУКИ РФ  
НОВОСИБИРСКИЙ ГОСУДАРСТВЕННЫЙ УНИВЕРСИТЕТ

Физический факультет  
Кафедра теоретической физики

В. Г. Сербо

# ЛЕКЦИИ ПО ФИЗИКЕ ЭЛЕМЕНТАРНЫХ ЧАСТИЦ

(Курс лекций)

Новосибирск  
2011

Данный курс лекций предназначен для студентов 4-го курса физического факультета, специализирующихся по кафедре физики элементарных частиц. Содержание соответствует курсу “Физика элементарных частиц”. Пособие может также оказаться полезным и для студентов других специальностей НГУ.

Автор

докт. физ.-мат. наук, проф. В.Г. Сербо

Курс лекций подготовлен в рамках реализации Программы развития НИУ-НГУ на 2009–2018 г.

?

## Оглавление

<b>§ 1. Введение: элементарные частицы и их взаимодействия</b> .....	7
1.1. Частицы .....	7
1.2. Взаимодействия .....	7
1.3. Три поколения лептонов и кварков .....	8
1.4. Кварки и адроны .....	8
1.5. Понятие о квантовой теории поля .....	9
<b>§ 2. Квантование электромагнитного поля</b> .....	10
2.1. Электромагнитное поле как набор осцилляторов .....	10
2.2. Квантование поля .....	14
2.3. Рождение и уничтожение квантов поля .....	15
<b>§ 3. Лагранжев подход в теории поля</b> .....	16
3.1. Уравнения Лагранжа .....	16
3.2. Симметрия и законы сохранения .....	17
<b>§ 4. Действительное скалярное поле</b> .....	20
<b>§ 5. Комплексное скалярное поле</b> .....	22
<b>§ 6. <math>C, P, T</math>-преобразования комплексного скалярного поля</b> .....	24
<b>§ 7. <math>C, P, T</math>-преобразования электромагнитного поля</b> .....	25
<b>§ 8. Спинорное поле Дирака</b> .....	26
<b>§ 9. Представление взаимодействия</b> .....	27
<b>§ 10. Инвариантная теория возмущений</b> .....	29
<b>§ 11. Амплитуды и вероятности переходов</b> .....	30
11.1. Амплитуда рассеяния .....	30
11.2. Ширина распада .....	31
11.3. Сечение рассеяния .....	31
<b>§ 12. Первый порядок теории возмущений</b> .....	32
12.1. Взаимодействие $g\hat{\varphi}^+\hat{\varphi}\hat{\Phi}$ .....	32
12.2. Взаимодействие $g\hat{\Psi}\hat{\Psi}\hat{\Phi}$ . Распад хиггсовского бозона .....	34
12.3. КЭД .....	37
<b>§ 13. Второй порядок теории возмущений для взаимодействия <math>g\hat{\varphi}^+\hat{\varphi}\hat{\Phi}</math>. Пропагатор скалярной частицы</b> .....	38
13.1. Переменные Манделштама .....	39
13.2. Рассеяние заряженных частиц .....	41
13.3. Пропагатор скалярной частицы .....	43
13.4. Процесс $\pi^0\pi^- \rightarrow \pi^0\pi^-$ и $\pi^+\pi^- \rightarrow \pi^0\pi^0$ .....	45
<b>§ 14. Второй порядок теории возмущений в КЭД. Фотонный пропагатор</b> .....	46
14.1. Рассеяние электронов .....	47
14.2. Фотонный пропагатор .....	48
14.3. Диаграммы Фейнмана и закон Кулона .....	49
14.4. Процесс аннигиляции $e^+e^- \rightarrow \mu^+\mu^-$ .....	51
14.5. Процессы $e^+e^- \rightarrow \bar{q}q$ и $e^+e^- \rightarrow hadrons$ при высоких энергиях .....	52

14.6. Процесс $e\mu \rightarrow e\mu$ и перекрёстная симметрия .....	53
<b>§ 15. Второй порядок теории возмущений в КЭД.</b>	
<b>Электронный пропагатор</b> .....	53
15.1. $\gamma e$ -рассеяние .....	53
15.2. Электронный пропагатор .....	55
15.3. Эффект Комптона .....	55
15.4. Основные характеристики процессов $e^+e^- \rightarrow \gamma\gamma$ и $\gamma\gamma \rightarrow e^+e^-$ при высоких энергиях	
<b>§ 16. Семейство адронов. Изоспин и странность.</b>	
<b>Кварковая модель адронов</b>	
<b>§ 17. Глубоконеупругое <math>ep</math> и <math>e\gamma</math> рассеяние</b>	

## ПРИЛОЖЕНИЯ

<b>§ А. Напоминание про уравнение Паули и спиноры</b> .....	58
A.1. Матрицы Паули .....	58
A.2. Уравнение Паули .....	58
A.3. Преобразование спиноров при поворотах и отражениях координат .....	59
<b>§ В. Уравнение Клейна–Фока–Гордона</b> .....	62
<b>§ С. Уравнение Дирака</b> .....	65
C.1. Симметричная форма уравнения Дирака .....	65
C.2. Релятивистская ковариантность уравнения Дирака .....	67
C.3. Плотность тока .....	69
C.4. Зарядовое сопряжение и отражение времени .....	69
C.5. Гамильтонова форма уравнения Дирака .....	70
<b>§ D. Свободное движение дираковской частицы</b> .....	71
<b>§ E. Поляризация электрона и позитрона</b> .....	73
<b>§ F. Свойства уравнения Дирака</b> .....	75
F.1. Нерелятивистский предел уравнения Дирака .....	75
F.2. Ультрарелятивистский предел уравнения Дирака .....	76

Нумерация формул в тексте содержит две цифры. Например, (3.7) означает формулу (7) из § 3. Ссылки на формулы из данного параграфа даются в сокращённом виде без указания номера параграфа.

**Постоянные:**

$\hbar = 1,055 \cdot 10^{-27}$  эрг·с — постоянная Планка;

$c = 2,998 \cdot 10^{10}$  см/с — скорость света;

$|e| = 4,803 \cdot 10^{-10}$  ед. СГС — элементарный заряд;

$\alpha = e^2/(\hbar c) = 1/137.04$  — постоянная тонкой структуры;

1 эВ =  $1,602 \cdot 10^{-12}$  эрг =  $1,602 \cdot 10^{-19}$  Дж.

**Единицы:**

В начальных разделах § 1—§ 2 и приложениях § А—§ С, § F.1 используется абсолютная гауссова система единиц. В остальных разделах используется релятивистская система единиц, в которой  $c = 1$ ,  $\hbar = 1$ . В этой системе энергия, импульс, частота, (длина)<sup>-1</sup> и (время)<sup>-1</sup> имеют одинаковую размерность, в частности

$m_e = 0,511$  МэВ — масса электрона;

$m_p = 0,940$  ГэВ — масса протона;

$1/m_e = 3,862 \cdot 10^{-11}$  см — приведённая комптоновская длина волны электрона;

$r_e = \alpha/m_e = 2,818 \cdot 10^{-13}$  см — классический радиус электрона;

$1/(1 \text{ ГэВ}) = 1,97 \cdot 10^{-14}$  см.

**4-векторы:**

По повторяющимся индексам 4-векторов подразумевается суммирование, т. е. выражение  $A^\mu B_\mu$  означает  $A^\mu B_\mu \equiv A_0 B_0 - A_x B_x - A_y B_y - A_z B_z = A_0 B_0 - \mathbf{A} \cdot \mathbf{B}$ . Мы нередко будем использовать сокращённое обозначение  $AB \equiv A^\mu B_\mu$ .

4-радиус-вектор  $x^\mu = (t, \mathbf{r})$ ,  $x_\mu = (t, -\mathbf{r})$ ,

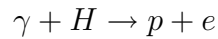
$$\frac{\partial}{\partial x^\mu} \equiv \left( \frac{\partial}{\partial t}, +\nabla \right) \equiv \partial_\mu, \quad \frac{\partial}{\partial x_\mu} \equiv \left( \frac{\partial}{\partial t}, -\nabla \right) \equiv \partial^\mu.$$

## § 1. Введение: элементарные частицы и их взаимодействия

Чтобы за деревьями не потерять леса, перечислим в телеграфном стиле основные типы частиц и их взаимодействий.

### 1.1. Частицы

Содержание понятия “элементарная частица” изменялось во времени. Сейчас это условно мельчайшая частица, но не атом и не ядра (исключение составляет протон  $p$  — ядро атома водорода). Элементарных частиц больше, чем атомов в таблице Менделеева — см. Review of Particle Physics. Их наиболее характерная черта — способность рождаться и взаимно превращаться в реакциях. Сравним фотоэффект



и  $\beta$ -распад нейтрона



во втором случае до распада  $n$  не было  $p$ ,  $e$  и  $\bar{\nu}_e$ , они возникли в результате реакции.

Если потребовать неразложимости на составляющие, то останется немного “фундаментальных частиц”:

- лептоны и кварки ( $l$  и  $q$ ), спин  $J = \frac{1}{2}$ ;
- калибровочные векторные бозоны ( $\gamma$ ,  $W^\pm$ ,  $Z^0$ ,  $g$ ),  $J = 1$ ;
- скалярный бозон Хиггса ( $H$ ),  $J = 0$ .

### 1.2. Взаимодействия

Основные типы взаимодействия частиц таковы.

1. *Электромагнитное (ЭМ)*: характерный радиус взаимодействия  $R_{\text{em}} \sim \frac{\hbar}{m_\gamma c} = \infty$ , так как  $m_\gamma = 0$ , сила взаимодействия характеризуется безразмерной константой  $\alpha = \frac{e^2}{\hbar c} \approx \frac{1}{137} \ll 1$ , поэтому здесь возможно применять теорию возмущений — квантовую электродинамику (КЭД);
2. *Гравитационное*:  $R_g \sim \infty$ , очень слабое, в атомных масштабах пренебрежимо мало, для двух протонов в ядре

$$\frac{F_g}{F_{\text{em}}} \sim \frac{Gm_p^2}{e^2} \sim 10^{-36};$$

3. *Сильное*: ответственно за связь нуклонов в ядре, за быстрые распады резонансных состояний, характерное время  $\tau_s \sim 10^{-24}$  с,  $R_s \sim \frac{\hbar}{m_\pi c} \sim 10^{-13}$  см, сила взаимодействия характеризуется безразмерной константой  $\alpha_s \sim 1$  на расстояниях  $\sim R_s$ ;

4. *Слабое*: отвечает за распад многих долгоживущих частиц:  $n$ ,  $\pi$ ,  $K$ ,  $\dots$ , характерное время  $\tau_w \sim 10^{-13} \div 10^{-8}$  с,  $R_w \sim \frac{\hbar}{m_W c} \sim 10^{-16}$  см. Пример — нейтрино  $\nu$ , при малых (реакторных) энергиях  $\nu$  проходит сквозь Землю, при  $E \sim m_W c^2$  сечения взаимодействия сравниваются с электромагнитными.

Взаимодействия элементарных частиц осуществляется через обмен

- $\gamma$  — для ЭМ взаимодействия;
- $W^\pm$  и  $Z$  — для слабого взаимодействия;
- $g$  — для сильного взаимодействия.

### 1.3. Три поколения лептонов и кварков

$\begin{pmatrix} \nu_e \\ e \end{pmatrix}, \begin{pmatrix} u \\ d \end{pmatrix}$  — 1-е поколение,

$\begin{pmatrix} \nu_\mu \\ \mu \end{pmatrix}, \begin{pmatrix} c \\ s \end{pmatrix}$  — 2-е поколение,

$\begin{pmatrix} \nu_\tau \\ \tau \end{pmatrix}, \begin{pmatrix} t \\ b \end{pmatrix}$  — 3-е поколение

+ античастицы.

Заряд  $Qe$ :  $\begin{pmatrix} Q_\nu = 0 \\ Q_e = -1 \end{pmatrix}, \begin{pmatrix} Q_u = \frac{2}{3} \\ Q_d = -\frac{1}{3} \end{pmatrix}$ , спин  $J = \frac{1}{2}$  и то же у других поколений.

Есть значительные отличия в массах для разных поколений — см. таблицы.

У кварков есть дополнительное квантовое число — *цвет*:  $q = q^i, i = 1, 2, 3$  (красный, синий, зеленый).

Кварки участвуют в сильных, ЭМ и слабых взаимодействиях.

$e, \mu, \tau$  участвуют в ЭМ и слабых взаимодействиях.

$\nu$  участвуют в слабых взаимодействиях.

### 1.4. Кварки и адроны

Адроны — бесцветные образования:

- мезоны:  $q\bar{q}$ , например,  $\pi^+ = u\bar{d}$ ;
- барионы:  $qqq$ , например,  $p = uud, n = udd$ .

Возможная экзотика: 4-х кварковые мезоны  $q\bar{q}q\bar{q}$ , 5-и кварковые барионы  $qqqq\bar{q}$ , и т. д.

Кварки взаимодействуют с цветными глюонами  $g_j^i, i, j = 1, 2, 3$ , что приводит к невылетанию цвета (*конфайнмент*).

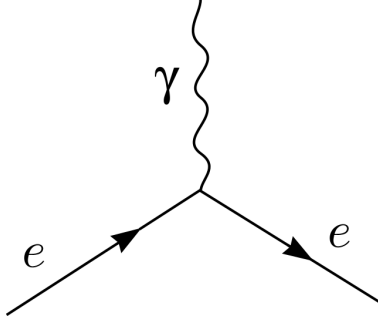


Рис. 1. Элементарный процесс КЭД

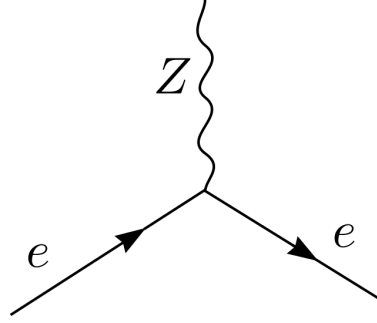


Рис. 2. Элементарный слабый процесс

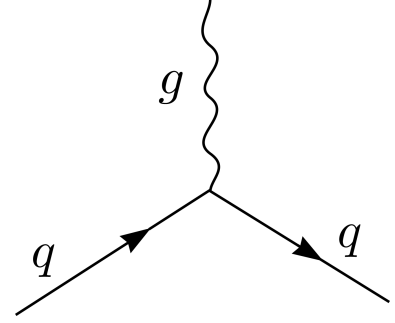


Рис. 3. Элементарный сильный процесс

## 1.5. Понятие о квантовой теории поля

Все элементарные частицы — кванты соответствующих полей, основные взаимодействия элементарных частиц описываются как взаимодействия квантовых полей:

*ЭМ-взаимодействие.* Заряженные частицы, например  $e$ , взаимодействуют через ЭМ-поле. Но ЭМ-поле (после квантования) — набор частиц-фотонов. Сами электроны — частицы-кванты электронно-позитронного поля.

ЭМ-взаимодействию соответствует потенциальная энергия  $U = q\phi$ , где  $q$  — заряд частицы, а  $\phi$  — скалярный потенциал ЭМ поля. Плотность этой энергии — величина  $\rho(t, \mathbf{r})\phi(t, \mathbf{r})$  в релятивистском случае переходит в произведение 4-вектора плотности тока  $j_\mu$  и 4-потенциала  $A_\mu$ :

$$j_\mu A^\mu = c\rho(x)\phi(x) - \mathbf{j}(x)\mathbf{A}(x),$$

где  $x = (ct, \mathbf{r})$  — 4-радиус-вектор.

В нерелятивистской квантовой механике плотность тока

$$\mathbf{j} = \frac{1}{2}e(\Psi^* \hat{v} \Psi + \text{комплексное сопряжение}),$$

где  $e$  — заряд частицы, а  $\hat{v} = -i\hbar\nabla/m$ .

В релятивистской квантовой механике

$$j^\mu(x) = e\bar{\Psi}\gamma^\mu\Psi,$$

где  $\gamma^\mu$  — матрицы Дирака.

Итого, взаимодействие типа  $e\bar{\Psi}\gamma^\mu\Psi A_\mu$  описывает процессы (реальные и виртуальные) типа рис. 1. Сила (константа) взаимодействия  $\alpha = \frac{e^2}{\hbar c} \approx \frac{1}{137}$ .

*Слабое взаимодействие* — его переносчики  $W^\pm$  и  $Z^0$  бозоны, их массы  $m_W c^2 = 80,4$  ГэВ,  $m_Z c^2 = 91,2$  ГэВ. Пример слабого виртуального процесса с несохранением чётности (рис. 2)

$$\frac{e}{\sin 2\theta_W} \bar{\Psi}\gamma^\mu (g_V - g_A\gamma^5) \Psi Z_\mu$$

здесь  $g_V$  и  $g_A$  — безразмерные константы порядка 1.

*Сильное взаимодействие* — его переносчиком является глюон  $g$ , константа сильного взаимодействия  $\alpha_s = \frac{g_s^2}{\hbar c} \approx 0,3 \div 0,1$ . Пример сильного виртуального процесса (рис. 3)

$$g_s \bar{\Psi}_q^i \gamma^\mu \Psi_{qj} (g_\mu)_i^j$$

Теорию квантовых полей мы начинаем с подробного изложения процедуры квантования электромагнитного поля. Конечно, это не самый простой, но зато наиболее привычный объект, поскольку классическое электромагнитное поле достаточно подробно изучалось в курсе электродинамики, а квантование электромагнитного поля уже частично излагалось в курсе квантовой механики.

## § 2. Квантование электромагнитного поля

### 2.1. Электромагнитное поле как набор осцилляторов

Гамильтониан обычного линейного осциллятора имеет вид

$$H = \frac{p^2}{2m} + \frac{m\omega^2 x^2}{2},$$

а канонические переменные  $x$  и  $p$  зависят от времени по закону:

$$x(t) = b \cos(\omega t + \varphi), \quad p(t) = -m\omega b \sin(\omega t + \varphi),$$

где  $b$  — амплитуда, а  $\varphi$  — начальная фаза колебаний. Введём линейные комбинации  $x$  и  $p$  вида

$$a = \frac{m\omega x + ip}{\sqrt{2m\hbar\omega}}, \quad a^* = \frac{m\omega x - ip}{\sqrt{2m\hbar\omega}}$$

и напомним, что величины  $a$  и  $i\hbar a^*$  также являются каноническими переменными с простой зависимостью от времени:

$$a(t) \propto b e^{-i(\omega t + \varphi)}, \quad a^*(t) \propto b e^{+i(\omega t + \varphi)}.$$

В этих переменных гамильтониан имеет особенно простой вид

$$H = \hbar\omega a^* a.$$

Покажем, что электромагнитное поле в пустоте может быть сведено к набору осцилляторов, описываемых переменными  $a$  и  $a^*$ .

Электрическое  $\mathcal{E}$  и магнитное  $\mathbf{B}$  поля в пустоте удовлетворяют уравнениям Максвелла:

$$\text{rot } \mathcal{E} = -\frac{1}{c} \frac{\partial \mathbf{B}}{\partial t}, \quad \text{div } \mathcal{E} = 0, \quad \text{rot } \mathbf{B} = \frac{1}{c} \frac{\partial \mathcal{E}}{\partial t}, \quad \text{div } \mathbf{B} = 0.$$

Удобно ввести четырёхмерный потенциал  $A^\mu(t, \mathbf{r}) = (\phi, \mathbf{A})$ , через который электрическое и магнитное поля выражаются следующим образом:

$$\mathcal{E} = -\nabla\phi - \frac{1}{c} \frac{\partial \mathbf{A}}{\partial t}, \quad \mathbf{B} = \nabla \times \mathbf{A}.$$

Из-за неоднозначности выбора 4-потенциала, на него можно наложить дополнительное условие Лоренца

$$\frac{\partial A_\mu}{\partial x_\mu} = 0.$$

В отсутствие источников поля можно выбрать скалярный потенциал  $\phi = 0$ , при этом условие Лоренца означает, что

$$\operatorname{div} \mathbf{A}(t, \mathbf{r}) = 0$$

(так называемая *кулоновская калибровка*). Тогда из уравнения

$$\operatorname{rot} \mathbf{B} = \nabla \times (\nabla \times \mathbf{A}) = \nabla(\nabla \mathbf{A}) - \Delta \mathbf{A} = \frac{1}{c} \frac{\partial \mathcal{E}}{\partial t} = -\frac{1}{c^2} \frac{\partial^2 \mathbf{A}}{\partial t^2}$$

следует, что трехмерный векторный потенциал  $\mathbf{A}(t, \mathbf{r})$  удовлетворяет волновому уравнению

$$\frac{1}{c^2} \frac{\partial^2 \mathbf{A}}{\partial t^2} - \Delta \mathbf{A} = 0.$$

В импульсном представлении, учитывающем в явном виде вещественность векторного потенциала,

$$\mathbf{A}(t, \mathbf{r}) = \int \frac{d^3 k}{(2\pi)^3} [\mathbf{A}_{\mathbf{k}}(t) e^{i\mathbf{k}\mathbf{r}} + \mathbf{A}_{\mathbf{k}}^*(t) e^{-i\mathbf{k}\mathbf{r}}], \quad (2.1)$$

амплитуды  $\mathbf{A}_{\mathbf{k}}(t)$  удовлетворяют осцилляторному уравнению

$$\ddot{\mathbf{A}}_{\mathbf{k}} + \omega_{\mathbf{k}}^2 \mathbf{A}_{\mathbf{k}} = 0, \quad \omega_{\mathbf{k}} = c|\mathbf{k}|. \quad (2.2)$$

Итак, в каждой моде, то есть для каждого волнового вектора  $\mathbf{k}$ , имеем гармонический осциллятор, так что

$$\mathbf{A}_{\mathbf{k}}(t) \propto e^{-i\omega_{\mathbf{k}} t}, \quad \mathbf{A}_{\mathbf{k}}^*(t) \propto e^{i\omega_{\mathbf{k}} t}. \quad (2.3)$$

Разложение по плоским волнам (1) позволяет говорить об электромагнитном поле как о бесконечном наборе осцилляторов, частоты которых  $\omega_{\mathbf{k}}$  пробегает непрерывный ряд значений. При квантовании этих осцилляторов возникает квантованное электромагнитное поле. Для придания большей наглядности процедуре квантования, удобно перейти к дискретному набору осцилляторов. Для этого рассмотрим поле в конечном объеме

$$\mathcal{V} = L_x L_y L_z$$

и используем условие периодичности поля на границах объема. При этом компоненты волнового вектора и частота становятся дискретными,

$$k_x = \frac{2\pi n_x}{L_x}, \quad k_y = \frac{2\pi n_y}{L_y}, \quad k_z = \frac{2\pi n_z}{L_z}, \quad \omega_{\mathbf{k}} = 2\pi c \sqrt{\frac{n_x^2}{L_x^2} + \frac{n_y^2}{L_y^2} + \frac{n_z^2}{L_z^2}},$$

где  $n_{x,y,z}$  — целые (положительные и отрицательные) числа, а плоские волны удовлетворяют соотношению ортогональности вида

$$\int e^{i(\mathbf{k}+\mathbf{k}')\mathbf{r}} d^3 r = \mathcal{V} \delta_{\mathbf{k}, -\mathbf{k}'}. \quad (2.4)$$

В итоге вместо разложения в интеграл Фурье (1) возникает разложение в ряд Фурье

$$\mathbf{A}(t, \mathbf{r}) = \sum_{\mathbf{k}} [\mathbf{A}_{\mathbf{k}}(t) e^{i\mathbf{k}\mathbf{r}} + \mathbf{A}_{\mathbf{k}}^*(t) e^{-i\mathbf{k}\mathbf{r}}] , \quad (2.5)$$

где новые амплитуды  $\mathbf{A}_{\mathbf{k}}(t)$  удовлетворяют тем же соотношениям (2)–(3), что и раньше. Разложение, подобное (5), можно написать и для электрического и магнитного поля, причем амплитуды этих полей в силу уравнений

$$\boldsymbol{\mathcal{E}} = -\frac{1}{c} \frac{\partial \mathbf{A}}{\partial t}, \quad \mathbf{B} = \nabla \times \mathbf{A}$$

связаны с амплитудами векторного потенциала соотношениями

$$\boldsymbol{\mathcal{E}}_{\mathbf{k}} = \frac{i\omega_{\mathbf{k}}}{c} \mathbf{A}_{\mathbf{k}}, \quad \mathbf{B}_{\mathbf{k}} = i\mathbf{k} \times \mathbf{A}_{\mathbf{k}}.$$

Из-за условия  $\text{div } \mathbf{A}(t, \mathbf{r}) = 0$  или

$$\mathbf{k} \cdot \mathbf{A}_{\mathbf{k}} = 0, \quad (2.6a)$$

вектор  $\mathbf{A}_{\mathbf{k}}$  лежит в плоскости, ортогональной волновому вектору  $\mathbf{k}$ , т. е. имеет лишь две независимые компоненты. Две степени свободы осциллятора соответствуют поперечности свободных электромагнитных волн в вакууме. Введем два вектора поляризации  $\mathbf{e}_{\mathbf{k}\lambda}$ , где индекс  $\lambda$  пробегает два значения. Например, для циркулярной поляризации при волновом векторе вдоль оси  $z$ , то есть при  $\mathbf{k} = (0, 0, k)$ , вектор поляризации выбирают в виде

$$\mathbf{e}_{\mathbf{k}\lambda} = -\frac{\lambda}{\sqrt{2}} (1, i\lambda, 0) = -\mathbf{e}_{\mathbf{k},-\lambda}^*,$$

где  $\lambda = \pm 1$  соответствует правой (левой) циркулярной поляризации. Векторы поляризации удовлетворяют условиям поперечности:

$$\mathbf{k} \cdot \mathbf{e}_{\mathbf{k}\lambda} = 0, \quad (2.6b)$$

взаимной ортогональности:

$$\mathbf{e}_{\mathbf{k}\lambda}^* \cdot \mathbf{e}_{\mathbf{k}\lambda'} = \delta_{\lambda\lambda'} \quad (2.7)$$

и полноты:

$$\sum_{\lambda} (\mathbf{e}_{\mathbf{k}\lambda})_i (\mathbf{e}_{\mathbf{k}\lambda}^*)_j = \delta_{ij} - \frac{k_i k_j}{\mathbf{k}^2} \quad (2.8)$$

(здесь  $i, j$  означает компоненты вектора поляризации; справа стоит единичный тензор в плоскости, ортогональной вектору  $\mathbf{k}$ ). Разложим вектор  $\mathbf{A}_{\mathbf{k}}(t)$  по векторам поляризации

$$\mathbf{A}_{\mathbf{k}}(t) = C_{\mathbf{k}} \sum_{\lambda} a_{\mathbf{k}\lambda}(t) \mathbf{e}_{\mathbf{k}\lambda}$$

и выберем нормировочный множитель  $C_{\mathbf{k}}$  таким образом, чтобы энергия поля свелась к сумме осцилляторных энергий:

$$E = \int \frac{\boldsymbol{\mathcal{E}}^2 + \mathbf{B}^2}{8\pi} d^3r = \sum_{\mathbf{k}\lambda} \hbar\omega_{\mathbf{k}} a_{\mathbf{k}\lambda}^* a_{\mathbf{k}\lambda}. \quad (2.9)$$

Для этого представим  $\boldsymbol{\mathcal{E}}^2$  в виде двойной суммы

$$\boldsymbol{\mathcal{E}}^2 = \sum_{\mathbf{k}, \mathbf{k}'} [\boldsymbol{\mathcal{E}}_{\mathbf{k}}(t) e^{i\mathbf{k}\mathbf{r}} + \boldsymbol{\mathcal{E}}_{\mathbf{k}}^*(t) e^{-i\mathbf{k}\mathbf{r}}] [\boldsymbol{\mathcal{E}}_{\mathbf{k}'}(t) e^{i\mathbf{k}'\mathbf{r}} + \boldsymbol{\mathcal{E}}_{\mathbf{k}'}^*(t) e^{-i\mathbf{k}'\mathbf{r}}]$$

и проведем интегрирование по  $\mathbf{r}$ , используя (4),

$$\int \boldsymbol{\mathcal{E}}^2 d^3r = \mathcal{V} \sum_{\mathbf{k}} [\boldsymbol{\mathcal{E}}_{\mathbf{k}}(t) \boldsymbol{\mathcal{E}}_{-\mathbf{k}}(t) + \boldsymbol{\mathcal{E}}_{\mathbf{k}}^*(t) \boldsymbol{\mathcal{E}}_{-\mathbf{k}}^*(t) + 2\boldsymbol{\mathcal{E}}_{\mathbf{k}}(t) \boldsymbol{\mathcal{E}}_{\mathbf{k}}^*(t)] .$$

Зависящие от времени слагаемые  $\boldsymbol{\mathcal{E}}_{\mathbf{k}}(t) \boldsymbol{\mathcal{E}}_{-\mathbf{k}}(t) \propto e^{-2i\omega_{\mathbf{k}}t}$  и  $\boldsymbol{\mathcal{E}}_{\mathbf{k}}^*(t) \boldsymbol{\mathcal{E}}_{-\mathbf{k}}^*(t) \propto e^{2i\omega_{\mathbf{k}}t}$  сокращаются, а независящие от времени слагаемые  $2\boldsymbol{\mathcal{E}}_{\mathbf{k}}(t) \boldsymbol{\mathcal{E}}_{\mathbf{k}}^*(t)$  удваиваются при учете вклада магнитного поля  $\int \mathbf{B}^2 d^3r$ . В итоге получаем

$$E = \frac{\mathcal{V}}{2\pi} \sum_{\mathbf{k}} \boldsymbol{\mathcal{E}}_{\mathbf{k}}(t) \boldsymbol{\mathcal{E}}_{\mathbf{k}}^*(t) = \frac{\mathcal{V}}{2\pi} \sum_{\mathbf{k}\lambda} \frac{\omega_{\mathbf{k}}^2}{c^2} |C_{\mathbf{k}}|^2 a_{\mathbf{k}\lambda}^* a_{\mathbf{k}\lambda} .$$

Отсюда видно, что при выборе нормировочного множителя в виде

$$C_{\mathbf{k}} = \sqrt{\frac{2\pi\hbar c^2}{\omega_{\mathbf{k}} \mathcal{V}}} ,$$

т. е. при использовании разложения

$$\mathbf{A}(\mathbf{r}, t) = \sum_{\mathbf{k}\lambda} \sqrt{\frac{2\pi\hbar c^2}{\omega_{\mathbf{k}} \mathcal{V}}} [a_{\mathbf{k}\lambda}(t) \mathbf{e}_{\mathbf{k}\lambda} e^{i\mathbf{k}\mathbf{r}} + a_{\mathbf{k}\lambda}^*(t) \mathbf{e}_{\mathbf{k}\lambda}^* e^{-i\mathbf{k}\mathbf{r}}] , \quad (2.10)$$

энергия поля действительно сводится к сумме осцилляторных энергий (9), а энергия каждой моды колебаний с заданной поляризацией  $\lambda$  равна

$$E_{\mathbf{k}\lambda} = \hbar\omega_{\mathbf{k}} a_{\mathbf{k}\lambda}^* a_{\mathbf{k}\lambda} . \quad (2.11)$$

Совершенно аналогично можно показать, что выражение для полного импульса поля

$$\mathbf{P} = \int \frac{\boldsymbol{\mathcal{E}} \times \mathbf{B}}{4\pi c} d^3r$$

сводится к сумме соответствующих импульсов для каждой моды колебаний

$$\mathbf{P} = \sum_{\mathbf{k}\lambda} \hbar\mathbf{k} a_{\mathbf{k}\lambda}^* a_{\mathbf{k}\lambda} , \quad (2.12)$$

а импульс отдельной моды с заданной поляризацией  $\lambda$  равен

$$\hbar\mathbf{k} a_{\mathbf{k}\lambda}^* a_{\mathbf{k}\lambda} = \frac{\mathbf{k}}{|\mathbf{k}|} \frac{E_{\mathbf{k}\lambda}}{c} .$$

## 2.2. Квантование поля

Напомним, что при квантовании обычного осциллятора зависящие от времени классические величины  $a(t)$  и  $a^*(t)$  становятся операторами уничтожения  $\hat{a}$  и рождения  $\hat{a}^+$  кванта с энергией  $\hbar\omega$ , для которых справедливы перестановочные соотношения

$$[\hat{a}, \hat{a}^+] = 1. \quad (2.13)$$

При этом сами операторы в обычном шрёдингеровском представлении не зависят от времени, а временная зависимость определяется волновыми функциями. Классический гамильтониан  $H$  становится оператором Шрёдингера

$$\hat{H} = \frac{1}{2} \hbar\omega(\hat{a}^+\hat{a} + \hat{a}\hat{a}^+).$$

При использовании перестановочных соотношений (13) оператор  $\hat{H}$  приводится к виду

$$\hat{H} = \hbar\omega(\hat{n} + \frac{1}{2}), \quad \hat{n} = \hat{a}^+\hat{a},$$

где  $\hat{n}$  — оператор числа квантов, собственные значения которого суть целые числа  $n = 0, 1, 2, \dots$

Аналогично, при квантовании электромагнитного поля величины  $a_{\mathbf{k}\lambda}^*(t)$  и  $a_{\mathbf{k}\lambda}(t)$  становятся операторами рождения  $\hat{a}_{\mathbf{k}\lambda}^+$  и уничтожения  $\hat{a}_{\mathbf{k}\lambda}$  кванта, соответствующего фотону с энергией  $\hbar\omega_{\mathbf{k}}$ , импульсом  $\hbar\mathbf{k}$  и поляризацией  $\lambda$ , а векторный потенциал (10) становится не зависящим от времени оператором

$$\hat{\mathbf{A}}(\mathbf{r}) = \sum_{\mathbf{k}\lambda} \sqrt{\frac{2\pi\hbar c^2}{\omega_{\mathbf{k}} \mathcal{V}}} (\hat{a}_{\mathbf{k}\lambda} \mathbf{e}_{\mathbf{k}\lambda} e^{i\mathbf{k}\mathbf{r}} + \hat{a}_{\mathbf{k}\lambda}^+ \mathbf{e}_{\mathbf{k}\lambda}^* e^{-i\mathbf{k}\mathbf{r}}). \quad (2.14)$$

Поля  $\mathcal{E}(t, \mathbf{r})$  и  $\mathbf{B}(t, \mathbf{r})$  также становятся операторами

$$\begin{aligned} \hat{\mathcal{E}}(\mathbf{r}) &= \sum_{\mathbf{k}\lambda} \frac{i\omega_{\mathbf{k}}}{c} \sqrt{\frac{2\pi\hbar c^2}{\omega_{\mathbf{k}} \mathcal{V}}} (\hat{a}_{\mathbf{k}\lambda} \mathbf{e}_{\mathbf{k}\lambda} e^{i\mathbf{k}\mathbf{r}} - \hat{a}_{\mathbf{k}\lambda}^+ \mathbf{e}_{\mathbf{k}\lambda}^* e^{-i\mathbf{k}\mathbf{r}}), \\ \hat{\mathbf{B}}(\mathbf{r}) &= \sum_{\mathbf{k}\lambda} \sqrt{\frac{2\pi\hbar c^2}{\omega_{\mathbf{k}} \mathcal{V}}} i\mathbf{k} \times (\hat{a}_{\mathbf{k}\lambda} \mathbf{e}_{\mathbf{k}\lambda} e^{i\mathbf{k}\mathbf{r}} - \hat{a}_{\mathbf{k}\lambda}^+ \mathbf{e}_{\mathbf{k}\lambda}^* e^{-i\mathbf{k}\mathbf{r}}), \end{aligned} \quad (2.15)$$

а выражения для энергии и импульса электромагнитного поля становятся суммами операторов Шрёдингера и операторов импульса для отдельных фотонов:

$$\hat{H} = \sum_{\mathbf{k}\lambda} \hat{H}_{\mathbf{k}\lambda}, \quad \hat{H}_{\mathbf{k}\lambda} = \frac{1}{2} \hbar\omega_{\mathbf{k}} (\hat{a}_{\mathbf{k}\lambda}^+ \hat{a}_{\mathbf{k}\lambda} + \hat{a}_{\mathbf{k}\lambda} \hat{a}_{\mathbf{k}\lambda}^+), \quad \hat{\mathbf{P}} = \sum_{\mathbf{k}\lambda} \frac{\mathbf{k}}{|\mathbf{k}|} \frac{\hat{H}_{\mathbf{k}\lambda}}{c}. \quad (2.16)$$

При использовании перестановочных соотношений

$$[\hat{a}_{\mathbf{k}\lambda}, \hat{a}_{\mathbf{k}'\lambda'}^+] = \delta_{\lambda\lambda'} \delta_{\mathbf{k}\mathbf{k}'}, \quad [\hat{a}_{\mathbf{k}\lambda}, \hat{a}_{\mathbf{k}'\lambda'}] = 0, \quad [\hat{a}_{\mathbf{k}\lambda}^+, \hat{a}_{\mathbf{k}'\lambda'}^+] = 0 \quad (2.17)$$

оператор  $\hat{H}_{\mathbf{k}\lambda}$  приводится к виду

$$\hat{H}_{\mathbf{k}\lambda} = \hbar\omega_{\mathbf{k}}(\hat{n}_{\mathbf{k}\lambda} + \frac{1}{2}), \quad \hat{n}_{\mathbf{k}\lambda} = \hat{a}_{\mathbf{k}\lambda}^+ \hat{a}_{\mathbf{k}\lambda}, \quad (2.18)$$

где  $\hat{n}_{\mathbf{k}\lambda}$  — оператор числа квантов, собственные значения которого суть целые числа  $n_{\mathbf{k}\lambda} = 0, 1, 2, \dots$ . Можно показать, что правая (левая) циркулярная поляризация фотона соответствует его спиральности<sup>1</sup>, равной  $\pm\hbar$ .

<sup>1</sup>Напомним, что спиральность частицы есть проекция её полного момента импульса на направление импульса частицы.

### 2.3. Рождение и уничтожение квантов поля

Пусть  $|n_{\mathbf{k}\lambda}, t\rangle$  — состояние поля, содержащее  $n_{\mathbf{k}\lambda}$  фотонов с энергией  $\hbar\omega_{\mathbf{k}}$ , импульсом  $\hbar\mathbf{k}$  и поляризацией  $\lambda$  каждый. Так как

$$\begin{aligned}\hat{a}_{\mathbf{k}\lambda}^+ |n_{\mathbf{k}\lambda}, t\rangle &= \sqrt{n_{\mathbf{k}\lambda} + 1} |n_{\mathbf{k}\lambda} + 1, t\rangle e^{i\omega_{\mathbf{k}}t}, \\ \hat{a}_{\mathbf{k}\lambda} |n_{\mathbf{k}\lambda}, t\rangle &= \sqrt{n_{\mathbf{k}\lambda}} |n_{\mathbf{k}\lambda} - 1, t\rangle e^{-i\omega_{\mathbf{k}}t},\end{aligned}$$

то из (14) или (15) видно, что при действии оператора  $\hat{\mathbf{A}}(\mathbf{r})$  или оператора  $\hat{\mathcal{E}}(\mathbf{r})$  на начальное состояние поля может происходить излучение или поглощение одного фотона. Таким образом, матричные элементы оператора  $\hat{\mathbf{A}}(\mathbf{r})$  равны:

при излучении фотона

$$\langle n_{\mathbf{k}\lambda} + 1, t | \hat{\mathbf{A}}(\mathbf{r}) | n_{\mathbf{k}\lambda}, t \rangle = \mathbf{A}_{fi}(\mathbf{r}) e^{i\omega_{\mathbf{k}}t},$$

$$\mathbf{A}_{fi}(\mathbf{r}) = \sqrt{n_{\mathbf{k}\lambda} + 1} \sqrt{\frac{2\pi\hbar c^2}{\omega_{\mathbf{k}} \mathcal{V}}} \mathbf{e}_{\mathbf{k}\lambda}^* e^{-i\mathbf{k}\mathbf{r}}, \quad (2.19)$$

при поглощении фотона

$$\langle n_{\mathbf{k}\lambda} - 1, t | \hat{\mathbf{A}}(\mathbf{r}) | n_{\mathbf{k}\lambda}, t \rangle = \mathbf{A}_{fi}(\mathbf{r}) e^{-i\omega_{\mathbf{k}}t},$$

$$\mathbf{A}_{fi}(\mathbf{r}) = \sqrt{n_{\mathbf{k}\lambda}} \sqrt{\frac{2\pi\hbar c^2}{\omega_{\mathbf{k}} \mathcal{V}}} \mathbf{e}_{\mathbf{k}\lambda} e^{i\mathbf{k}\mathbf{r}}. \quad (2.20)$$

Излучение какой-либо системы зарядов (например, атома) может происходить в условиях, когда начальное состояние электромагнитного поля не содержит фотонов, то есть  $n_{\mathbf{k}\lambda} = 0$  (такое излучение называют *спонтанным*), или в условиях, когда в начальном состоянии поля уже имеется  $n_{\mathbf{k}\lambda}$  фотонов (такое излучение называют *вынужденным*). Вероятность излучения пропорциональна квадрату модуля матричного элемента (19). Обратим внимание на то, что вероятность вынужденного излучения оказывается в  $(n_{\mathbf{k}\lambda} + 1)$  раз больше, чем вероятность спонтанного излучения. Этот факт является фундаментальным для физики лазеров.

До сих пор мы пользовались шрёдингеровским представлением, в котором операторы поля зависят от координат, но не от времени. В релятивистской теории, однако, более удобным является представление Гайзенберга, в котором операторы поля зависят от 4-радиус-вектора  $x = (ct, \mathbf{r})$ , а векторы состояний не зависят от времени. Формулы (19), (20) показывают, что для перехода к гайзенберговскому представлению достаточно в разложении (14) сделать замену

$$\hat{a}_{\mathbf{k}\lambda} \rightarrow \hat{a}_{\mathbf{k}\lambda} e^{-i\omega_{\mathbf{k}}t}, \quad \hat{a}_{\mathbf{k}\lambda}^+ \rightarrow \hat{a}_{\mathbf{k}\lambda}^+ e^{i\omega_{\mathbf{k}}t}. \quad (2.21)$$

Таким образом, гайзенберговское представление для векторного потенциала имеет вид

$$\hat{\mathbf{A}}(x) = \sqrt{4\pi\hbar c^2} \sum_{\mathbf{k}\lambda} \left( \hat{a}_{\mathbf{k}\lambda} \mathbf{e}_{\mathbf{k}\lambda} \frac{e^{-ikx}}{\sqrt{2\omega_{\mathbf{k}} \mathcal{V}}} + \hat{a}_{\mathbf{k}\lambda}^+ \mathbf{e}_{\mathbf{k}\lambda}^* \frac{e^{ikx}}{\sqrt{2\omega_{\mathbf{k}} \mathcal{V}}} \right), \quad kx = \omega_{\mathbf{k}}t - \mathbf{k}\mathbf{r}, \quad (2.22)$$

где коэффициенты  $\hat{a}_{\mathbf{k}\lambda}$  при  $e^{-ikx}$  и  $\hat{a}_{\mathbf{k}\lambda}^+$  при  $e^{ikx}$ , удовлетворяющие перестановочным соотношениям (17), являются операторами уничтожения и рождения квантов поля —

фотонов с энергией  $\hbar\omega_{\mathbf{k}}$ , импульсом  $\hbar\mathbf{k}$  и поляризацией  $\lambda$ . Отметим, что волновая функция

$$\frac{e^{-i\mathbf{k}\cdot\mathbf{x}}}{\sqrt{2\omega_{\mathbf{k}}\mathcal{V}}} \mathbf{e}_{\mathbf{k}\lambda} \sqrt{4\pi\hbar c^2} \quad (2.23)$$

соответствует нормировке на одну частицу во всем объеме  $\mathcal{V}$ . Такую же нормировку мы будем использовать и при квантовании скалярного и спинорного полей.

## §3. Лагранжев подход в теории поля

### 3.1. Уравнения Лагранжа

В классической механике функция Лагранжа  $L(q, \dot{q})$  зависит от обобщённых координат  $q_i$  и обобщённых скоростей  $\dot{q}_i = \partial_0 q_i$ , а действие

$$S = \int_{t_1}^{t_2} L(q, \dot{q}) dt.$$

Из принципа Гамильтона:  $\delta S = 0$  при условии  $\delta q_i(t_1) = \delta q_i(t_2) = 0$  получаются уравнения движения

$$\frac{d}{dt} \frac{\partial L}{\partial \dot{q}_i} - \frac{\partial L}{\partial q_i} = 0, \quad i = 1, 2, \dots, s.$$

В классической теории поля вводится плотность функции Лагранжа

$$L \rightarrow \int \mathcal{L}(q, \partial_\mu q) d^3r,$$

роль обобщённых координат  $q_i$  играют поля:

$A_\mu(x)$  в электродинамике,

$\Phi(x)$  — для действительного скалярного поля,

$\varphi(x)$  и  $\varphi^*(x)$  — для комплексного скалярного поля,

$\Psi_i(x)$  и  $\bar{\Psi}_i(x)$  — для спинорного поля Дирака и т. д.

Здесь<sup>2</sup>  $x = (t, \mathbf{r})$ .

Действие

$$S = \int_{\Omega} \mathcal{L}(q, \partial_\mu q) d^4x,$$

где  $\Omega$  — кусок 4-пространства между двумя пространственно-подобными 4-поверхностями, например, между  $t = t_1$  и  $t = t_2$  (рис. 4). Принцип Гамильтона формулируется в виде:  $\delta S = 0$  при условии, что  $\delta q_i = 0$  на границе  $\Sigma$  области  $\Omega$ .

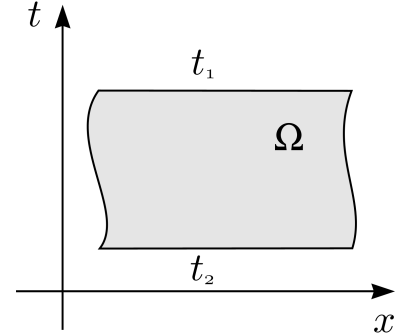


Рис. 4. Область  $\Omega$

Требования к плотности функции Лагранжа:

- локальность, т. е.  $\mathcal{L}$  зависит от  $q$  и конечного числа производных от  $q$ ;
- $\mathcal{L}$  — действительная функция, чтобы энергия и импульс были действительными, а  $S$ -матрица унитарной;

<sup>2</sup>Здесь и ниже (за исключением приложений § А—§ С, § F.1) полагаем  $\hbar = 1$ ,  $c = 1$ .

- $\mathcal{L}$  — Лоренц-инвариантная функция.

Выбор  $\mathcal{L}$  неоднозначен, замена  $\mathcal{L} \rightarrow \mathcal{L}' = \mathcal{L} + \partial_\mu f^\mu(q)$  дает ту же вариацию действия,

$$\delta S' = \delta S + \delta \int_{\Omega} \partial_\mu f^\mu(q) d^4x = \delta S + \delta \int_{\Sigma} f^\mu d\Sigma_\mu = \delta S.$$

При этом мы воспользовались обобщением трёхмерной теоремы Стокса

$$\int_V (\nabla \mathbf{f}) d^3r = \oint_S \mathbf{f} d\mathbf{S}$$

на область в 4-пространстве:

$$\int_{\Omega} \partial_\mu f^\mu d^4x = \oint_{\Sigma} f^\mu d\Sigma_\mu$$

и тем фактом, что на поверхности  $\Sigma$  величины  $q$  не варьируются.

Потребуем  $\delta S = 0$ , это дает

$$\begin{aligned} \delta S &= \int_{\Omega} \left\{ \frac{\partial \mathcal{L}}{\partial q} \delta q + \frac{\partial \mathcal{L}}{\partial(\partial_\mu q)} \delta(\partial_\mu q) \right\} d^4x = \\ &= \int_{\Omega} \left\{ \left[ \frac{\partial \mathcal{L}}{\partial q} - \frac{\partial}{\partial x^\mu} \frac{\partial \mathcal{L}}{\partial(\partial_\mu q)} \right] \delta q + \frac{\partial}{\partial x^\mu} \left[ \frac{\partial \mathcal{L}}{\partial(\partial_\mu q)} \delta q \right] \right\} d^4x = 0 \end{aligned}$$

Последнее слагаемое преобразуем по теореме Стокса, и оно исчезает, т. к.  $\delta q|_{\Sigma} = 0$ . В итоге получаем уравнения движения для полей:

$$\frac{\partial}{\partial x^\mu} \frac{\partial \mathcal{L}}{\partial(\partial_\mu q_i)} - \frac{\partial \mathcal{L}}{\partial q_i} = 0, \quad i = 1, 2, \dots, s.$$

## 3.2. Симметрия и законы сохранения

### 3.2.1. Теорема Нётер

В классической механике известна теорема Нётер: если вид действия не изменяется при преобразованиях

$$q \rightarrow q' = q + \delta q, \quad t \rightarrow t' = t + \delta t,$$

т. е. если<sup>3</sup>

$$\int_{t_1}^{t_2} L \left( q, \frac{dq}{dt} \right) dt = \int_{t'_1}^{t'_2} L \left( q', \frac{dq'}{dt'} \right) dt' \quad (3.1a)$$

с точностью до  $\delta q, \delta t$  включительно, то сохраняется величина

$$E\delta t - p\delta q = \text{const},$$

<sup>3</sup>Подчеркнём, что в левой и правой сторонах равенства (1a) стоит *одна и та же функция*  $L$ , но от разных аргументов.

где

$$p = \frac{\partial L}{\partial \dot{q}}, \quad E = \frac{\partial L}{\partial \dot{q}} \dot{q} - L.$$

Иначе, величина

$$\delta\Theta = \left( \sum_i \frac{\partial L}{\partial \dot{q}_i} \dot{q}_i - L \right) \delta t - \sum_i \frac{\partial L}{\partial \dot{q}_i} \delta q_i \quad (3.2a)$$

удовлетворяет уравнению

$$\frac{d\delta\Theta}{dt} = 0. \quad (3.3a)$$

**Теорема Нётер для классических полей:** пусть при непрерывном преобразовании 4-координат

$$x_\mu \rightarrow x'_\mu = x_\mu + \delta x_\mu$$

и полей

$$q_i \rightarrow q'_i = q_i + \delta q_i$$

вариация

$$\delta S = 0 \quad (3.1b)$$

(сохраняется вид действия), тогда величина

$$\delta\Theta^\mu = \left( \sum_i \frac{\partial \mathcal{L}}{\partial (\partial_\mu q_i)} \partial_\nu q_i - g^\mu_\nu \mathcal{L} \right) \delta x^\nu - \sum_i \frac{\partial \mathcal{L}}{\partial (\partial_\mu q_i)} \delta q_i \quad (3.2b)$$

удовлетворяет уравнению непрерывности

$$\frac{\partial}{\partial x^\mu} \delta\Theta^\mu = 0, \quad (3.3b)$$

из которого следует закон сохранения:

$$\int \delta\Theta_0 d^3r = \text{const}. \quad (3.3c)$$

Рассмотрим два важных примера.

### 3.2.2. Однородность пространства-времени и сохранение импульса-энергии

Пусть вид действия не изменяется при сдвиге 4-координат

$$x_\mu \rightarrow x'_\mu = x_\mu + \varepsilon_\mu,$$

т. е.  $\delta S = 0$  при  $\delta x_\mu = \varepsilon_\mu$  и  $\delta q = 0$ . В этом случае из теоремы Нётер следует, что 4-вектор

$$\delta\Theta^\mu = T^{\mu\nu} \varepsilon_\nu,$$

где

$$T^{\mu\nu} = \sum_i \frac{\partial \mathcal{L}}{\partial (\partial_\mu q_i)} \partial^\nu q_i - g^{\mu\nu} \mathcal{L}$$

— плотность тензора энергии-импульса, удовлетворяет уравнению (3b) или

$$\frac{\partial T^{\mu\nu}}{\partial x^\mu} = 0.$$

Поэтому сохраняется 4-импульс поля:

$$\int T^{\mu 0} d^3r = P^\mu = \text{const}^\mu$$

Проверим этот факт следующим вычислением, вполне аналогичным такой же выкладке в классической механике. Для этого найдем производную

$$\frac{\partial \mathcal{L}}{\partial x^\mu} = \frac{\partial \mathcal{L}}{\partial q} \frac{\partial q}{\partial x^\mu} + \frac{\partial \mathcal{L}}{\partial(\partial_\nu q)} \frac{\partial(\partial_\nu q)}{\partial x^\mu}$$

и перепишем первое слагаемое в правой части, используя уравнения движения

$$\frac{\partial \mathcal{L}}{\partial q} = \frac{\partial}{\partial x^\nu} \frac{\partial \mathcal{L}}{\partial(\partial_\nu q)},$$

а во втором слагаемом произведём перестановку порядка дифференцирования  $\mu \leftrightarrow \nu$ :

$$\frac{\partial(\partial_\nu q)}{\partial x^\mu} = \frac{\partial^2 q}{\partial x^\mu \partial x^\nu} = \frac{\partial^2 q}{\partial x^\nu \partial x^\mu} = \frac{\partial(\partial_\mu q)}{\partial x^\nu}.$$

В итоге получим

$$\frac{\partial \mathcal{L}}{\partial x^\mu} = \left[ \frac{\partial}{\partial x^\nu} \frac{\partial \mathcal{L}}{\partial(\partial_\nu q)} \right] \frac{\partial q}{\partial x^\mu} + \frac{\partial \mathcal{L}}{\partial(\partial_\nu q)} \frac{\partial(\partial_\mu q)}{\partial x^\nu} = \frac{\partial}{\partial x^\nu} \left[ \frac{\partial \mathcal{L}}{\partial(\partial_\nu q)} \frac{\partial q}{\partial x^\mu} \right].$$

Затем перепишем левую часть в виде

$$\frac{\partial \mathcal{L}}{\partial x^\mu} = g_\mu^\nu \frac{\partial \mathcal{L}}{\partial x^\nu}$$

и перенесем направо, тогда

$$\frac{\partial}{\partial x^\nu} \left\{ \frac{\partial \mathcal{L}}{\partial(\partial_\nu q)} \frac{\partial q}{\partial x^\mu} - g_\mu^\nu \mathcal{L} \right\} = 0,$$

ч. т. д.

Аналогично можно показать, что из изотропии пространства следует сохранение момента импульса поля.

### 3.2.3. Калибровочное преобразование первого рода и сохранение заряда

Пусть  $\mathcal{L}$  зависит от комплексного скалярного поля  $q_1 = \varphi(x)$  и  $q_2 = \varphi^*(x)$ , а также от  $\partial_\mu \varphi$  и  $\partial_\mu \varphi^*$  так, что  $\mathcal{L}(q, \partial_\mu q)$  не изменяется при замене полей

$$\varphi(x) \rightarrow e^{i\alpha} \varphi(x), \quad \varphi^*(x) \rightarrow e^{-i\alpha} \varphi^*(x),$$

где  $\alpha$  — вещественное число. Конечно, при этом не изменяется и вид действия.

В этом случае  $\delta S = 0$  при

$$\delta x_\mu = 0, \quad \delta \varphi(x) = i\varepsilon \varphi(x), \quad \delta \varphi^*(x) = -i\varepsilon \varphi^*(x),$$

где  $\varepsilon = \delta\alpha \rightarrow 0$ . При этом

$$\delta \Theta^\mu = \left[ -\frac{\partial \mathcal{L}}{\partial(\partial_\mu \varphi)} \varphi + \frac{\partial \mathcal{L}}{\partial(\partial_\mu \varphi^*)} \varphi^* \right] i\varepsilon$$

и теорема Нётер гарантирует, что

$$\frac{\partial}{\partial x^\mu} \delta\Theta^\mu = 0.$$

Покажем это, учитывая, что  $\delta\mathcal{L} = 0$  при указанных вариациях, т. е.

$$\begin{aligned} 0 &= \delta\mathcal{L} = \sum_i \left[ \frac{\partial\mathcal{L}}{\partial q_i} \delta q_i + \frac{\partial\mathcal{L}}{\partial(\partial_\mu q_i)} \delta(\partial_\mu q_i) \right] = \\ &= \sum_i \left[ \frac{\partial\mathcal{L}}{\partial q_i} - \frac{\partial}{\partial x^\mu} \frac{\partial\mathcal{L}}{\partial(\partial_\mu q_i)} \right] \delta q_i + \frac{\partial}{\partial x^\mu} \left[ \sum_i \frac{\partial\mathcal{L}}{\partial(\partial_\mu q_i)} \delta q_i \right]. \end{aligned}$$

Первая квадратная скобка [...] = 0 в силу уравнений движения, а второе слагаемое даёт необходимый результат.

Итак, если ввести 4-вектор

$$j^\mu = -i \left( \frac{\partial\mathcal{L}}{\partial(\partial_\mu\varphi)} \varphi - \frac{\partial\mathcal{L}}{\partial(\partial_\mu\varphi^*)} \varphi^* \right),$$

то

$$\frac{\partial j^\mu}{\partial x^\mu} = 0$$

и

$$\int j_0 d^3r = Q = \text{const.}$$

Величина  $Q$  — это заряд (не обязательно электрический, например, барионный).

## §4. Действительное скалярное поле $\Phi(x) = \Phi^*(x)$

Плотность функции Лагранжа действительного скалярного поля выбираем так

$$\mathcal{L}(\Phi, \partial_\mu\Phi) = \frac{1}{2} (\partial_\mu\Phi\partial^\mu\Phi - m^2\Phi^2),$$

чтобы уравнение Лагранжа

$$\frac{\partial}{\partial x^\mu} \frac{\partial\mathcal{L}}{\partial(\partial_\mu\Phi)} - \frac{\partial\mathcal{L}}{\partial\Phi} = \partial_\mu\partial^\mu\Phi + m^2\Phi = 0$$

совпадало с уравнением Клейна-Фока-Гордона<sup>4</sup>

$$(\hat{p}_\mu\hat{p}^\mu - m^2)\Phi = 0$$

(напомним, что  $\hat{p}_\mu = i\partial_\mu$ ).

Проведём разложение в ряд Фурье аналогично тому, как это было сделано для электромагнитного поля,

$$\Phi(x) = \sum_{\mathbf{p}} N_{\mathbf{p}} [a_{\mathbf{p}}(t)e^{i\mathbf{p}\mathbf{r}} + a_{\mathbf{p}}^*(t)e^{-i\mathbf{p}\mathbf{r}}].$$

<sup>4</sup>Свойства этого уравнения обсуждаются в § В.

Из уравнений движения

$$\ddot{a}_{\mathbf{p}}(t) + (\mathbf{p}^2 + m^2) a_{\mathbf{p}}(t) = 0$$

получим соотношение  $E^2(\mathbf{p}) = \mathbf{p}^2 + m^2$  и зависимость амплитуд  $a_{\mathbf{p}}(t)$  от времени

$$a_{\mathbf{p}}(t) \propto e^{-i\varepsilon_{\mathbf{p}}t}, \quad a_{\mathbf{p}}^*(t) \propto e^{i\varepsilon_{\mathbf{p}}t}, \quad \varepsilon_{\mathbf{p}} = +\sqrt{\mathbf{p}^2 + m^2}.$$

Нормировочный коэффициент  $N_{\mathbf{p}}$  выбираем из условия нормировки на одну частицу в объёме  $\mathcal{V}$  (см. (B.2b)):

$$N_{\mathbf{p}} = \frac{1}{\sqrt{2\varepsilon_{\mathbf{p}}\mathcal{V}}}.$$

Покажем, что при таком выборе

$$E = \sum_{\mathbf{p}} \varepsilon_{\mathbf{p}} a_{\mathbf{p}}^* a_{\mathbf{p}}.$$

Для этого найдём плотность энергии

$$T^{00} = \frac{1}{2} \left[ \dot{\Phi}^2 + (\nabla\Phi)^2 + m^2\Phi^2 \right].$$

Эта величина оказывается положительно определённой:  $T^{00} \geq 0$ . Энергию поля представим в виде

$$\begin{aligned} E = \int T^{00} d^3r &= \frac{1}{2} \int d^3r \sum_{\mathbf{p}, \mathbf{p}'} N_{\mathbf{p}} N_{\mathbf{p}'} \left\{ (a_{\mathbf{p}} e^{i\mathbf{p}\mathbf{r}} - a_{\mathbf{p}}^* e^{-i\mathbf{p}\mathbf{r}}) (a_{\mathbf{p}'} e^{i\mathbf{p}'\mathbf{r}} - a_{\mathbf{p}'}^* e^{-i\mathbf{p}'\mathbf{r}}) \times \right. \\ &\quad \left. (-\varepsilon_{\mathbf{p}}\varepsilon_{\mathbf{p}'} - \mathbf{p}\mathbf{p}') + m^2 (a_{\mathbf{p}} e^{i\mathbf{p}\mathbf{r}} + a_{\mathbf{p}}^* e^{-i\mathbf{p}\mathbf{r}}) (a_{\mathbf{p}'} e^{i\mathbf{p}'\mathbf{r}} + a_{\mathbf{p}'}^* e^{-i\mathbf{p}'\mathbf{r}}) \right\}. \end{aligned}$$

Учитывая, что  $\int e^{i\mathbf{p}\mathbf{r}} e^{-i\mathbf{p}'\mathbf{r}} d^3r = \mathcal{V} \delta_{\mathbf{p}\mathbf{p}'}$ , получим

$$E = \sum_{\mathbf{p}} N_{\mathbf{p}}^2 2\varepsilon_{\mathbf{p}}^2 \mathcal{V} a_{\mathbf{p}}^* a_{\mathbf{p}} = \sum_{\mathbf{p}} \varepsilon_{\mathbf{p}} a_{\mathbf{p}}^* a_{\mathbf{p}}.$$

Аналогичные выкладки справедливы и для

$$\mathbf{P} = \sum_{\mathbf{p}} \mathbf{p} a_{\mathbf{p}}^* a_{\mathbf{p}}.$$

Процедура квантования сведётся к заменам

$$a_{\mathbf{p}}(t) \rightarrow \hat{a}_{\mathbf{p}}, \quad a_{\mathbf{p}}^*(t) \rightarrow \hat{a}_{\mathbf{p}}^+,$$

при этом

$$E \rightarrow \hat{H} = \sum_{\mathbf{p}} \frac{1}{2} \varepsilon_{\mathbf{p}} (\hat{a}_{\mathbf{p}}^+ \hat{a}_{\mathbf{p}} + \hat{a}_{\mathbf{p}} \hat{a}_{\mathbf{p}}^+).$$

Правила квантования для осцилляторов поля, соответствующие статистике Бозе-Эйнштейна

$$[\hat{a}_{\mathbf{p}}, \hat{a}_{\mathbf{p}'}^+] = \delta_{\mathbf{p}\mathbf{p}'}, \quad [\hat{a}_{\mathbf{p}}, \hat{a}_{\mathbf{p}'}] = [\hat{a}_{\mathbf{p}}^+, \hat{a}_{\mathbf{p}'}^+] = 0$$

приводят к разумному результату:

$$\hat{H} = \sum_{\mathbf{p}} \varepsilon_{\mathbf{p}} \left( \hat{n}_{\mathbf{p}} + \frac{1}{2} \right),$$

где оператор числа квантов

$$\hat{n}_{\mathbf{p}} = \hat{a}_{\mathbf{p}}^+ \hat{a}_{\mathbf{p}}$$

имеет собственные значения  $0, 1, 2, 3, \dots$ . Отсчитывая энергию от бесконечной суммы  $\frac{1}{2} \sum_{\mathbf{p}} \varepsilon_{\mathbf{p}}$ , получим

$$\hat{H} = \sum_{\mathbf{p}} \varepsilon_{\mathbf{p}} \hat{n}_{\mathbf{p}},$$

Аналогично,

$$\hat{\mathbf{P}} = \sum_{\mathbf{p}} \mathbf{p} \hat{n}_{\mathbf{p}}.$$

Отсюда видно, что  $\hat{n}_{\mathbf{p}}$  имеет смысл оператора числа квантов с энергией  $\varepsilon_{\mathbf{p}}$  и импульсом  $\mathbf{p}$ .

Если бы мы выбрали правила квантования, соответствующие статистике Ферми, т. е.  $\{\hat{a}_{\mathbf{p}}, \hat{a}_{\mathbf{p}'}^+\} = \delta_{\mathbf{p}\mathbf{p}'}$ , то оператор  $\hat{H}$  вообще не зависил бы от  $\hat{n}_{\mathbf{p}}$ .

В гайзенберговском представлении

$$\hat{\Phi}(x) = \sum_{\mathbf{p}} \left( \hat{a}_{\mathbf{p}} \frac{e^{-ipx}}{\sqrt{2\varepsilon_{\mathbf{p}}\mathcal{V}}} + \hat{a}_{\mathbf{p}}^+ \frac{e^{ipx}}{\sqrt{2\varepsilon_{\mathbf{p}}\mathcal{V}}} \right),$$

$$px = \varepsilon_{\mathbf{p}}t - \mathbf{p}\mathbf{r}, \quad \varepsilon_{\mathbf{p}} = +\sqrt{\mathbf{p}^2 + m^2},$$

причем, волновая функция

$$\frac{e^{-ipx}}{\sqrt{2\varepsilon_{\mathbf{p}}\mathcal{V}}}$$

соответствует одной частице во всём объёме  $\mathcal{V}$ .

## §5. Комплексное скалярное поле $\varphi(x) \neq \varphi^*(x)$

Как и выше, плотность функции Лагранжа комплексного скалярного поля выбираем так

$$\mathcal{L}(\varphi, \varphi^*, \partial_{\mu}\varphi, \partial_{\mu}\varphi^*) = \partial_{\mu}\varphi^* \partial^{\mu}\varphi - m^2\varphi^*\varphi,$$

чтобы уравнения Лагранжа

$$\frac{\partial}{\partial x^{\mu}} \frac{\partial \mathcal{L}}{\partial(\partial_{\mu}\varphi^*)} - \frac{\partial \mathcal{L}}{\partial \varphi^*} = \partial_{\mu}\partial^{\mu}\varphi + m^2\varphi = 0,$$

$$\frac{\partial}{\partial x^{\mu}} \frac{\partial \mathcal{L}}{\partial(\partial_{\mu}\varphi)} - \frac{\partial \mathcal{L}}{\partial \varphi} = \partial_{\mu}\partial^{\mu}\varphi^* + m^2\varphi^* = 0$$

совпадали с уравнением Клейна-Фока-Гордона для функций  $\varphi(x)$  и  $\varphi^*(x)$ .

Далее находим

$$T^{\mu\nu} = \partial^{\mu}\varphi^* \partial^{\nu}\varphi + \partial^{\nu}\varphi^* \partial^{\mu}\varphi - g^{\mu\nu}\mathcal{L},$$

плотность энергии поля

$$T^{00} = \dot{\varphi}^* \dot{\varphi} + (\nabla \varphi^*) (\nabla \varphi) + m^2 \varphi^* \varphi \geq 0,$$

энергию поля  $E = \int T^{00} d^3r$ , импульс поля  $P^n = \int T^{n0} d^3r$ , ток

$$j_\mu = i [\varphi^* \partial_\mu \varphi - (\partial_\mu \varphi^*) \varphi], \quad j_0 = i (\varphi^* \dot{\varphi} - \dot{\varphi}^* \varphi),$$

и заряд поля

$$Q = \int j_0 d^3r.$$

Проведем разложение по плоским волнам без условия действительности функции  $\varphi(x)$ , т. е.

$$\varphi(x) = \sum_{\mathbf{p}} N_{\mathbf{p}} (a_{\mathbf{p}}(t) e^{i\mathbf{p}\mathbf{r}} + \tilde{a}_{\mathbf{p}}(t) e^{-i\mathbf{p}\mathbf{r}}), \quad N_{\mathbf{p}} = \frac{1}{\sqrt{2\varepsilon_{\mathbf{p}}\mathcal{V}}},$$

причём  $\tilde{a}_{\mathbf{p}}(t) \neq a_{\mathbf{p}}^*(t)$ , но как и выше

$$a_{\mathbf{p}}(t) \propto e^{-i\varepsilon_{\mathbf{p}}t}, \quad \tilde{a}_{\mathbf{p}}(t) \propto e^{+i\varepsilon_{\mathbf{p}}t}.$$

При квантовании  $a_{\mathbf{p}}(t)$  переходит в  $\hat{a}_{\mathbf{p}}$  — оператор уничтожения частицы, но  $\tilde{a}_{\mathbf{p}}(t)$  переходит в оператор рождения другой частицы, поэтому мы обозначим его через  $\hat{b}_{\mathbf{p}}^+$ , таким образом

$$\begin{aligned} a_{\mathbf{p}}(t) &\rightarrow \hat{a}_{\mathbf{p}}, & \tilde{a}_{\mathbf{p}}(t) &\rightarrow \hat{b}_{\mathbf{p}}^+, \\ a_{\mathbf{p}}^*(t) &\rightarrow \hat{a}_{\mathbf{p}}^+, & \tilde{a}_{\mathbf{p}}^*(t) &\rightarrow \hat{b}_{\mathbf{p}}. \end{aligned}$$

В итоге операторы поля в гайзенберговском представлении имеют вид:

$$\hat{\varphi}(x) = \sum_{\mathbf{p}} \left( \hat{a}_{\mathbf{p}} \frac{e^{-ipx}}{\sqrt{2\varepsilon_{\mathbf{p}}\mathcal{V}}} + \hat{b}_{\mathbf{p}}^+ \frac{e^{ipx}}{\sqrt{2\varepsilon_{\mathbf{p}}\mathcal{V}}} \right), \quad (5.1a)$$

$$\hat{\varphi}^+(x) = \sum_{\mathbf{p}} \left( \hat{a}_{\mathbf{p}}^+ \frac{e^{ipx}}{\sqrt{2\varepsilon_{\mathbf{p}}\mathcal{V}}} + \hat{b}_{\mathbf{p}} \frac{e^{-ipx}}{\sqrt{2\varepsilon_{\mathbf{p}}\mathcal{V}}} \right), \quad (5.1b)$$

а операторы энергии, импульса и оператор заряда таковы:

$$\hat{H} = \sum_{\mathbf{p}} \varepsilon_{\mathbf{p}} \left( \hat{a}_{\mathbf{p}}^+ \hat{a}_{\mathbf{p}} + \hat{b}_{\mathbf{p}} \hat{b}_{\mathbf{p}}^+ \right), \quad \hat{\mathbf{P}} = \sum_{\mathbf{p}} \mathbf{p} \left( \hat{a}_{\mathbf{p}}^+ \hat{a}_{\mathbf{p}} + \hat{b}_{\mathbf{p}} \hat{b}_{\mathbf{p}}^+ \right), \quad \hat{Q} = \sum_{\mathbf{p}} \left( \hat{a}_{\mathbf{p}}^+ \hat{a}_{\mathbf{p}} - \hat{b}_{\mathbf{p}} \hat{b}_{\mathbf{p}}^+ \right).$$

Как и в предыдущем разделе, используем правила квантования, соответствующие статистике Бозе-Эйнштейна:

$$[\hat{a}_{\mathbf{p}}, \hat{a}_{\mathbf{p}}^+] = \delta_{\mathbf{p}\mathbf{p}'}, \quad [\hat{b}_{\mathbf{p}}, \hat{b}_{\mathbf{p}}^+] = \delta_{\mathbf{p}\mathbf{p}'},$$

а все остальные пары операторов коммутируют

$$\begin{aligned} [\hat{a}_{\mathbf{p}}, \hat{b}_{\mathbf{p}'}] &= [\hat{a}_{\mathbf{p}}^+, \hat{b}_{\mathbf{p}'}] = [\hat{a}_{\mathbf{p}}, \hat{b}_{\mathbf{p}'}^+] = [\hat{a}_{\mathbf{p}}^+, \hat{b}_{\mathbf{p}'}^+] = 0, \\ [\hat{a}_{\mathbf{p}}, \hat{a}_{\mathbf{p}'}] &= [\hat{b}_{\mathbf{p}}, \hat{b}_{\mathbf{p}'}] = [\hat{a}_{\mathbf{p}}^+, \hat{a}_{\mathbf{p}'}^+] = [\hat{b}_{\mathbf{p}}^+, \hat{b}_{\mathbf{p}'}^+] = 0. \end{aligned}$$

В этом случае получим (отбрасывая бесконечные константы)

$$\hat{H} = \sum_{\mathbf{p}} \varepsilon_{\mathbf{p}} (\hat{n}_{\mathbf{p}} + \hat{\bar{n}}_{\mathbf{p}}), \quad \hat{\mathbf{P}} = \sum_{\mathbf{p}} \mathbf{p} (\hat{n}_{\mathbf{p}} + \hat{\bar{n}}_{\mathbf{p}}), \quad Q = \sum_{\mathbf{p}} (\hat{n}_{\mathbf{p}} - \hat{\bar{n}}_{\mathbf{p}}),$$

где

$$\hat{n}_{\mathbf{p}} = \hat{a}_{\mathbf{p}}^+ \hat{a}_{\mathbf{p}}$$

— операторы числа частиц сорта  $a$ , а

$$\hat{\bar{n}}_{\mathbf{p}} = \hat{b}_{\mathbf{p}}^+ \hat{b}_{\mathbf{p}}$$

— операторы числа частиц сорта  $b$ . Отсюда видно, что частицы сорта  $a$  ( $b$ ) имеют энергию  $\varepsilon_{\mathbf{p}}$  ( $\varepsilon_{\mathbf{p}}$ ), импульс  $\mathbf{p}$  ( $\mathbf{p}$ ), заряд  $+1$  ( $-1$ ). Частицы сорта  $b$  называются *античастицами*. В разложении (1) волновая функция

$$\frac{e^{-ipx}}{\sqrt{2\varepsilon_{\mathbf{p}}\mathcal{V}}}$$

соответствует одной частице во всем объёме  $\mathcal{V}$ .

## §6. $C$ , $P$ , $T$ -преобразования комплексного скалярного поля

**$C$ -преобразование** — зарядовое ( $C$  — charge) преобразование определяется соотношениями

$$\hat{a}_{\mathbf{p}} \rightarrow \hat{b}_{\mathbf{p}}, \quad \hat{b}_{\mathbf{p}} \rightarrow \hat{a}_{\mathbf{p}}, \quad \hat{a}_{\mathbf{p}}^+ \rightarrow \hat{b}_{\mathbf{p}}^+, \quad \hat{b}_{\mathbf{p}}^+ \rightarrow \hat{a}_{\mathbf{p}}^+,$$

т. е. частицы заменяются на античастицы и наоборот. При этом

$$\hat{\varphi}(x) \rightarrow \hat{\varphi}^C(x) = \hat{\varphi}^+(x). \quad (6.1)$$

**$P$ -преобразование** — пространственная инверсия ( $P$  — parity) — отражение трёх осей  $\mathbf{r} \rightarrow -\mathbf{r}$ , при этом

$$\varphi(t, \mathbf{r}) \rightarrow \varphi^P(t, \mathbf{r}) = \eta_P \varphi(t, -\mathbf{r}),$$

где  $\eta_P$  — фазовый множитель. Двойное применение операции  $P$  даёт  $\eta_P^2 \varphi(t, \mathbf{r}) = \varphi(t, \mathbf{r})$ , т. е.  $\eta_P = \pm 1$ . Если  $\eta_P = +1$  поле называется *скалярным*, если  $\eta_P = -1$  поле называется *псевдоскалярным*.

Преобразование операторов поля:

$$\hat{\varphi}(t, \mathbf{r}) \rightarrow \hat{\varphi}^P(t, \mathbf{r}) = \eta_P \sum_{\mathbf{p}} \frac{1}{\sqrt{2\varepsilon_{\mathbf{p}}\mathcal{V}}} \left( \hat{a}_{\mathbf{p}} e^{-i(\varepsilon_{\mathbf{p}}t + \mathbf{p}\mathbf{r})} + \hat{b}_{\mathbf{p}}^+ e^{i(\varepsilon_{\mathbf{p}}t + \mathbf{p}\mathbf{r})} \right)$$

Изменим знак индекса суммирования  $\mathbf{p}$ , тогда

$$\hat{\varphi}^P(t, \mathbf{r}) = \eta_P \sum_{\mathbf{p}} \frac{1}{\sqrt{2\varepsilon_{\mathbf{p}}\mathcal{V}}} \left( \hat{a}_{-\mathbf{p}} e^{-ipx} + \hat{b}_{-\mathbf{p}}^+ e^{ipx} \right), \quad px = \varepsilon_{\mathbf{p}}t - \mathbf{p}\mathbf{r},$$

т. е.

$$\hat{a}_{\mathbf{p}} \rightarrow \eta_P \hat{a}_{-\mathbf{p}}, \quad \hat{b}_{\mathbf{p}}^+ \rightarrow \eta_P \hat{b}_{-\mathbf{p}}^+,$$

аналогично

$$\hat{a}_{\mathbf{p}}^+ \rightarrow \eta_P \hat{a}_{-\mathbf{p}}^+, \quad \hat{b}_{\mathbf{p}} \rightarrow \eta_P \hat{b}_{-\mathbf{p}}.$$

Отсюда — операторы рождения (уничтожения) частиц и античастиц преобразуются одинаково, т. е. **внутренние чётности частиц и античастиц скалярного поля одинаковы.**

**Преобразования Лоренца:**  $x \rightarrow x' = \hat{\Lambda}x$ , или  $x'_\mu = \Lambda_\mu^\nu x_\nu$ , матрица  $\Lambda_\mu^\nu$  зависит непрерывным образом от параметров группы Лоренца — углов поворота в шести плоскостях  $xy, yz, zx, tx, ty, tz$ . Определитель этой матрицы  $\det(\Lambda_\mu^\nu) = +1$ . Скалярная (и псевдоскалярная) функция не изменится при таком преобразовании:

$$\varphi(x) \rightarrow \varphi^\Lambda(x) = \varphi(\hat{\Lambda}^{-1}x).$$

Отражение всех четырёх осей  $x \rightarrow x' = -x$  имеет  $\det(\Lambda_\mu^\nu) = +1$  и формально-математически может быть отнесено к непрерывным преобразованиям, поэтому для него

$$\varphi(t, \mathbf{r}) = +\varphi(-t, -\mathbf{r}).$$

Для операторов поля отсюда получим

$$\hat{a}_{\mathbf{p}} \rightarrow \hat{b}_{\mathbf{p}}^+, \quad \hat{b}_{\mathbf{p}} \rightarrow \hat{a}_{\mathbf{p}}^+,$$

т. е. это преобразование включает также и замену частиц античастицами.

**$T$  (time)-преобразование** — отражение времени  $t \rightarrow -t$ . В квантовой механике уравнение Шрёдингера  $i\frac{\partial\Psi}{\partial t} = \hat{H}\Psi$  не изменяет своего вида, если одновременно с изменением знака  $t$  сделать комплексное сопряжение, т. е.  $t \rightarrow -t$  и  $\Psi \rightarrow \Psi^*$ . Поэтому

$$\begin{aligned} \hat{\varphi}(t, \mathbf{r}) &\rightarrow \hat{\varphi}^T(t, \mathbf{r}) = \eta_T \hat{\varphi}^+(-t, \mathbf{r}), \\ \hat{a}_{\mathbf{p}} &\rightarrow \eta_T \hat{a}_{-\mathbf{p}}^+, \quad \hat{b}_{\mathbf{p}}^+ \rightarrow \eta_T \hat{b}_{-\mathbf{p}}. \end{aligned}$$

Если далее сделать  $C$  и  $P$  преобразования, то

$$\hat{\varphi}(t, \mathbf{r}) \rightarrow \hat{\varphi}^{PCT}(t, \mathbf{r}) = \eta_P \eta_T \hat{\varphi}(-t, -\mathbf{r}),$$

т. е. фактически это будет преобразование  $x \rightarrow -x$  с определителем  $+1$ , поэтому  $\hat{\varphi}^{PCT}(t, \mathbf{r}) = \hat{\varphi}(t, \mathbf{r})$ , т. е.  $\eta_P \eta_T = +1$ ,  $\eta_T = \eta_P = \pm 1$ .

## §7. $C, P, T$ -преобразования для электромагнитного поля

Для полноты приведём очевидные формулы  $C, P$  и  $T$ -преобразования для электромагнитного поля:

$$\begin{aligned} A_\mu^C(x) &= -A_\mu(x), \\ A_0^P(t, \mathbf{r}) &= A_0(t, -\mathbf{r}), \quad \mathbf{A}^P(t, \mathbf{r}) = -\mathbf{A}(t, -\mathbf{r}), \\ A_0^T(t, \mathbf{r}) &= A_0(-t, \mathbf{r}), \quad \mathbf{A}^T(t, \mathbf{r}) = -\mathbf{A}(-t, \mathbf{r}). \end{aligned}$$

Отсюда, в частности следует, что конечные состояния в  $\gamma\gamma$ -соударениях имеют положительную  $C$ -чётность. Напротив, если конечные состояния в  $e^+e^-$  аннигиляции образуются через однофотонное виртуальное состояние, то они имеют отрицательную  $C$ -чётность.

## §8. Спинорное поле Дирака

Легко проверить, что при выборе плотности функции Лагранжа в виде

$$\mathcal{L}(\Psi(x), \bar{\Psi}(x), \partial_\mu \Psi(x), \partial_\mu \bar{\Psi}(x)) = \frac{1}{2} [\bar{\Psi} \gamma_\mu i \partial^\mu \Psi - (i \partial^\mu \bar{\Psi}) \gamma_\mu \Psi] - m \bar{\Psi} \Psi,$$

уравнение Лагранжа совпадает с уравнением Дирака, свойства которого подробно обсуждаются в § С—§ F. В частности, в § E было показано, что волновые функции

$$\frac{e^{-ipx}}{\sqrt{2\varepsilon_{\mathbf{p}}\mathcal{V}}} u_{\mathbf{p}\sigma} \quad \text{и} \quad \frac{e^{ipx}}{\sqrt{2\varepsilon_{\mathbf{p}}\mathcal{V}}} v_{\mathbf{p}\sigma}$$

образуют полный набор, нормировка этих волновых функций соответствует одной частицы в объёме  $\mathcal{V}$ . Разлагая по этим функциям операторы спинорного поля так же, как это было сделано для комплексного скалярного поля, получим

$$\begin{aligned} \hat{\Psi}(x) &= \sum_{\mathbf{p}\sigma} \left( \hat{a}_{\mathbf{p}\sigma} \frac{e^{-ipx}}{\sqrt{2\varepsilon_{\mathbf{p}}\mathcal{V}}} u_{\mathbf{p}\sigma} + \hat{b}_{\mathbf{p}\sigma}^+ \frac{e^{ipx}}{\sqrt{2\varepsilon_{\mathbf{p}}\mathcal{V}}} v_{\mathbf{p}\sigma} \right), \\ \hat{\bar{\Psi}}(x) &= \sum_{\mathbf{p}\sigma} \left( \hat{a}_{\mathbf{p}\sigma}^+ \frac{e^{ipx}}{\sqrt{2\varepsilon_{\mathbf{p}}\mathcal{V}}} \bar{u}_{\mathbf{p}\sigma} + \hat{b}_{\mathbf{p}\sigma} \frac{e^{-ipx}}{\sqrt{2\varepsilon_{\mathbf{p}}\mathcal{V}}} \bar{v}_{\mathbf{p}\sigma} \right). \end{aligned}$$

Здесь  $\hat{a}_{\mathbf{p}\sigma}^+$  ( $\hat{a}_{\mathbf{p}\sigma}$ ) — оператор рождения (уничтожения) свободной частицы с импульсом  $\mathbf{p}$ , энергией  $\varepsilon_{\mathbf{p}} = +\sqrt{\mathbf{p}^2 + m^2}$  и поляризацией  $\sigma$ , а  $\hat{b}_{\mathbf{p}\sigma}^+$  ( $\hat{b}_{\mathbf{p}\sigma}$ ) — оператор рождения (уничтожения) свободной античастицы с импульсом  $\mathbf{p}$ , энергией  $\varepsilon_{\mathbf{p}} = +\sqrt{\mathbf{p}^2 + m^2}$  и поляризацией  $\sigma$ .

Энергию поля удобно рассчитать, стартуя от гамильтоновой формы уравнения Дирака (см. § С.5):

$$E = \int \Psi^\dagger i \frac{\partial \Psi(x)}{\partial t} d^3r = \int \bar{\Psi} \gamma^0 i \frac{\partial \Psi(x)}{\partial t} d^3r.$$

Далее обычным образом получим

$$E \rightarrow \hat{H} = \sum_{\mathbf{p}\sigma} \varepsilon_{\mathbf{p}} \left( \hat{a}_{\mathbf{p}\sigma}^+ \hat{a}_{\mathbf{p}\sigma} - \hat{b}_{\mathbf{p}\sigma} \hat{b}_{\mathbf{p}\sigma}^+ \right).$$

При выводе последнего равенства использовались нормировка и ортогональность биспиноров (см. (E.3), (E.8), (E.11)) и соотношения (E.12), что даёт:

$$\begin{aligned} \bar{u}_{\mathbf{p}\sigma} \gamma^0 u_{\mathbf{p}\sigma'} &= 2\varepsilon_{\mathbf{p}} \delta_{\sigma\sigma'}, & \bar{v}_{\mathbf{p}\sigma} \gamma^0 v_{\mathbf{p}\sigma'} &= 2\varepsilon_{\mathbf{p}} \delta_{\sigma\sigma'}, \\ \bar{u}_{\mathbf{p}\sigma} \gamma^0 v_{-\mathbf{p}\sigma'} &= \bar{v}_{\mathbf{p}\sigma} \gamma^0 u_{-\mathbf{p}\sigma'} = 0, \end{aligned}$$

Чтобы выражение для  $\hat{H}$  имело смысл, необходимо квантовать по Ферми-Дираку:

$$\{\hat{a}_{\mathbf{p}\sigma}, \hat{a}_{\mathbf{p}\sigma}^+\} = 1, \quad \{\hat{b}_{\mathbf{p}\sigma}, \hat{b}_{\mathbf{p}\sigma}^+\} = 1,$$

а все остальные пары операторов  $\hat{a}$ ,  $\hat{a}^+$ ,  $\hat{b}$ ,  $\hat{b}^+$  антикоммутируют. В этом случае

$$\hat{H} = \sum_{\mathbf{p}\sigma} \varepsilon_{\mathbf{p}} (\hat{n}_{\mathbf{p}\sigma} + \hat{\bar{n}}_{\mathbf{p}\sigma} - 1), \quad \hat{n}_{\mathbf{p}\sigma} = \hat{a}_{\mathbf{p}\sigma}^+ \hat{a}_{\mathbf{p}\sigma}, \quad \hat{\bar{n}}_{\mathbf{p}\sigma} = \hat{b}_{\mathbf{p}\sigma}^+ \hat{b}_{\mathbf{p}\sigma},$$

а для заряда

$$Q = \int j^0(x) d^3r = \int \bar{\Psi}(x) \gamma^0 \Psi(x) d^3r$$

аналогично

$$Q \rightarrow \hat{Q} = \sum_{\mathbf{p}\sigma} \left( \hat{a}_{\mathbf{p}\sigma}^+ \hat{a}_{\mathbf{p}\sigma} + \hat{b}_{\mathbf{p}\sigma} \hat{b}_{\mathbf{p}\sigma}^+ \right) = \sum_{\mathbf{p}\sigma} \left( \hat{n}_{\mathbf{p}\sigma} - \hat{\bar{n}}_{\mathbf{p}\sigma} + 1 \right),$$

где  $\hat{n}_{\mathbf{p}\sigma}$  — оператор числа частиц, а  $\hat{\bar{n}}_{\mathbf{p}\sigma}$  — оператор числа античастиц.

## § 9. Представление взаимодействия

Напомним, что в *шрёдингеровском представлении* операторы физических величин не зависят от времени, а зависящий от времени вектор состояния  $\Psi(t)$  удовлетворяет уравнению Шрёдингера

$$i \frac{\partial \Psi(t)}{\partial t} = \hat{H} \Psi(t).$$

Разложим  $\Psi(t)$  по стационарным состояниям  $\Psi_n(0)$ , таким, что  $\hat{H} \Psi_n(0) = E_n \Psi_n(0)$ , тогда

$$\Psi(t) = \sum_n c_n \Psi_n(0) e^{-iE_n t}. \quad (9.1)$$

Так как

$$e^{-i\hat{H}t} \Psi_n(0) = e^{-iE_n t} \Psi_n(0),$$

то (1) можно представить в компактном виде

$$\Psi(t) = \hat{U}(t) \sum_n c_n \Psi_n(0) = \hat{U}(t) \Psi(0), \quad (9.2)$$

где унитарный оператор

$$\hat{U}(t) = e^{-i\hat{H}t} \quad (9.3)$$

полностью определяет зависимость вектора состояния от времени.

Используя соотношение (2), среднее значение оператора  $\hat{A}$

$$\langle A(t) \rangle = \langle \Psi(t) | \hat{A} | \Psi(t) \rangle,$$

можно переписать в таком виде

$$\langle A(t) \rangle = \langle \Psi(0) | \hat{A}_\Gamma(t) | \Psi(0) \rangle, \quad \hat{A}_\Gamma(t) = \hat{U}^{-1}(t) \hat{A} \hat{U}(t), \quad (9.4)$$

в котором от времени зависит оператор  $\hat{A}_\Gamma(t)$ , а вектор состояния  $\Psi(0)$  не зависит от времени. Такая картина развития системы во времени называется *гайзенберговским представлением*.

Пусть

$$\hat{H} = \hat{H}_0 + \hat{V},$$

где  $\hat{V}$  — взаимодействие. Если взаимодействие можно рассматривать как малое возмущение, то строительство теории возмущений удобно производить в *представлении*

взаимодействия, которое определяется так. Введем новый унитарный оператор развития

$$\hat{U}_0(t) = e^{-i\hat{H}_0 t} \quad (9.5)$$

и новый вектор состояния

$$\Phi(t) = \hat{U}_0^{-1}(t) \Psi(t) .$$

Этот вектор состояния подчиняется уравнению

$$i \frac{\partial \Phi(t)}{\partial t} = i \frac{\partial \hat{U}_0^{-1}(t)}{\partial t} \Psi(t) + i \hat{U}_0^{-1}(t) \frac{\partial \Psi(t)}{\partial t} = -U_0^{-1}(t) \hat{H}_0 \Psi(t) + U_0^{-1}(t) \hat{H} \Psi(t)$$

или

$$i \frac{\partial \Phi(t)}{\partial t} = \hat{V}(t) \Phi(t) , \quad (9.6)$$

где

$$\hat{V}(t) = \hat{U}_0^{-1}(t) \hat{V} \hat{U}_0(t) .$$

Представление взаимодействия очень удобно по следующим соображениям:

- при  $\hat{V} = 0$  оно переходит в гайзенберговское представление, которое мы использовали до сих пор для ковариантного описания операторов полей;
- вектор состояния  $\Phi(t)$  удовлетворяет уравнению (6), в котором правая часть содержит малый параметр, что очень удобно для построения теории возмущений.

## § 10. Инвариантная теория возмущений

В предыдущем параграфе формальное решение уравнения Шрёдингера  $i \frac{\partial \Psi(t)}{\partial t} = \hat{H} \Psi(t)$  было получено в компактном виде

$$\Psi(t) = e^{-i\hat{H}t} \Psi(0) ,$$

используя разложение  $\Psi(0)$  по стационарным состояниям. Этот же ответ можно получить иначе. Временной интервал от 0 до  $t$  разобьём на маленькие участки  $\delta t_\alpha$ . На участке от  $t_\alpha$  до  $(t_\alpha + \delta t_\alpha)$  можно записать

$$\Psi(t_\alpha + \delta t_\alpha) = e^{-i\hat{H}\delta t_\alpha} \Psi(t_\alpha) .$$

Повторяя эту процедуру, получим

$$\Psi(t) = \prod_{\alpha} e^{-i\hat{H}\delta t_\alpha} \Psi(0) .$$

Пользуясь тем, что операторы  $e^{-i\hat{H}\delta t_\alpha}$  и  $e^{-i\hat{H}\delta t_\beta}$  коммутируют, перепишем

$$\prod_{\alpha} e^{-i\hat{H}\delta t_\alpha} = e^{-i\hat{H} \sum_{\alpha} \delta t_\alpha} = e^{-i\hat{H}t} = \hat{U}(t) .$$

Так же можно действовать и при решении уравнения для вектора состояния в представлении взаимодействия  $\Phi(t)$ , для которого  $i \frac{\partial \Phi(t)}{\partial t} = \hat{V}(t) \Phi(t)$ . Именно, интервал от

начального времени  $t_i$  до конечного  $t_f$  разобьем на малые участки  $\delta t_\alpha$ , при этом как и выше

$$\Phi(t_\alpha + \delta t_\alpha) = e^{-i\hat{V}(t_\alpha)\delta t_\alpha} \Phi(t_\alpha).$$

Повторяя эту процедуру, получим

$$\Phi(t_f) = \prod_{\alpha} e^{-i\hat{V}(t_\alpha)\delta t_\alpha} \Phi(t_i).$$

Существенная разница с предыдущим заключается в следующем: операторы  $\hat{V}(t_\alpha)$  и  $\hat{V}(t_\beta)$ , вообще говоря, не коммутируют друг с другом. Введем формально оператор упорядочивания по времени  $\hat{T}$ , под знаком этого оператора можно переписать

$$\prod_{\alpha} e^{-i\hat{V}(t_\alpha)\delta t_\alpha} = \hat{T} e^{-i\sum_{\alpha} \hat{V}(t_\alpha)\delta t_\alpha} = \hat{T} e^{-i\int_{t_i}^{t_f} \hat{V}(t) dt} = \hat{U}.$$

Конструктивный смысл этому формальному выражению можно придать, разложив экспоненту в ряд и проведя в полученных многократных интегралах упорядочивание по  $t_k$ ,

$$\hat{U} = \sum_{n=0}^{\infty} \frac{(-i)^n}{n!} \hat{T} \int_{t_i}^{t_f} \hat{V}(t_1) dt_1 \dots \int_{t_i}^{t_f} \hat{V}(t_n) dt_n.$$

Если теперь устремить  $t_i \rightarrow -\infty$ ,  $t_f \rightarrow \infty$ , то

$$\hat{U} \rightarrow \hat{S} = \hat{T} e^{-i\int \hat{V}(t) dt} = \sum_{n=0}^{\infty} \frac{(-i)^n}{n!} \hat{T} \int \hat{V}(t_1) dt_1 \dots \int \hat{V}(t_n) dt_n.$$

Элементы  $S$ -матрицы, соответствующие переходу из начального состояния  $|i\rangle$  в конечное состояние  $|f\rangle$ , суть матричные элементы

$$S_{fi} = \langle f | \hat{S} | i \rangle.$$

*Пример КЭД:*

$$\mathcal{L} = \frac{1}{2} \{ \bar{\Psi} \gamma_{\mu} (i\partial^{\mu} - eA^{\mu}) \Psi + [(-i\partial^{\mu} - eA^{\mu}) \bar{\Psi}] \gamma_{\mu} \Psi \} - m\bar{\Psi}\Psi,$$

так что плотность функции Лагранжа, соответствующая взаимодействию электронов и фотонов, имеет вид:

$$\mathcal{L}_I = -e\bar{\Psi}(x)\gamma_{\mu}\Psi(x)A^{\mu}(x)$$

(если частица — электрон, то  $e < 0$ ). В итоге в КЭД

$$\hat{V}(t) = - \int \mathcal{L}_I d^3r = \int \hat{V}(x) d^3r, \quad \hat{V}(x) = e\hat{\bar{\Psi}}(x)(x)\gamma_{\mu}\hat{\Psi}(x)\hat{A}^{\mu}(x)$$

и

$$\hat{S} = \hat{T} e^{-i\int \hat{V}(x) d^4x} = \hat{T} e^{-ie\int \hat{\bar{\Psi}}(x)\gamma_{\mu}\hat{\Psi}(x)\hat{A}^{\mu}(x) d^4x}$$

— унитарный, релятивистски инвариантный оператор. Так как константа электромагнитного взаимодействия  $|e| = \sqrt{\alpha}$  мала, теория возмущений оказывается очень эффективным способом расчетов в КЭД.

*Пример скалярных полей* — взаимодействие комплексного скалярного поля  $\varphi(x)$  и действительного скалярного поля  $\Phi(x)$ :

$$\hat{S} = \hat{T} e^{-ig \int \hat{\phi}^+(x) \hat{\phi}(x) \hat{\Phi}(x) d^4x},$$

где  $g$  — константа взаимодействия.

*Взаимодействие спинорного поля  $\Psi(x)$  и действительного скалярного поля  $\Phi(x)$ :*

$$\hat{S} = \hat{T} e^{-ig \int \hat{\Psi}(x) \hat{\Psi}(x) \hat{\Phi}(x) d^4x}.$$

## § 11. Амплитуды и вероятности переходов

### 11.1. Амплитуда рассеяния

Рассмотрим переход из начального состояния  $|i\rangle$  с суммарным 4-импульсом  $P_i = \sum_i p_i$  в конечное состояние  $|f\rangle$  с  $P_f = \sum_f p'_f$  (рис. 5). Амплитуда вероятности такого перехода  $\langle f | \hat{S} | i \rangle = S_{fi}$  — матричный элемент оператора перехода  $\hat{S}$ , в теории возмущений этот оператор имеет вид

$$\hat{S} = \hat{T} e^{-i \int \hat{V}(x) d^4x},$$

где  $\hat{V}(x)$  — плотность оператора возмущения. Удобно выделить из  $S_{fi}$  тривиальный вклад,  $\delta_{fi}$ , а в остатке в явном виде учесть закон сохранения 4-импульса:

$$S_{fi} = \delta_{fi} + i (2\pi)^4 \delta(P_i - P_f) T_{fi}.$$

Пусть начальному состоянию отвечает время  $t_i$ , а конечному — время  $t_f$  (затем  $t_i \rightarrow -\infty$ ,  $t_f \rightarrow \infty$ ) и пусть  $\Delta t = t_f - t_i$ , тогда вероятность перехода в единицу времени при  $|i\rangle \neq |f\rangle$  равна

$$d\dot{W}_{i \rightarrow f} = \frac{|S_{fi}|^2}{\Delta t} \prod_f \frac{\mathcal{V} d^3 p'_f}{(2\pi)^3} = [(2\pi)^4 \delta(P_i - P_f)]^2 \frac{|T_{fi}|^2}{\Delta t} \prod_f \frac{\mathcal{V} d^3 p'_f}{(2\pi)^3}.$$

Квадрат  $\delta$ -функции в этом выражении может быть расшифрован следующим образом:

$$(2\pi)^4 [\delta(P_i - P_f)]^2 = \delta(P_i - P_f) \cdot (2\pi)^4 \delta(0)$$

и далее

$$(2\pi)^4 \delta(0) = \int_{t_i}^{t_f} dt \int_{\mathcal{V}} d^3 r e^{i(P_i - P_f)x} \Big|_{P_i = P_f} = \mathcal{V} \Delta t.$$

Таким образом,

$$d\dot{W}_{i \rightarrow f} = (2\pi)^4 \delta(P_i - P_f) \mathcal{V} |T_{fi}|^2 \prod_f \frac{\mathcal{V} d^3 p'_f}{(2\pi)^3}.$$

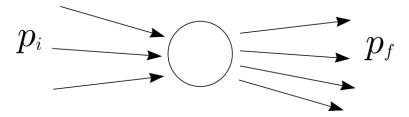


Рис. 5. Переход  $|i\rangle \rightarrow |f\rangle$

Число состояний  $\frac{\mathcal{V} d^3 p'_f}{(2\pi)^3}$  соответствует нормировке на одну частицу во всём объёме  $\mathcal{V}$ . Это отвечает волновой функции

$$\begin{aligned} \frac{e^{-ipx}}{\sqrt{2\varepsilon_{\mathbf{p}}\mathcal{V}}} & \quad \text{для скалярных частиц,} \\ \frac{e^{-ikx}}{\sqrt{2\omega_{\mathbf{k}}\mathcal{V}}} \sqrt{4\pi} e_{\mathbf{k}\lambda}^\mu & \quad \text{для фотона,} \\ \frac{e^{-ipx}}{\sqrt{2\varepsilon_{\mathbf{p}}\mathcal{V}}} u_{\mathbf{p}\sigma} & \quad \text{для электрона.} \end{aligned}$$

Удобно вынести множитель  $\frac{1}{\sqrt{2\varepsilon_{\mathbf{p}}\mathcal{V}}}$  для всех частиц, введя новую величину *амплитуду рассеяния*  $M_{fi}$ :

$$S_{fi} = \delta_{fi} + i(2\pi)^4 \delta(P_i - P_f) M_{fi} \prod_{if} \frac{1}{\sqrt{2\varepsilon_{\mathbf{p}}\mathcal{V}}}.$$

## 11.2. Ширина распада

Вероятность распада частицы в единицу времени или *ширина распада* равна

$$d\dot{W}_{i \rightarrow f} \equiv d\Gamma_{i \rightarrow f} = (2\pi)^4 \delta(p - P_f) \frac{\mathcal{V}}{2\varepsilon_{\mathbf{p}}\mathcal{V}} |M_{fi}|^2 \prod_f \frac{d^3 p'_f}{2\varepsilon'_f (2\pi)^3}.$$

Вспомогательное понятие, объём  $\mathcal{V}$ , исчезло из этого выражения.

Если идёт распад в системе покоя начальной частицы с массой  $m$  на две частицы с энергиями  $\varepsilon'_1 + \varepsilon'_2 = m$  и импульсами  $\mathbf{p}'_1 = -\mathbf{p}'_2$  (рис. 6), то

$$d\Gamma_{i \rightarrow f} = \frac{|M_{fi}|^2}{32\pi^2 m^2} |\mathbf{p}'_1| d\Omega'_1.$$

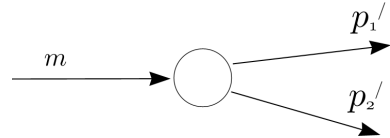


Рис. 6. Кинематика распада

## 11.3. Сечение рассеяния

Две частицы, соударяясь, переходят в конечное состояние из  $n$  частиц (рис. 7). Вероятность такого перехода в единицу времени равна

$$d\dot{W}_{i \rightarrow f} = (2\pi)^4 \delta(p_1 + p_2 - P_f) \frac{|M_{fi}|^2}{2\varepsilon_1 \mathcal{V} 2\varepsilon_2 \mathcal{V}} \prod_f \frac{d^3 p'_f}{2\varepsilon'_f (2\pi)^3}$$

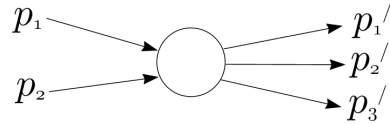


Рис. 7. Кинематика рассеяния

Сечение

$$d\sigma = \frac{d\dot{W}}{j},$$

где  $j$  — плотность потока. При нормировки на одну частицу в объёме  $\mathcal{V}$  плотность потока в с.ц.и. равна

$$j = \frac{v_1}{\mathcal{V}} + \frac{v_2}{\mathcal{V}} = \frac{1}{\mathcal{V}} \left( \frac{|\mathbf{p}_1|}{\varepsilon_1} + \frac{|\mathbf{p}_2|}{\varepsilon_2} \right) = \frac{|\mathbf{p}_1| (\varepsilon_1 + \varepsilon_2)}{\mathcal{V} \varepsilon_1 \varepsilon_2}.$$

В сечении объём  $\mathcal{V}$  исчезает:

$$d\sigma = (2\pi)^4 \delta(p_1 + p_2 - P_f) \frac{|M_{fi}|^2}{4I} \prod_f \frac{d^3 p'_f}{2\varepsilon'_f (2\pi)^3},$$

где  $I = |\mathbf{p}_1| (\varepsilon_1 + \varepsilon_2) = \sqrt{(p_1 p_2)^2 - m_1^2 m_2^2}$  — инвариант Мёллера.

Для частного случая  $p_1 + p_2 \rightarrow p'_1 + p'_2$  имеем в с.ц.и.

$$d\sigma = \left| \frac{M_{fi}}{8\pi (\varepsilon_1 + \varepsilon_2)} \right|^2 \frac{|\mathbf{p}'_1|}{|\mathbf{p}_1|} d\Omega'_1.$$

Если вести переменную  $t = (p_1 - p'_1)^2$ , то

$$d\sigma = \frac{|M_{fi}|^2}{64\pi} \frac{d(-t) d\varphi}{I^2 2\pi}.$$

## §12. Первый порядок теории возмущений

### 12.1. Взаимодействие $g\hat{\varphi}^+\hat{\varphi}\hat{\Phi}$

Рассмотрим взаимодействие частиц комплексного скалярного поля  $\varphi(x)$  и действительного скалярного поля  $\Phi(x)$ . Для него оператор  $\hat{S}$  в первом порядке имеет вид

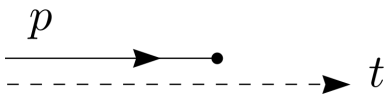
$$\hat{S}^{(1)} = -ig \int d^4x \hat{\varphi}^+(x) \hat{\varphi}(x) \hat{\Phi}(x)$$

(здесь нет разных времён и поэтому оператор  $\hat{T}$  опущен).

Поле

$$\hat{\varphi}(x) = \sum_{\mathbf{p}} \left( \hat{a}_{\mathbf{p}} \frac{e^{-ipx}}{\sqrt{2\varepsilon_{\mathbf{p}}\mathcal{V}}} + \hat{b}_{\mathbf{p}}^+ \frac{e^{ipx}}{\sqrt{2\varepsilon_{\mathbf{p}}\mathcal{V}}} \right),$$

содержит слагаемые, соответствующие уничтожению частицы с 4-импульсом  $p$  (оператор  $\hat{a}_{\mathbf{p}}$ )



или рождению античастицы с 4-импульсом  $p$  (оператор  $\hat{b}_{\mathbf{p}}^+$ )

Поле

$$\hat{\varphi}^+(x) = \sum_{\mathbf{p}} \left( \hat{a}_{\mathbf{p}}^+ \frac{e^{ipx}}{\sqrt{2\varepsilon_{\mathbf{p}}\mathcal{V}}} + \hat{b}_{\mathbf{p}} \frac{e^{-ipx}}{\sqrt{2\varepsilon_{\mathbf{p}}\mathcal{V}}} \right),$$

содержит слагаемые, соответствующие рождению частицы (оператор  $\hat{a}_{\mathbf{p}}^+$ )

или уничтожению античастицы (оператор  $\hat{b}_{\mathbf{p}}$ )

Будем условно называть частицы  $\pi^-$ , античастицы  $\pi^+$ .

Поле

$$\hat{\Phi}(x) = \sum_{\mathbf{k}} \left( \hat{c}_{\mathbf{k}} \frac{e^{-ikx}}{\sqrt{2\varepsilon_{\mathbf{k}}\mathcal{V}}} + \hat{c}_{\mathbf{k}}^+ \frac{e^{ikx}}{\sqrt{2\varepsilon_{\mathbf{k}}\mathcal{V}}} \right),$$

содержит слагаемые, соответствующие уничтожению нейтральной частицы с 4-импульсом  $k$  (оператор  $\hat{c}_{\mathbf{k}}$ )

или рождению такой же нейтральной частицы с 4-импульсом  $k$  (оператор  $\hat{c}_{\mathbf{k}}^+$ )

Будем кванты поля  $\Phi(x)$  условно называть  $\pi^0$ , причем массы  $m_0$  и  $m_+ = m_-$  могут быть произвольными.

Таким образом,  $\hat{S}^{(1)}$  может описывать процессы

$$\pi^\pm \rightarrow \pi^\pm + \pi^0, \quad \pi^\pm + \pi^0 \rightarrow \pi^\pm, \quad \pi^0 \rightarrow \pi^+ + \pi^-, \quad \pi^+ + \pi^- \rightarrow \pi^0.$$

### Пример 1.

Рассмотрим процесс распада  $\pi^- \rightarrow \pi^- + \pi^0$  (рис. 8), для которого

$$|i\rangle = \hat{a}_{\mathbf{p}}^+ |0\rangle, \quad |f\rangle = \hat{a}_{\mathbf{p}'}^+ \hat{c}_{\mathbf{k}}^+ |0\rangle.$$

Матричный элемент  $S$ -матрицы равен

$$S_{fi}^{(1)} = -ig \int d^4x \langle 0 | \hat{a}_{\mathbf{p}'}^+ \hat{c}_{\mathbf{k}}^+ \hat{\varphi}^+(x) \hat{\varphi}(x) \hat{\Phi}(x) \hat{a}_{\mathbf{p}}^+ |0\rangle = -ig \int F(x) \bar{f}(x) \mathcal{U}^0(x) d^4x,$$

где функция  $F(x)$  соответствует плоской волне конечного  $\pi^0$ :

$$F(x) = \langle 0 | \underbrace{\hat{c}_{\mathbf{k}} \hat{\Phi}(x)} |0\rangle = \langle 0 | \hat{c}_{\mathbf{k}} \sum_{\mathbf{k}'} \left( \hat{c}_{\mathbf{k}'} \frac{e^{-ik'x}}{\sqrt{2\varepsilon_{\mathbf{k}'}\mathcal{V}}} + \hat{c}_{\mathbf{k}'}^+ \frac{e^{ik'x}}{\sqrt{2\varepsilon_{\mathbf{k}'}\mathcal{V}}} \right) |0\rangle = \frac{e^{ikx}}{\sqrt{2\varepsilon_{\mathbf{k}}\mathcal{V}}}.$$

Здесь мы учли, что

$$\langle 0 | \hat{c}_{\mathbf{k}} \hat{c}_{\mathbf{k}'} |0\rangle = 0, \quad \langle 0 | \hat{c}_{\mathbf{k}} \hat{c}_{\mathbf{k}'}^+ |0\rangle = \delta_{\mathbf{k}\mathbf{k}'}$$

и отметили знаком  $\underbrace{\dots}$  “свёртку” двух операторов.

Аналогично, функция  $f(x)$  соответствует плоским волнам начального и конечного  $\pi^-$  и содержит две свёртки:

$$f(x) = \langle 0 | \underbrace{\hat{a}_{\mathbf{p}'}^+ \hat{\varphi}^+(x)} \underbrace{\hat{\varphi}(x) \hat{a}_{\mathbf{p}}^+} |0\rangle = \frac{e^{ip'x}}{\sqrt{2\varepsilon_{\mathbf{p}'}\mathcal{V}}} \frac{e^{-ipx}}{\sqrt{2\varepsilon_{\mathbf{p}}\mathcal{V}}}.$$

После интегрирования по  $x$  получаем

$$S_{fi}^{(1)} = i(2\pi)^4 \delta(p - p' - k) \frac{M_{fi}^{(1)}}{\sqrt{2\varepsilon_{\mathbf{p}}\mathcal{V}2\varepsilon_{\mathbf{p}'}\mathcal{V}2\varepsilon_{\mathbf{k}}\mathcal{V}}}, \quad M_{fi}^{(1)} = -g,$$

откуда видно, что данный процесс невозможен, т. к.  $p \neq p' + k$  (в системе покоя начального  $\pi^-$  его энергия  $\varepsilon_i = m_- \neq \varepsilon_f = \varepsilon_{\mathbf{p}'} + \varepsilon_{\mathbf{k}} > m_-$ ).

### Пример 2.

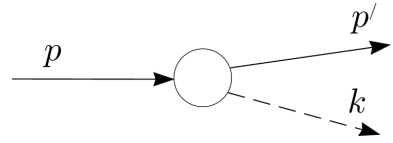


Рис. 8. Распад  $\pi^- \rightarrow$

Если рассмотреть процесс распада  $\pi^0 \rightarrow \pi^+ + \pi^-$  (рис. 9), то получим как и раньше

$$M_{fi}^{(1)} = -g,$$

но в данном случае закон сохранения  $k = p_+ + p_-$  выполняется, если  $m_0 > 2m_-$ .

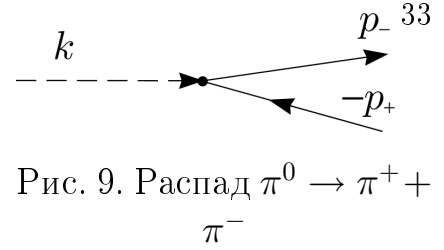


Рис. 9. Распад  $\pi^0 \rightarrow \pi^+ + \pi^-$

## 12.2. Взаимодействие $g\hat{\Psi}\hat{\Psi}\hat{\Phi}$ . Распад хиггсовского бозона

В Стандартной Модели спинорное поле  $\Psi(x)$  описывает лептон или кварк с массой  $m$ , действительное скалярное поле  $\Phi(x)$  описывает хиггсовский бозон  $H$  с массой  $m_H$ , а константа

$$g = \sqrt{4\pi\alpha} \frac{m}{2m_W \sin\theta_W}, \quad m_W = 80,4 \text{ ГэВ}, \quad \sin^2\theta_W = 0,23$$

пропорциональна массе лептона или кварка  $m$ .

Рассмотрим процесс (рис. 10)

$$e^- \rightarrow e^- + H.$$

Повторяя выкладки для процесса  $\pi^- \rightarrow \pi^- + \pi^0$ , получим

$$S_{fi}^{(1)} = -ig \int F(x) f(x) d^4x,$$

где

$$F(x) = \langle 0 | \hat{c}_{\mathbf{k}} \hat{\Phi}(x) | 0 \rangle = \frac{e^{ikx}}{\sqrt{2\varepsilon_k \mathcal{V}}},$$

$$f(x) = \langle 0 | \hat{a}_{\mathbf{p}'\sigma'} \hat{\Psi}(x) \hat{\Psi}(x) \hat{a}_{\mathbf{p}\sigma}^+ | 0 \rangle$$

и индексы  $\sigma$  ( $\sigma'$ ) указывают спиновое состояние начального (конечного) электрона.

Учтя, что

$$\hat{\Psi}(x) = \sum_{\mathbf{p}'\sigma''} \left( \hat{a}_{\mathbf{p}'\sigma''} u_{\mathbf{p}'\sigma''} \frac{e^{-ip''x}}{\sqrt{2\varepsilon_{p''} \mathcal{V}}} + \hat{b}_{\mathbf{p}'\sigma''}^+ v_{\mathbf{p}'\sigma''} \frac{e^{ip''x}}{\sqrt{2\varepsilon_{p''} \mathcal{V}}} \right)$$

и что  $\langle 0 | \hat{a}_{\mathbf{p}'\sigma''} \hat{a}_{\mathbf{p}\sigma}^+ | 0 \rangle = \delta_{\mathbf{p}\mathbf{p}'} \delta_{\sigma\sigma'}$  и аналогичные соотношения для  $\hat{\bar{\Psi}}$  и  $\hat{a}_{\mathbf{p}'\sigma'}$ , получим

$$f(x) = \bar{u}_{\mathbf{p}'\sigma'} u_{\mathbf{p}\sigma} \frac{e^{ip'x}}{\sqrt{2\varepsilon_{p'} \mathcal{V}}} \frac{e^{-ipx}}{\sqrt{2\varepsilon_p \mathcal{V}}}.$$

В итоге после интегрирования по  $x$ , получим

$$S_{fi}^{(1)} = i(2\pi)^4 \delta(p - p' - k) \frac{M_{fi}^{(1)}}{\sqrt{2\varepsilon_{\mathbf{p}} \mathcal{V} 2\varepsilon_{p'} \mathcal{V} 2\varepsilon_k \mathcal{V}}}, \quad M_{fi}^{(1)} = -g \bar{u}_{\mathbf{p}'\sigma'} u_{\mathbf{p}\sigma}.$$

Отсюда видно, что такой процесс невозможен, т. к.  $m < m_H + m$ .

**Распад  $H \rightarrow e^+ e^-$**

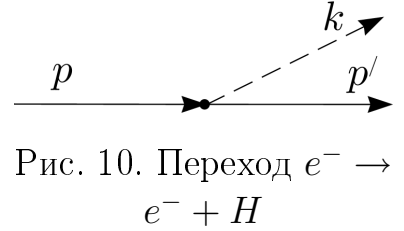


Рис. 10. Переход  $e^- \rightarrow e^- + H$

Этот распад разрешён (рис. 11) и

$$M_{fi}^{(1)} = -g\bar{u}_{\mathbf{p}-\sigma-}v_{\mathbf{p}+\sigma+}.$$

Найдём ширину распада

$$\Gamma_{H \rightarrow e^+e^-} = \int \sum_{\sigma_{\pm}} |M_{fi}|^2 \frac{d\Omega_-}{32\pi^2 m_H^2} |\mathbf{p}_-|,$$

проводя вычисления в системе покоя  $H$ -бозона, при этом  $\varepsilon_- = \varepsilon_+ = \frac{1}{2}m_H$ ,  $\mathbf{p}_- = -\mathbf{p}_+$ ,  $|\mathbf{p}_-| = \frac{1}{2}m_H v_e$ , где скорость электрона

$$v_e = \sqrt{1 - \frac{4m^2}{m_H^2}}.$$

Поучительно провести прямой расчёт амплитуды рассеяния, выписав в явном виде биспиноры электрона и позитрона:

$$u_{\mathbf{p}-\sigma-} = \begin{pmatrix} \sqrt{\varepsilon_- + m} \varphi^{(\sigma-)} \\ \sqrt{\varepsilon_- - m} (\boldsymbol{\sigma} \mathbf{n}_-) \varphi^{(\sigma-)} \end{pmatrix} = \begin{pmatrix} \sqrt{\varepsilon_- + m} \varphi^{(\sigma-)} \\ 2\sigma_- \sqrt{\varepsilon_- - m} \varphi^{(\sigma-)} \end{pmatrix},$$

$$v_{\mathbf{p}+\sigma+} = C\bar{u}_{\mathbf{p}+\sigma+} = -i \begin{pmatrix} \sqrt{\varepsilon_+ - m} \varphi^{(-\sigma+)} \\ 2\sigma_+ \sqrt{\varepsilon_+ + m} \varphi^{(-\sigma+)} \end{pmatrix}.$$

Мы учли, что  $C = -\alpha_y$ , что  $-\sigma_y \varphi^{(+\sigma)} = -2i\sigma \varphi^{(-\sigma)}$ , и что при выборе оси  $z$  вдоль  $\mathbf{n}_- = -\mathbf{n}_+$  мы получим

$$(\boldsymbol{\sigma} \mathbf{n}_-) \varphi^{(\sigma-)} = 2\sigma_- \varphi^{(\sigma-)}, \quad (\boldsymbol{\sigma} \mathbf{n}_+) \varphi^{(-\sigma+)} = 2\sigma_+ \varphi^{(-\sigma+)}.$$

В итоге получаем:

$$M_{fi}^{(1)} = -ig \sqrt{\varepsilon_-^2 - m^2} (1 - 4\sigma_- \sigma_+) \varphi^{(\sigma-)*} \varphi^{(-\sigma+)} = -igm_H v_e \delta_{\sigma_-, -\sigma_+}.$$

Таким образом, проекции спинов электрона и позитрона на выделенную ось  $z$  (вдоль направления движения электрона) оказались противоположны, иными словами, спиральности образованных лептонов одинаковы. Это прямое следствие закона сохранения проекции полного момента импульса на ось  $z$ .

Теперь легко найти сумму

$$\sum_{\sigma_{\pm}} |M_{fi}^{(1)}|^2 = 2g^2 m_H^2 v_e^2.$$

Менее громоздкий расчёт этой величины удобно провести, используя правила суммирования по спиновым переменным

$$\sum_{\sigma_{\pm}} |M_{fi}^{(1)}|^2 = g^2 \text{Sp} [(p_-^\mu \gamma_\mu + m)(p_+^\nu \gamma_\nu - m)]$$

и правила вычисления следов от матриц Дирака:

$$\text{Sp}(\gamma_\mu \gamma_\nu) = 4g_{\mu\nu},$$

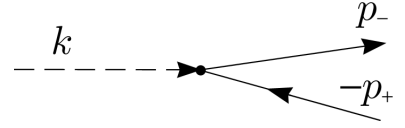


Рис. 11. Распад  $H \rightarrow e^+e^-$

что приводит к результату

$$\sum_{\sigma_{\pm}} \left| M_{fi}^{(1)} \right|^2 = 4g^2 (p_+ p_- - m^2),$$

совпадающему с предыдущим.

Ширина обсуждаемого распада пропорциональна квадрату массы электрона,  $g^2 \propto m_e^2$ , и оказывается очень малой:

$$\Gamma_{H \rightarrow e^+ e^-} = \frac{\alpha}{8 \sin^2 \theta_W} \left( \frac{m_e}{m_W} \right)^2 m_H v_e^3.$$

Если  $m_H \approx 115 \text{ ГэВ}$ , то возможны лептонные распады  $H \rightarrow e^+ e^-$ , или  $H \rightarrow \mu^+ \mu^-$ , или  $H \rightarrow \tau^+ \tau^-$ , причем ширина последнего распада будет наибольшей.

Среди кварковых мод распада  $H \rightarrow \bar{q}q$  наибольшую ширину будет иметь  $\bar{b}b$  мода:

$$\Gamma_{H \rightarrow \bar{b}b} = N_C \frac{\alpha}{8 \sin^2 \theta_W} \left( \frac{m_b}{m_W} \right)^2 m_H v_b^3 \approx 5 \text{ МэВ}$$

для  $N_C = 3$  и  $m_b = 5 \text{ ГэВ}$  (для сравнения  $\Gamma_{\phi(1020)} = 4, 5 \text{ МэВ}$ ).

При бoльших значениях  $m_H$  будут доминировать распады  $H \rightarrow W^+ W^-$  и  $H \rightarrow Z Z$ . Интересен распад  $H \rightarrow \gamma \gamma$  (рис. 12), идущий через виртуальную петлю заряженных частиц, причём неисчезающий петлевой вклад может происходить и от ещё неизвестных тяжёлых частиц  $X$ .

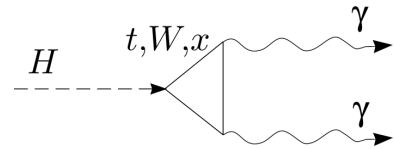


Рис. 12. Распад  $H \rightarrow \gamma \gamma$

### Образование $H$ в $e^+ e^-$ и $\mu^+ \mu^-$ соударениях

Процесс образования хиггсовского бозона на встречных  $e^+ e^-$  или  $\mu^+ \mu^-$  пучках (рис. 13–14) подобен образованию резонансов типа  $\rho$ ,  $\Phi$ ,  $\omega$  в  $e^+ e^-$  соударениях.

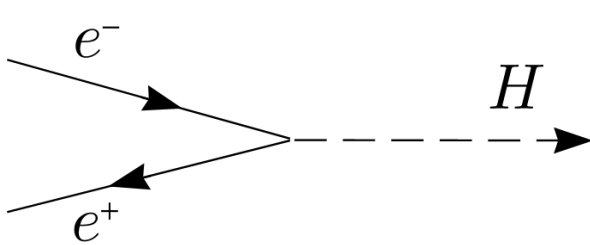


Рис. 13. Процесс  $e^+ e^- \rightarrow H$

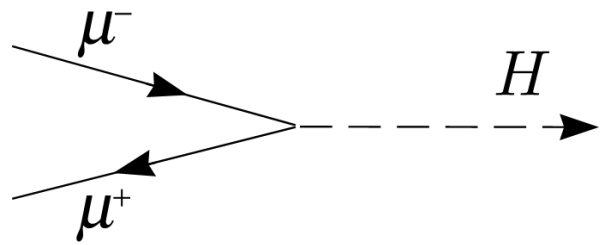


Рис. 14. Процесс  $\mu^+ \mu^- \rightarrow H$

Вероятности переходов  $\mu^+ \mu^- \rightarrow H$  и  $e^+ e^- \rightarrow H$  пропорциональны ширинам соответствующих распадов, отношение этих вероятностей

$$\frac{W(\mu^+ \mu^- \rightarrow H)}{W(e^+ e^- \rightarrow H)} = \frac{\Gamma_{H \rightarrow \mu^+ \mu^-}}{\Gamma_{H \rightarrow e^+ e^-}} \approx \left( \frac{m_\mu}{m_e} \right)^2 \approx 40\,000,$$

поэтому на встречных  $\mu^+ \mu^-$  пучках вероятность образования  $H$  будет примерно в 40 000 раз больше, чем на встречных  $e^+ e^-$  пучках той же энергии. Идея встречных  $\mu^+ \mu^-$  пучков была выдвинута в работах Будкера (1969) и Скринского и Пархомчука (1981).

### 12.3. КЭД, взаимодействие $e\bar{\Psi}\gamma_\mu\Psi\hat{A}^\mu$

В первом порядке теории возмущений мыслимы процессы испускания фотона  $e^\pm \rightarrow e^\pm + \gamma$ , поглощения фотона  $e^\pm + \gamma \rightarrow e^\pm$ , образование  $e^+e^-$  пары фотоном  $\gamma \rightarrow e^+e^-$  и аннигиляция пары  $e^+e^- \rightarrow \gamma$ . Все эти процессы запрещены законами сохранения энергии-импульса. Тем не менее полезно для дальнейшего, вычислить амплитуду  $M_{fi}$  этих процессов. Отличие от процессов, рассмотренных в предыдущем разделе для взаимодействия  $g\bar{\Psi}\Psi\Phi$ , заключается в векторном характере тока  $\bar{\Psi}\gamma_\mu\Psi$  и переходе от действительного скалярного поля  $\Phi$  к векторному полю  $A^\mu$ .

При квантовании электромагнитного поля 4-потенциал становится оператором

$$\hat{A}^\mu(x) = \sum_{\mathbf{k}\lambda} \left( \hat{c}_{\mathbf{k}\lambda} \frac{e^{-ikx}}{\sqrt{2\omega_{\mathbf{k}}\mathcal{V}}} \sqrt{4\pi} e_{\mathbf{k}\lambda}^\mu + \hat{c}_{\mathbf{k}\lambda}^+ \frac{e^{ikx}}{\sqrt{2\omega_{\mathbf{k}}\mathcal{V}}} \sqrt{4\pi} e_{\mathbf{k}\lambda}^{\mu*} \right).$$

Поэтому процессу  $e^- \rightarrow e^- + \gamma$

соответствует амплитуда рассеяния

$$M_{fi}^{(1)} = -e\bar{u}_{\mathbf{p}'\sigma'}\gamma_\mu u_{\mathbf{p}\sigma} \sqrt{4\pi} e_{\mathbf{k}\lambda}^{\mu*}.$$

Отметим, что градиентное преобразование 4-потенциала

$$A^\mu(x) \rightarrow A^\mu(x) - \partial^\mu f(x)$$

соответствует замене

$$e_{\mathbf{k}\lambda}^\mu \rightarrow e_{\mathbf{k}\lambda}^\mu + k^\mu \tilde{f}(k),$$

не изменяющей амплитуду рассеяния, т. к.

$$k^\mu \bar{u}' \gamma_\mu u = (p_\mu - p'_\mu) \bar{u}' \gamma^\mu u = 0 \quad (12.1)$$

в силу уравнения Дирака  $p_\mu \gamma^\mu u = m u$  и  $p'_\mu \bar{u}' \gamma^\mu = m \bar{u}'$  (само равенство (1) является следствием сохранения тока  $\partial_\mu (\bar{\Psi}(x) \gamma^\mu \Psi(x)) = 0$ ).

Процессу  $\gamma \rightarrow e^+ + e^-$

соответствует амплитуда рассеяния

$$M_{fi}^{(1)} = -e\bar{u}_{\mathbf{p}-\sigma-}\gamma_\mu v_{\mathbf{p}+\sigma+} \sqrt{4\pi} e_{\mathbf{k}\lambda}^\mu.$$

На этих примерах видны правила Фейнмана для КЭД:

	Начальное состояние	Конечное состояние
электрон	$u_{\mathbf{p}\sigma}$	$\bar{u}_{\mathbf{p}\sigma}$
позитрон	$\bar{v}_{\mathbf{p}\sigma}$	$v_{\mathbf{p}\sigma}$
фотон	$\sqrt{4\pi} e_{\mathbf{k}\lambda}^\mu$	$\sqrt{4\pi} e_{\mathbf{k}\lambda}^{*\mu}$

Вершине

соответствует фактор  $-ie\gamma^\mu$ .

В амплитуде рассеяния  $(iM_{fi})$  биспиноры выписываются, следуя от конца электронной линии к началу.

Ещё одно замечание касается случая, когда сплошная линия, соответствующая электрону и идущая от начального состояния до конечного, заменяется позитронной линией. Сравним два процесса. Процессу с электронной линией

соответствует

$$f_\mu = \langle 0 | \underbrace{\hat{a}_{\mathbf{p}'\sigma'}}_{\hat{\Psi}(x)} \gamma_\mu \underbrace{\hat{\Psi}(x) \hat{a}_{\mathbf{p}\sigma}^+}_{\hat{\Psi}(x)} | 0 \rangle = \bar{u}_{\mathbf{p}'\sigma'} \gamma_\mu u_{\mathbf{p}\sigma} \frac{e^{-i(p-p')x}}{\sqrt{2\varepsilon_{\mathbf{p}} \mathcal{V} 2\varepsilon_{\mathbf{p}'} \mathcal{V}}},$$

а процессу с позитронной линией

соответствует

$$\bar{f}_\mu = \langle 0 | \hat{b}_{\mathbf{p}'\sigma'} \underbrace{\hat{\Psi}(x)}_{\hat{\Psi}(x)} \gamma_\mu \underbrace{\hat{\Psi}(x) \hat{b}_{\mathbf{p}\sigma}^+}_{\hat{\Psi}(x)} | 0 \rangle = -\bar{v}_{\mathbf{p}\sigma} \gamma_\mu v_{\mathbf{p}'\sigma'} \frac{e^{-i(p-p')x}}{\sqrt{2\varepsilon_{\mathbf{p}} \mathcal{V} 2\varepsilon_{\mathbf{p}'} \mathcal{V}}},$$

с дополнительным множителем  $(-1)$  из-за антикоммутируемости фермионных операторов и другого набора свёрток:

$$\langle 0 | \underbrace{\hat{b}_{\mathbf{p}'\sigma'} \hat{\Psi}(x)}_{\hat{\Psi}(x)} \gamma_\mu \underbrace{\hat{\Psi}(x) \hat{b}_{\mathbf{p}\sigma}^+}_{\hat{\Psi}(x)} | 0 \rangle \quad \text{и} \quad \langle 0 | \hat{b}_{\mathbf{p}'\sigma'} \underbrace{\hat{\Psi}(x) \gamma_\mu \hat{\Psi}(x)}_{\hat{\Psi}(x)} \hat{b}_{\mathbf{p}\sigma}^+ | 0 \rangle.$$

### § 13. Второй порядок теории возмущений для взаимодействия $g\hat{\varphi}^+\hat{\varphi}\hat{\Phi}$ . Пропагатор скалярной частицы

В операторе

$$\hat{S}^{(2)} = \frac{(-ig)^2}{2!} \int d^4x d^4x' \hat{T} \left[ \hat{\varphi}^+(x) \hat{\varphi}(x) \hat{\Phi}(x) \hat{\varphi}^+(x') \hat{\varphi}(x') \hat{\Phi}(x') \right]$$

присутствуют две элементарные вершины:

Процессы с 6 внешними концами соответствуют (после интегрирования по  $x$  и  $x'$ ) двум несвязанным процессам типа  $\pi^0 \rightarrow \pi^+ + \pi^-$ . Процессы с 5 внешними вершинами дают  $S_{fi}^{(2)} = 0$ .

Поэтому во 2 порядке интересно рассмотреть процессы рассеяния частиц

$$\pi^- \pi^\pm \rightarrow \pi^- \pi^\pm, \quad \pi^0 \pi^\pm \rightarrow \pi^0 \pi^\pm, \quad \pi^+ \pi^+ \rightarrow \pi^+ \pi^+,$$

аннигиляцию заряженных частиц

$$\pi^+ \pi^- \rightarrow \pi^0 \pi^0$$

и их образование в соударениях нейтральных частиц

$$\pi^0 \pi^0 \rightarrow \pi^+ \pi^-.$$

Для описания таких процессов удобны специальные инварианты — переменные Мандельстама.

### 13.1. Переменные Мандельстама

*s-канал.* Для описания процесса  $1 + 2 \rightarrow 3 + 4$

введём инварианты, составленные из 4-импульсов частиц (*переменные Мандельстама*),

$$\begin{aligned} s &= (p_1 + p_2)^2 = (p_3 + p_4)^2, \\ t &= (p_1 - p_3)^2 = (p_2 - p_4)^2, \\ u &= (p_1 - p_4)^2 = (p_2 - p_3)^2. \end{aligned}$$

Эти переменные не являются независимыми, т. к.

$$s + t + u = m_1^2 + m_2^2 + m_3^2 + m_4^2.$$

В с.ц.и. этого процесса

$$\mathbf{p}_1 = -\mathbf{p}_2, \quad \mathbf{p}_3 = -\mathbf{p}_4$$

инвариант

$$s = (\varepsilon_1 + \varepsilon_2)^2 = (\varepsilon_3 + \varepsilon_4)^2$$

совпадает с квадратом полной энергии, а переменные

$$t = -2\varepsilon_1\varepsilon_3 + 2\mathbf{p}_1\mathbf{p}_3 + m_1^2 + m_3^2$$

и

$$u = -2\varepsilon_1\varepsilon_4 + 2\mathbf{p}_1\mathbf{p}_4 + m_1^2 + m_4^2 = -2\varepsilon_1\varepsilon_4 - 2\mathbf{p}_1\mathbf{p}_3 + m_1^2 + m_4^2$$

зависят от угла рассеяния  $\theta$ :

$$\mathbf{p}_1\mathbf{p}_3 = |\mathbf{p}_1| |\mathbf{p}_3| \cos \theta.$$

Сечение рассеяния

$$d\sigma = \left| \frac{M_{fi}}{8\pi(\varepsilon_1 + \varepsilon_2)} \right|^2 \frac{|\mathbf{p}_3|}{|\mathbf{p}_1|} d\Omega_3 = \frac{|M_{fi}|^2}{64\pi I^2} dt \frac{d\varphi}{2\pi},$$

т. к.

$$d\Omega_3 = \sin\theta d\theta d\varphi = d(-\cos\theta) d\varphi = \frac{d(-t)d\varphi}{2|\mathbf{p}_1||\mathbf{p}_3|}, \quad |\mathbf{p}_1|(\varepsilon_1 + \varepsilon_2) = \sqrt{(p_1 p_2)^2 - m_1^2 m_2^2} = I.$$

*Перекрестный t-канал (кросс-канал):  $1 + \bar{3} \rightarrow \bar{2} + 4$*

В этом канале переменные Мандельстама имеют вид

$$t = (p_1 + p_3)^2, \quad s = (p_1 - p_2)^2, \quad u = (p_1 - p_4)^2,$$

инвариант

$$t = (\varepsilon_1 + \varepsilon_3)^2$$

совпадает с квадратом полной энергии, а переменные  $s$  и  $u$  зависят от угла рассеяния в этом канале.

*Перекрестный u-канал (кросс-канал):  $1 + \bar{4} \rightarrow \bar{3} + \bar{2}$ ,*

В этом канале переменные Мандельстама имеют вид

$$u = (p_1 + p_4)^2, \quad s = (p_1 - p_2)^2, \quad t = (p_1 - p_3)^2,$$

инвариант

$$u = (\varepsilon_1 + \varepsilon_4)^2$$

совпадает с квадратом полной энергии, а переменные  $s$  и  $t$  зависят от угла рассеяния в этом канале.

**Пример: эффект Комптона**

$s$ -канал:  $\gamma e^- \rightarrow \gamma e^-$

$t$ -канал:  $\gamma\gamma \rightarrow e^+e^-$

$u$ -канал:  $\gamma e^+ \rightarrow \gamma e^+$

## 13.2. Рассеяние заряженных частиц

Рассмотрим процесс

$$\pi^- \pi^- \rightarrow \pi^- \pi^-,$$

для которого начальное и конечное состояние таковы:

$$|i\rangle = \hat{a}_2^+ \hat{a}_1^+ |0\rangle, \quad |f\rangle = \hat{a}_4^+ \hat{a}_3^+ |0\rangle, \quad \hat{a}_i^+ \equiv \hat{a}_{\mathbf{p}_i}^+.$$

Так как оператор поля нейтральных частиц  $\hat{\Phi}$  коммутирует с операторами полей заряженных частиц  $\hat{\varphi}$  и  $\hat{\varphi}^+$ , то операция упорядочивания по времени  $\hat{T}$  может быть произведена отдельно над  $\hat{\Phi}(x)\hat{\Phi}(x')$  и остальными операторами:

$$S_{fi}^2 = (-ig)^2 \int d^4x d^4x' iD(x-x') f(x, x'),$$

где функция

$$f(x, x') = \frac{1}{2!} \langle 0 | \hat{a}_3 \hat{a}_4 \hat{T} [\hat{\varphi}^+(x) \hat{\varphi}(x) \hat{\varphi}^+(x') \hat{\varphi}(x')] \hat{a}_2^+ \hat{a}_1^+ |0\rangle$$

соответствует плоским волнам начальных и конечных заряженных частиц, а *пропагатор*

$$iD(x-x') = \langle 0 | \hat{T} [\hat{\Phi}(x) \hat{\Phi}(x')] |0\rangle$$

соответствует распространению нейтральной частицы от точки  $x'$  до точки  $x$ .

Рассмотрим сначала функцию  $f(x, x')$ . Будем считать все 4-импульсы  $p_{1,2,3,4}$  различными, тогда операторы  $\hat{a}_{3,4}$  коммутируют с  $\hat{a}_{1,2}^+$ . Поэтому операторы  $\hat{a}_{1,2}^+$  могут образовать “свертку” (и дать ненулевой вклад) лишь с  $\hat{\varphi}(x)$  и  $\hat{\varphi}(x')$ . Аналогично,  $\hat{a}_{3,4}$  могут образовать “свертку” (и дать ненулевой вклад) лишь с  $\hat{\varphi}^+(x)$  и  $\hat{\varphi}^+(x')$ . В итоге, оператор  $\hat{T}$  не работает, и его можно опустить.

Начнём перемещать  $\hat{a}_2^+$  налево, он даст ненулевой вклад в результате свёртки с  $\hat{\varphi}(x')$  или с  $\hat{\varphi}(x)$ . Учтем первую возможность. После этого  $\hat{a}_1^+$  может дать ненулевую свертку лишь с  $\hat{\varphi}(x)$ . В свою очередь  $\hat{a}_3$  “сворачивается” с  $\hat{\varphi}^+(x)$  (при этом  $\hat{a}_4$  даёт свертку с  $\hat{\varphi}^+(x')$ ) или с  $\hat{\varphi}^+(x')$  (при этом  $\hat{a}_4$  даёт свертку с  $\hat{\varphi}^+(x)$ ):

$$= \left( \prod_{n=1}^4 \frac{1}{\sqrt{2\varepsilon_n \mathcal{V}}} \right) \left\{ e^{-i(p_1-p_3)x} e^{-i(p_2-p_4)x'} + e^{-i(p_1-p_4)x} e^{-i(p_2-p_3)x'} \right\}.$$

Введем новые переменные интегрирования:

$$X = \frac{x + x'}{2}, \quad z = x - x', \quad d^4x d^4x' = d^4X d^4z,$$

тогда

$$\{ \dots \} = e^{-i(p_1 + p_2 - p_3 - p_4)X} \left[ e^{-i(p_1 - p_3 - p_2 + p_4)z/2} + e^{-i(p_1 - p_4 - p_2 + p_3)z/2} \right].$$

После интегрирования по  $X$  появится  $\delta(p_1 + p_2 - p_3 - p_4)$ . С учетом этого,

$$[ \dots ] = e^{i(p_2 - p_4)z} + e^{i(p_2 - p_3)z}$$

Обозначим через  $D(k)$  фурье-образ функции  $D(z)$ :

$$\int D(z) e^{ikz} d^4z = D(k), \quad D(z) = \int D(k) e^{-ikz} \frac{d^4k}{(2\pi)^4},$$

тогда амплитуда рассеяния процесса окажется выраженной через сумму двух пропагаторов в импульсном представлении (см. рис. 15–16)

$$iM_{fi}^{(2)} = (-ig)^2 [iD(p_2 - p_4) + iD(p_2 - p_3)].$$

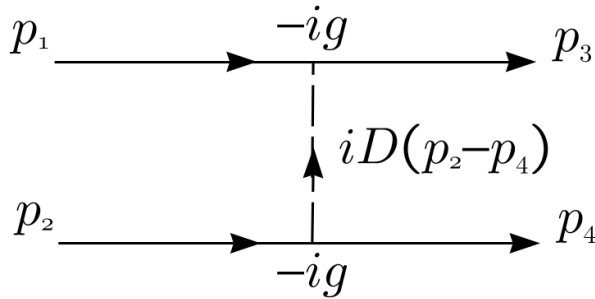


Рис. 15. Рассеяние  $\pi^- \pi^- \rightarrow \pi^- \pi^-$ :  
 $t$ -обмен  $\pi^0$

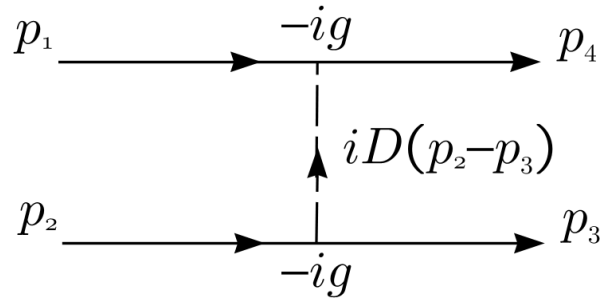


Рис. 16. Рассеяние  $\pi^- \pi^- \rightarrow \pi^- \pi^-$ :  
 $u$ -обмен  $\pi^0$

В первой диаграмме аргумент пропагатора равен 4-импульсу промежуточной нейтральной частицы  $k = p_2 - p_4 = p_3 - p_1$ , так что  $k^2 = t < 0$ . Эта диаграмма соответствует обмену  $\pi^0$  в  $t$ -канале; аналогично, вторая диаграмма соответствует обмену  $\pi^0$  в  $u$ -канале. В отличие от начальных и конечных частиц, для 4-импульсов которых справедливо равенство  $p_i^2 = m_{\pi^-}^2$ ,  $i = 1 \div 4$ , для промежуточных частиц  $k^2 \neq m_{\pi^0}^2$ , а потому  $\varepsilon_{\mathbf{k}} = \sqrt{\mathbf{k}^2 + m_{\pi^0}^2} \neq k_0$ . Такие частицы называются *виртуальными*, а величина  $k^2 - m_{\pi^0}^2$  называется *виртуальностью* данной промежуточной частицы. Виртуальность  $k^2 - m_{\pi^0}^2$  характеризует отклонение частицы от массовой поверхности  $k^2 = m_{\pi^0}^2$ . Виртуальная частица живет время

$$\tau \sim \frac{1}{\sqrt{|k^2 - m_{\pi^0}^2|}}$$

и пролетает расстояние

$$r \sim \frac{1}{\sqrt{|k^2 - m_{\pi^0}^2|}}.$$

Чем больше виртуальность, тем меньшие расстояния сможет “прощупать” такая частица — см. глубоконеупругое рассеяние электрона на протоне (ср. опыты Резерфорда по исследованию структуры атома).

Аналогично можно рассмотреть процесс

$$\pi^- \pi^+ \rightarrow \pi^- \pi^+,$$

для которого амплитуда рассеяния равна (см. рис. 17–18)

$$iM_{fi}^{(2)} = (-ig)^2 [iD(p'_- - p_-) + iD(p_- + p_+)].$$

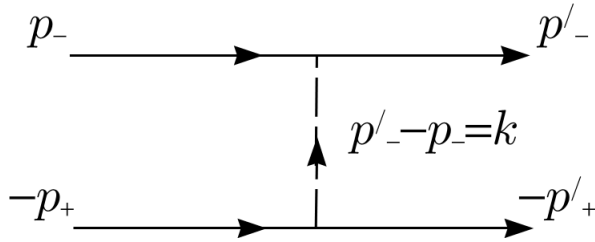


Рис. 17. Рассеяние  $\pi^- \pi^+ \rightarrow \pi^- \pi^+$ :  
 $k^2 < 0$ ,  $t$ -обмен  $\pi^0$

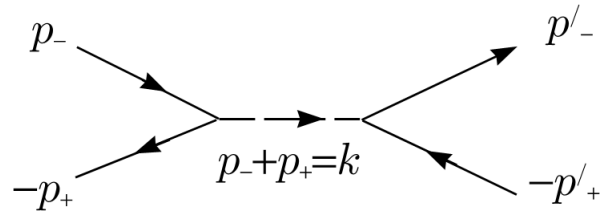


Рис. 18. Рассеяние  $\pi^- \pi^+ \rightarrow \pi^- \pi^+$ :  
 $k^2 > 0$ ,  $s$ -обмен  $\pi^0$

### 13.3. Пропагатор скалярной частицы

Используя свойства оператора  $\hat{T}$

$$\hat{T} [\hat{\Phi}(x) \hat{\Phi}(x')] = \begin{cases} \hat{\Phi}(x) \hat{\Phi}(x') & \text{при } t > t' \\ \hat{\Phi}(x') \hat{\Phi}(x) & \text{при } t' > t \end{cases},$$

представим пропагатор в виде

$$iD(x - x') = \sum_{\mathbf{k}, \mathbf{k}'} \frac{1}{\sqrt{2\varepsilon_{\mathbf{k}}} \sqrt{2\varepsilon_{\mathbf{k}'}}} \mathcal{V} \left[ \theta(t - t') \langle 0 | \hat{c}_{\mathbf{k}} \hat{c}_{\mathbf{k}'}^+ | 0 \rangle e^{-ikx + ik'x'} + \theta(t' - t) \langle 0 | \hat{c}_{\mathbf{k}'} \hat{c}_{\mathbf{k}}^+ | 0 \rangle e^{-ik'x' + ikx} \right].$$

Здесь первое слагаемое в квадратных скобках соответствует процессу рождения промежуточного  $\pi^0$  в точке  $x'$  и поглощению его в точке  $x$ , а второе слагаемое — рождению  $\pi^0$  в точке  $x$  и поглощению его в точке  $x'$ .

Т. к.

$$\langle 0 | \hat{c}_{\mathbf{k}} \hat{c}_{\mathbf{k}'}^+ | 0 \rangle = \delta_{\mathbf{k}, \mathbf{k}'},$$

то

$$iD(x) = \frac{1}{\mathcal{V}} \sum_{\mathbf{k}} \frac{1}{2\varepsilon_{\mathbf{k}}} [\theta(t) e^{-i\varepsilon_{\mathbf{k}} t + i\mathbf{k}\mathbf{r}} + \theta(-t) e^{+i\varepsilon_{\mathbf{k}} t - i\mathbf{k}\mathbf{r}}].$$

Теперь во втором слагаемом сделаем замену  $\mathbf{k} \rightarrow -\mathbf{k}$ , перейдём от суммы по  $\mathbf{k}$  к интегралу

$$\frac{1}{V} \sum_{\mathbf{k}} \rightarrow \int \frac{d^3 k}{(2\pi)^3},$$

и окончательно получим

$$iD(x) = \int \frac{d^3 k}{2\varepsilon_{\mathbf{k}}(2\pi)^3} e^{-i\varepsilon_{\mathbf{k}}|t| + i\mathbf{k}\mathbf{r}},$$

где  $|t|$  из-за  $\theta(\pm t)$ .

Покажем, что

$$\frac{e^{-i\varepsilon_{\mathbf{k}}|t|}}{2\varepsilon_{\mathbf{k}}} = J, \quad J = i \int_{-\infty}^{\infty} \frac{dk_0}{2\pi} \frac{e^{-ik_0 t}}{k_0^2 - \varepsilon_{\mathbf{k}}^2 + i0}.$$

Интеграл  $J$  легко берётся по вычетах, полюса подынтегрального выражения расположены в точках (см. рис. 19)

$$k_0 = \pm \sqrt{\varepsilon_{\mathbf{k}}^2 - i0} = \pm \varepsilon_{\mathbf{k}} \mp i0.$$

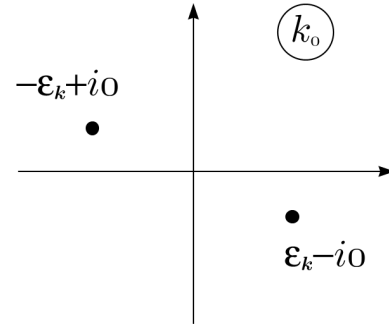


Рис. 19. Комплексная плоскость  $k_0$

Если  $t > 0$ , контур замыкаем в нижней полуплоскости:

$$J = i(-2\pi i) \frac{1}{2\pi} \frac{e^{-i\varepsilon_{\mathbf{k}} t}}{2\varepsilon_{\mathbf{k}}} = \frac{e^{-i\varepsilon_{\mathbf{k}} t}}{2\varepsilon_{\mathbf{k}}},$$

ч. т. д. Аналогично, при  $t < 0$  — контур замкнём в верхней полуплоскости:

$$J = i(+2\pi i) \frac{1}{2\pi} \frac{e^{i\varepsilon_{\mathbf{k}} t}}{(-2\varepsilon_{\mathbf{k}})} = \frac{e^{-i\varepsilon_{\mathbf{k}}|t|}}{2\varepsilon_{\mathbf{k}}},$$

ч. т. д.

Итого:

$$D(x) = \int \frac{d^4 k}{(2\pi)^4} \frac{e^{-ikx}}{k^2 - m^2 + i0}, \quad kx = k_0 t - \mathbf{k}\mathbf{r}, \quad k_0 \neq \varepsilon_{\mathbf{k}} = \sqrt{\mathbf{k}^2 + m^2}, \quad m \equiv m_{\pi^0},$$

и потому в импульсном представлении

$$D(k) = \frac{1}{k^2 - m^2 + i0}.$$

Так как

$$(\hat{p}_\mu \hat{p}^\mu - m^2) D(x) = \int \frac{d^4 k}{(2\pi)^4} (k^2 - m^2) \frac{e^{-ikx}}{k^2 - m^2 + i0} = \delta(x),$$

то  $D(x)$  является функцией Грина уравнения КФГ. Явный вид  $D(x)$  дан в книге Боголюбова и Ширкова “Введение в теорию квантованных полей” (Приложение 2) :

$$D(x) = -\frac{\delta(\lambda)}{4\pi} + \frac{m}{8\pi\sqrt{\lambda}} \theta(\lambda) \left[ J_1(\sqrt{m^2\lambda}) - iN_1(\sqrt{m^2\lambda}) \right] - \frac{im}{4\pi^2\sqrt{-\lambda}} \theta(-\lambda) K_1(\sqrt{-m^2\lambda}),$$

где  $\lambda = x^2 = t^2 - \mathbf{r}^2$ , а  $J_1(z)$ ,  $N_1(z)$  и  $K_1(z)$  — функция Бесселя, функция Неймана и функция Ханкеля от мнимого аргумента. В окрестности светового конуса (при  $|\lambda| \ll 1/m^2$ ):

$$D(x) = -\frac{\delta(\lambda)}{4\pi} + \frac{i}{4\pi^2\lambda} - \frac{im^2}{8\pi^2} \ln \frac{\sqrt{m^2|\lambda|}}{2} + \frac{m^2}{16\pi}\theta(\lambda).$$

Видно, что на световом конусе эта функция обладает целым букетом сингулярностей. Это означает, в частности, что в высших порядках теории возмущений, где будут встречаться произведение таких функций, придется специально доопределять эти плохо определённые выражения (проблема бесконечностей). При  $|\lambda| \gg 1/m^2$  пропагатор быстро убывает, особенно в пространственно-подобной области:

$$D(x) = \begin{cases} \frac{1}{|\lambda|^{3/4}} e^{-\sqrt{m^2|\lambda|}}, & \text{при } \lambda < 0 \\ \frac{1}{\lambda^{3/4}}, & \text{при } \lambda > 0 \end{cases}$$

### 13.4. Процесс $\pi^0\pi^- \rightarrow \pi^0\pi^-$ и $\pi^+\pi^- \rightarrow \pi^0\pi^0$

Рассмотрим процесс (рис. 20)

$$\pi^0\pi^- \rightarrow \pi^0\pi^-,$$

для которого начальное и конечное состояние таковы:

$$|i\rangle = \hat{a}_1^+ \hat{c}_1^+ |0\rangle, \quad |f\rangle = \hat{a}_2^+ \hat{c}_2^+ |0\rangle. \quad \text{Рис. 20. Процесс } \pi^0\pi^- \rightarrow \pi^0\pi^- \quad (13.1)$$

Матричный элемент этого процесса равен:

$$S_{fi}^{(2)} = \frac{(-ig)^2}{2!} \int d^4x d^4x' \langle 0 | \hat{c}_2 \hat{T} [\hat{\Phi}(x) \hat{\Phi}(x')] \hat{c}_1^+ |0\rangle \cdot \langle 0 | \hat{a}_2 \hat{T} [\hat{\phi}^+(x) \hat{\phi}(x) \hat{\phi}^+(x') \hat{\phi}(x')] \hat{a}_1^+ |0\rangle. \quad (13.2)$$

В импульсном представлении в  $iM_{fi}^{(2)}$  дают вклад диаграммы, приведенные на рис. 21–22:

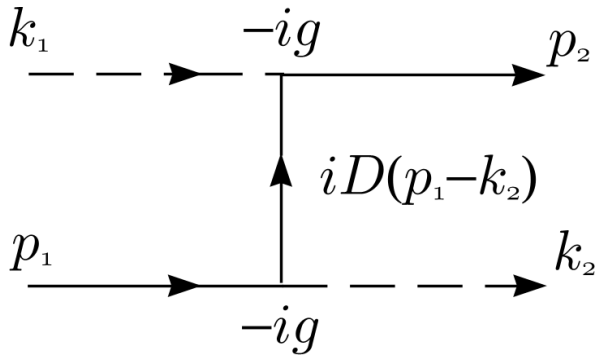


Рис. 21. Диаграмма с  $\pi^-$  обменом в  $u$ -канале

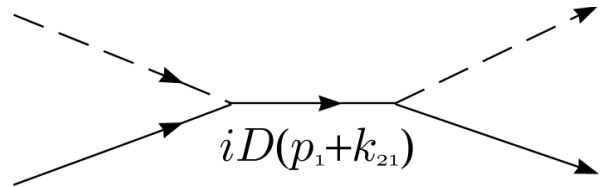


Рис. 22. Диаграмма с  $\pi^-$  обменом в  $s$ -канале

Здесь  $D(p)$  — фурье-образ пропагатора скалярной заряженной частицы  $D(x)$ :

$$iD(x-x') = \langle 0 | \hat{T} [\hat{\varphi}(x) \hat{\varphi}^+(x')] | 0 \rangle = \sum_{\mathbf{p}, \mathbf{p}'} \frac{1}{\sqrt{2\varepsilon_{\mathbf{p}}} \mathcal{V} \sqrt{2\varepsilon_{\mathbf{p}'}}} \cdot \\ \left[ \theta(t-t') \langle 0 | \hat{a}_{\mathbf{p}} \hat{a}_{\mathbf{p}'}^+ | 0 \rangle e^{-ipx + ip'x'} + \theta(t'-t) \langle 0 | \hat{b}_{\mathbf{p}'} \hat{b}_{\mathbf{p}}^+ | 0 \rangle e^{-ip'x' + ipx} \right].$$

Первое слагаемое в квадратных скобках соответствует частице, которая родилась в точке  $x'$  и исчезла в точке  $x$ , второе слагаемое соответствует античастице, движущейся в обратном направлении. Расчёт  $D(x)$  для заряженной скалярной частицы не отличается от расчёта для нейтральной скалярной частицы:

$$D(x) = \int \frac{d^4 p}{(2\pi)^4} \frac{e^{-ipx}}{p^2 - \mu^2 + i0}, \quad \mu \equiv m_{\pi^-}.$$

Итог:

$$M_{fi}^{(2)} = -g^2 \left[ \frac{1}{(p_1 - k_2)^2 - \mu^2 + i0} + \frac{1}{(p_1 + k_1)^2 - \mu^2 + i0} \right]$$

Аналогично, процесс  $\pi^- \pi^+ \rightarrow \pi^0 \pi^0$  определяется диаграммами, приведенными на рис. 23–24:

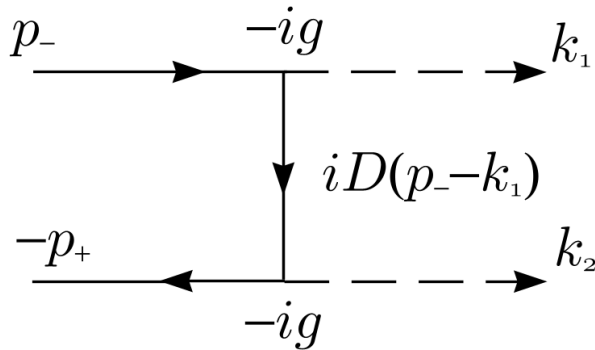


Рис. 23. Диаграмма с  $\pi^-$  обменом в  $t$ -канале

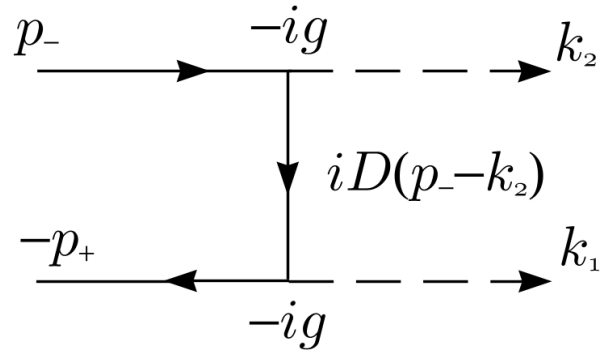


Рис. 24. Диаграмма с  $\pi^-$  обменом в  $u$ -канале

$$M_{fi}^{(2)} = -g^2 \left[ \frac{1}{(p_- - k_1)^2 - \mu^2} + \frac{1}{(p_- + k_2)^2 - \mu^2} \right]$$

## § 14. Второй порядок теории возмущений в КЭД. Фотонный пропагатор

В операторе  $\hat{S}^{(2)}$  упорядочение по времени можно производить отдельно для фотонных и электрон-позитронных операторов, т. е.

$$\hat{S}^{(2)} = \frac{(-ie)^2}{2!} \int d^4 x d^4 x' \hat{T} \left[ \hat{\Psi}(x) \gamma_\mu \Psi(x) \bar{\Psi}(x') \gamma_\nu \Psi(x') \right] \hat{T} \left[ \hat{A}^\mu(x) \hat{A}^\nu(x') \right].$$

## 14.1 Рассеяние электронов

При расчёте сечения процесса  $e^-e^- \rightarrow e^-e^-$  действуем по привычной схеме:

$$|i\rangle = \hat{a}_2^+ \hat{a}_1^+ |0\rangle, \quad |f\rangle = \hat{a}_4^+ \hat{a}_3^+ |0\rangle, \quad \hat{a}_i^+ \equiv \hat{a}_{\mathbf{p}_i \sigma_i}^+,$$

$$S_{fi}^{(2)} = (-ie)^2 \int d^4x d^4x' iD^{\mu\nu}(x-x') f_{\mu\nu}(x, x'),$$

где

$$f_{\mu\nu}(x, x') = \frac{1}{2!} \langle 0 | \hat{a}_3 \hat{a}_4 \hat{T} \left[ \hat{\Psi}(x) \gamma_\mu \Psi(x) \bar{\Psi}(x') \gamma_\nu \Psi(x') \right] \hat{a}_2^+ \hat{a}_1^+ |0\rangle,$$

а

$$iD^{\mu\nu}(x-x') = \langle 0 | \hat{T} \left[ \hat{A}^\mu(x) \hat{A}^\nu(x') \right] |0\rangle$$

— пропагатор фотона

При расчёте  $f_{\mu\nu}$  будем действовать, как и в скалярном случае, учитывая дополнительно антикоммутируемость фермионных операторов и спинорную структуру полей:

$$\hat{\Psi}(x) = \sum_{\mathbf{p}\sigma} \left( \hat{a}_{\mathbf{p}\sigma} u_{\mathbf{p}\sigma} \frac{e^{-ipx}}{\sqrt{2\varepsilon_{\mathbf{p}}\mathcal{V}}} + \dots \right), \quad \hat{\bar{\Psi}}(x) = \sum_{\mathbf{p}\sigma} \left( \hat{a}_{\mathbf{p}\sigma}^+ \bar{u}_{\mathbf{p}\sigma} \frac{e^{+ipx}}{\sqrt{2\varepsilon_{\mathbf{p}}\mathcal{V}}} + \dots \right).$$

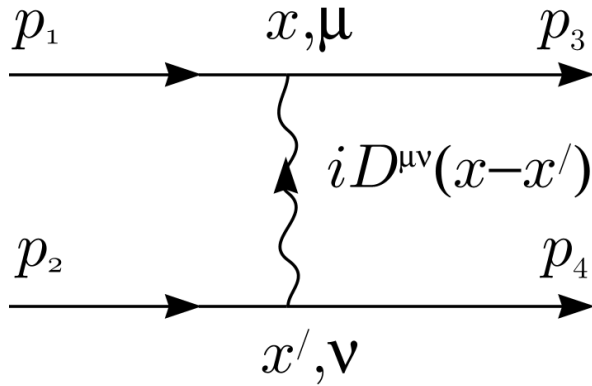


Рис. 25. Вариант свёрток в  $f_{\mu\nu}$

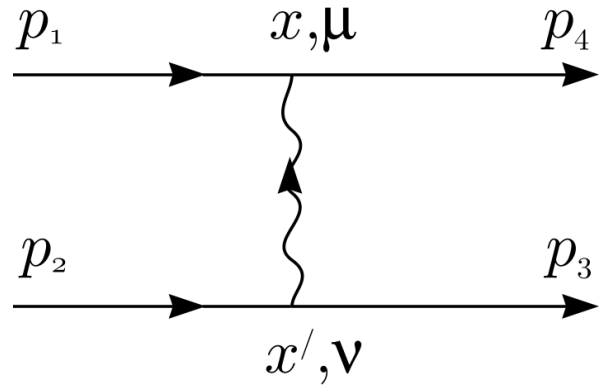


Рис. 26. Другой вариант свёрток в  $f_{\mu\nu}$

$$f_{\mu\nu}(x, x') = \frac{1}{2!} [\text{рис. 25} - \text{рис. 26} + (x \leftrightarrow x')] =$$

$$= (\bar{u}_3 \gamma_\mu u_1) (\bar{u}_4 \gamma_\nu u_2) e^{-i(p_1-p_3)x - i(p_2-p_4)x'} - (\bar{u}_4 \gamma_\mu u_1) (\bar{u}_3 \gamma_\nu u_2) e^{-i(p_1-p_4)x - i(p_2-p_3)x'}.$$

Дальнейшее интегрирование по  $x$  и  $x'$  стандартно, итог (см. рис. 27–28):

$$iM_{fi}^{(2)} = (-ie)^2 [(\bar{u}_3 \gamma_\mu u_1) iD^{\mu\nu}(p_3 - p_1) (\bar{u}_4 \gamma_\nu u_2) - (\bar{u}_4 \gamma_\nu u_1) iD^{\mu\nu}(p_4 - p_1) (\bar{u}_3 \gamma_\mu u_2)].$$

Дополнительно: найти  $M_{fi}^{(2)}$  для процесса  $e^-e^+ \rightarrow e^-e^+$  рассеяния, который описывается двумя диаграммами — диаграммой рассеяния (фотон в  $t$ -канале) и диаграммой аннигиляции (фотон в  $s$ -канале).

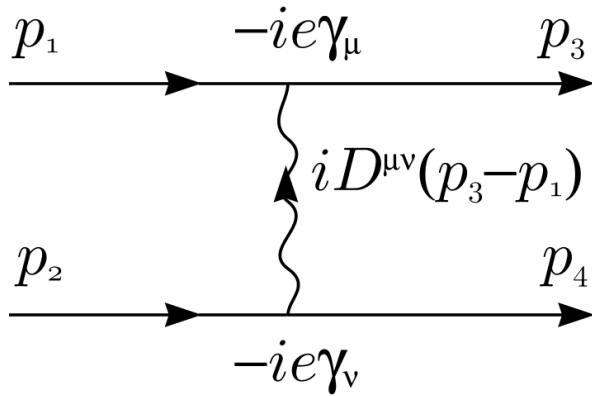


Рис. 27. Диаграмма с  $\gamma$  обменом  
в  $t$ -канале

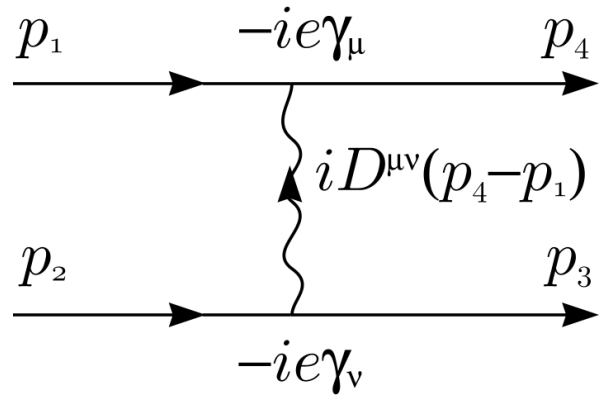


Рис. 28. Диаграмма с  $\gamma$  обменом  
в  $u$ -канале

## 14.2. Фотонный пропагатор

Фотонный пропагатор уже определён выше:

$$iD^{\mu\nu}(x - x') = \langle 0 | \hat{T} [\hat{A}^\mu(x) \hat{A}^\nu(x')] | 0 \rangle .$$

Общий вид симметричного тензора второго ранга, зависящего от 4-вектора  $x$ , таков:

$$D^{\mu\nu}(x) = g^{\mu\nu} D(x^2) - \partial^\mu \partial^\nu D^{(l)}(x^2) ,$$

или в  $k$ -пространстве:

$$D^{\mu\nu}(k) = g^{\mu\nu} D(k^2) + k^\mu k^\nu D^{(l)}(k^2) ,$$

причем, в силу градиентной инвариантности, от  $D^{(l)}(k^2)$  физические результаты не должны зависеть. Поэтому достаточно найти  $D(k^2)$  в любой калибровке. Мы будем для расчета использовать кулоновскую калибровку, в которой  $\hat{A}_0 = 0$  и

$$\hat{\mathbf{A}}(x) = \sum_{\mathbf{k}\lambda} \frac{\sqrt{4\pi}}{\sqrt{2\omega_{\mathbf{k}}\mathcal{V}}} (\hat{c}_{\mathbf{k}\lambda} \mathbf{e}_{\mathbf{k}\lambda} e^{-ikx} + \hat{c}_{\mathbf{k}\lambda}^+ \mathbf{e}_{\mathbf{k}\lambda}^* e^{ikx}) , \quad kx = \omega_{\mathbf{k}}t - \mathbf{k}\mathbf{r} .$$

Отличие от скалярного случая: общий множитель  $\sqrt{4\pi}$ ,  $m = 0$ ,  $\omega_{\mathbf{k}} = |\mathbf{k}|$  и наличие вектора поляризации  $\mathbf{e}_{\mathbf{k}\lambda}$ . Т. к.

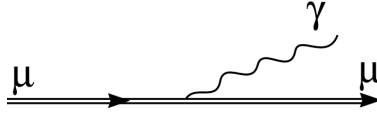
$$\langle 0 | \hat{c}_{\mathbf{k}\lambda} \hat{c}_{\mathbf{k}'\lambda'}^+ | 0 \rangle = \delta_{\mathbf{k}\mathbf{k}'} \delta_{\lambda\lambda'} ,$$

то, повторяя вычисления § 13.3, получим

$$D^{mn}(x) = \int \frac{d^4k}{(2\pi)^4} \frac{e^{-ikx}}{k^2 + i0} 4\pi \sum_{\lambda} (\mathbf{e}_{\mathbf{k}\lambda})^m (\mathbf{e}_{\mathbf{k}\lambda}^*)^n ,$$

где  $m, n = 1, 2, 3$ . Условие полноты векторов  $\mathbf{e}_{\mathbf{k}\lambda}$  гласит

$$\sum_{\lambda} (\mathbf{e}_{\mathbf{k}\lambda})^m (\mathbf{e}_{\mathbf{k}\lambda}^*)^n = \delta^{mn} - \frac{k^n k^m}{\mathbf{k}^2} , \quad \delta^{mn} = -g^{mn} .$$

Рис. 29. Вершина  $e \rightarrow e\gamma$ Рис. 30. Вершина  $\mu \rightarrow \mu\gamma$ Рис. 31. Вершина  $e \rightarrow \mu\gamma$ 

Таким образом, в нашей калибровке

$$D^{mn}(k) = g^{mn} D(k^2) + k^m k^n D^{(l)}(k^2) = \frac{4\pi}{k^2 + i0} \left( \delta^{mn} - \frac{k^n k^m}{\mathbf{k}^2} \right),$$

отсюда

$$D(k^2) = \frac{-4\pi}{k^2 + i0},$$

$$D^{\mu\nu}(k) = \frac{-4\pi}{k^2 + i0} g^{\mu\nu} + k^\mu k^\nu D^{(l)}(k^2).$$

Часто выбирают  $D^{(l)}(k^2) = 0$  (калибровка Фейнмана), тогда

$$D^{\mu\nu}(k) = \frac{-4\pi}{k^2 + i0} g^{\mu\nu}.$$

### 14.3. Диаграммы Фейнмана и закон Кулона

Рассмотрим рассеяние нерелятивистского электрона на мюоне

$$e^- \mu^\pm \rightarrow e^- \mu^\pm.$$

Мюон может рассматриваться, как точечный источник кулоновского поля

$$U(\mathbf{r}) = \pm \frac{e^2}{r},$$

фурье-образ которого

$$U_{\mathbf{q}} = \int U(\mathbf{r}) e^{-i\mathbf{q}\mathbf{r}} d^3r = \pm \frac{4\pi e^2}{\mathbf{q}^2}.$$

В квантовой механике дифференциальное сечение рассеяния

$$\frac{d\sigma}{d\Omega} = |f|^2, \quad f = -\frac{m_e}{2\pi} U_{\mathbf{q}} = -\frac{m_e}{2\pi} \left( \pm \frac{4\pi e^2}{\mathbf{q}^2} \right),$$

где  $\mathbf{q} = \mathbf{p}' - \mathbf{p}$  и  $\varepsilon' = \varepsilon$ .

В КЭД взаимодействие электромагнитного поля с  $e^\pm$  и  $\mu^\pm$  описывается оператором

$$\hat{V}(x) = e\hat{A}^\alpha(x) \left[ \hat{\Psi}_e(x)\gamma_\alpha\hat{\Psi}_e(x) + \hat{\Psi}_\mu(x)\gamma_\alpha\hat{\Psi}_\mu(x) \right],$$

Таким образом в КЭД имеются элементарные вершины только двух типов рис. 29 и рис. 30, но нет вершин рис. 31.

Процесс  $e^- \mu^- \rightarrow e^- \mu^-$  описывается одной диаграммой (рис. 32):

$$iM_{fi} = (-ie)^2 (\bar{u}_3 \gamma_\alpha u_1) iD^{\alpha\beta}(q) (\bar{u}_4 \gamma_\beta u_2).$$

В системе покоя начального  $\mu^-$  (эта система для нерелятивистского  $e^-$  совпадает с СЦИ, т. к.  $m_\mu \approx 200 m_e$ )

$$q = p_3 - p_1 = (0, \mathbf{q}), \quad q^2 = -\mathbf{q}^2,$$

все биспиноры  $u_j$  имеют только верхние компоненты, потому что  $(\bar{u}_3 \gamma_\alpha u_1) \neq 0$  только при  $\alpha = 0$ ,  $(\bar{u}_4 \gamma_\beta u_2) \neq 0$  только при  $\beta = 0$  и

$$D^{00} = \frac{-4\pi}{q^2} = +\frac{4\pi}{\mathbf{q}^2}.$$

В итоге:

$$M_{fi} = -\frac{4\pi e^2}{\mathbf{q}^2} (u_3^+ u_1) (u_4^+ u_2) = -\frac{4\pi e^2}{\mathbf{q}^2} 2m_e \delta_{\sigma_1 \sigma_3} 2m_\mu \delta_{\sigma_2 \sigma_4}.$$

Учтя, что

$$\frac{d\sigma}{d\Omega} = |f|^2 = \left| \frac{M_{fi}}{8\pi(m_\mu + m_e)} \right|^2 \quad \text{или} \quad f = \frac{M_{fi}}{8\pi m_\mu},$$

получим согласие с результатом из квантовой механики.

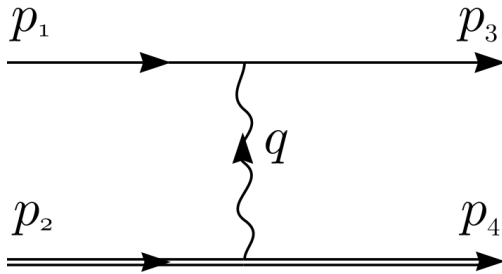


Рис. 32. Процесс  $e^- \mu^- \rightarrow e^- \mu^-$

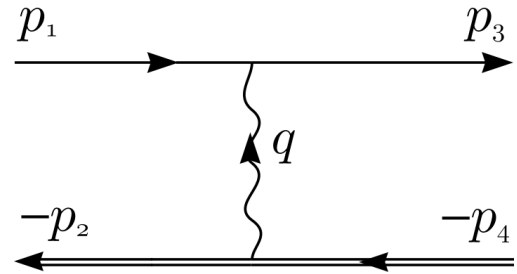


Рис. 33. Процесс  $e^- \mu^+ \rightarrow e^- \mu^+$

Для процесса  $e^- \mu^+ \rightarrow e^- \mu^+$  амплитуда рассеяния (см. рис. 33)

$$iM_{fi} = (-1)(-ie)^2 (\bar{u}_3 \gamma_\alpha u_1) iD^{\alpha\beta}(q) (\bar{v}_2 \gamma_\beta v_4),$$

где дополнительный множитель  $(-1)$  связан с антикоммутируемостью фермионных операторов и другим набором свёрток для  $\mu^+$ , чем для  $\mu^-$ . В итоге

$$M_{fi} = +\frac{4\pi e^2}{\mathbf{q}^2} 2m_e \delta_{\sigma_1 \sigma_3} 2m_\mu \delta_{\sigma_2 \sigma_4}.$$

Таким образом, закон Кулона, соответствующий силам отталкивания для  $e^- \mu^-$  и силам притяжения для  $e^- \mu^+$ , связан с обменом векторной частицей — фотоном — между заряженными фермионами.

Покажите, что для взаимодействия

$$\hat{V}(x) = g \hat{\Phi}(x) \left[ \hat{\Psi}_e(x) \hat{\Psi}_e(x) + \hat{\Psi}_\mu(x) \hat{\Psi}_\mu(x) \right]$$

амплитуда  $e^- \mu^\pm \rightarrow e^- \mu^\pm$  рассеяния определяется обменом нейтральной скалярной частицей и равна

$$M_{fi} = \frac{g^2}{\mathbf{q}^2 + m^2} 2m_e \delta_{\sigma_1 \sigma_3} 2m_\mu \delta_{\sigma_2 \sigma_4},$$

что соответствует потенциальной энергии вида

$$U_q = -\frac{g^2}{\mathbf{q}^2 + m^2}, \quad U(r) = -\frac{g^2/4\pi}{r} e^{-rm},$$

т. е. юкавскому потенциалу притяжения как для  $e^- \mu^-$ , так и для  $e^- \mu^+$  взаимодействия.

#### 14.4. Процесс аннигиляции $e^+ e^- \rightarrow \mu^+ \mu^-$

Для этого процесса закон сохранения 4-импульса имеет вид

$$p_1 + p_2 = p_3 + p_4,$$

а переменные Манделштама таковы

$$s = (p_1 + p_2)^2, \quad t = (p_1 - p_3)^2, \quad u = (p_1 - p_4)^2,$$

при этом

$$s + t + u = 2m^2 + 2\mu^2, \quad p_1^2 = p_2^2 = m^2, \quad p_3^2 = p_4^2 = \mu^2,$$

а также

$$p_1 p_3 = p_2 p_4, \quad p_1 p_4 = p_2 p_3.$$

Амплитуда рассеяния

$$M_{fi} = (-ie)^2 (\bar{v}_1 \gamma_\alpha u_2) \frac{-4\pi g^{\alpha\beta}}{s} (\bar{u}_4 \gamma_\beta v_3) = \frac{4\pi\alpha}{s} F,$$

где

$$F = (\bar{v}_1 \gamma_\alpha u_2) (\bar{u}_4 \gamma^\alpha v_3).$$

Искомое сечение для неполяризованных частиц содержит

$$\begin{aligned} \frac{1}{2} \frac{1}{2} \sum_{\sigma_{1,2,3,4}} |F|^2 &= \frac{1}{2} \text{Sp} \{ (\not{p}_1 - m) \gamma^\alpha (\not{p}_2 + m) \gamma^\beta \} \frac{1}{2} \text{Sp} \{ (\not{p}_4 + \mu) \gamma_\alpha (\not{p}_3 - \mu) \gamma_\beta \} = \\ &= \left\{ 2p_1^\alpha p_2^\beta + 2p_2^\alpha p_1^\beta - sg^{\alpha\beta} \right\} \left\{ 2p_{3\alpha} p_{4\beta} + 2p_{4\alpha} p_{3\beta} - sg_{\alpha\beta} \right\} = \\ &= 8(p_1 p_3)^2 + 8(p_1 p_4)^2 + 4s(\mu^2 + m^2), \end{aligned}$$

где  $\not{p} \equiv p^\alpha \gamma_\alpha$ .

В с.ц.и.

$$p_1 p_3 = \varepsilon_1^2 (1 - v_e v_\mu \cos \theta), \quad p_1 p_4 = \varepsilon_1^2 (1 + v_e v_\mu \cos \theta),$$

где  $\theta$  — угол между  $\mathbf{p}_1$  и  $\mathbf{p}_3$  (угол вылета  $\mu^+$  по отношению к направлению движения  $e^+$ ), а скорости электрона и мюона равны

$$v_e = \sqrt{1 - \frac{4m^2}{s}}, \quad v_\mu = \sqrt{1 - \frac{4\mu^2}{s}}.$$

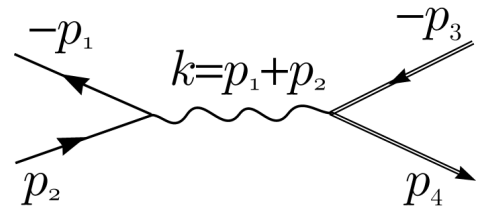


Рис. 34. Процесс  $e^+ e^- \rightarrow \mu^+ \mu^-$

В итоге получаем

$$|M_{fi}|^2 = (4\pi\alpha)^2 \left( 1 + \frac{4\mu^2 + 4m^2}{s} + v_e^2 v_\mu^2 \cos^2 \theta \right),$$

$$\frac{d\sigma}{d\Omega} = \frac{|M_{fi}|^2 |\mathbf{p}_3|}{64\pi^2 s |\mathbf{p}_1|} = \frac{\alpha^2}{4s} \left( 1 + \frac{4\mu^2 + 4m^2}{s} + v_e^2 v_\mu^2 \cos^2 \theta \right) \cdot \frac{v_\mu}{v_e}$$

Отсюда, считая  $m \ll \mu$ , находим полное сечение (см. рис. 5.1 и 5.2 в книге Пескина и Шрёдера “Введение в квантовую теорию поля”)

$$\sigma = \sigma_0 \cdot \left( 1 + \frac{2\mu^2}{s} \right) v_\mu, \quad \sigma_0 = \frac{4\pi\alpha^2}{3s} \approx \frac{87 \cdot 10^{-33} \text{см}^2}{s[\text{ГэВ}^2]}.$$

При  $s \gg 4\mu^2$  имеем (см. рис. 35)

$$\frac{d\sigma}{d\Omega} = \frac{\alpha^2}{4s} (1 + \cos^2 \theta), \quad \sigma = \sigma_0.$$

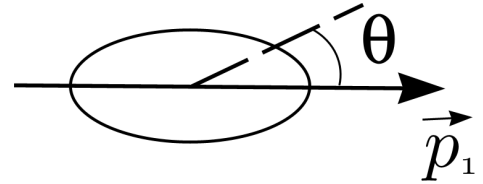


Рис. 35. Угловое распределение в реакции  $e^+e^- \rightarrow \mu^+\mu^-$

### 14.5. Процессы $e^+e^- \rightarrow \bar{q}q$ и $e^+e^- \rightarrow hadrons$ при высоких энергиях

Рассмотрим аннигиляцию электрона и позитрона в пару кварков с зарядом  $\pm Q_a |e|$ .

Сечение этого процесса  $e^+e^- \rightarrow \bar{q}_a q_a$  при высоких энергиях ( $s \gg 4m_a^2$ ) равно

$$\sigma_{e^+e^- \rightarrow \bar{q}_a q_a} = 3Q_a^2 \sigma_0,$$

где множитель 3 учитывает наличие трёх цветов у кварков.

Процесс  $e^+e^- \rightarrow hadrons$  при  $s \gg 4m_a^2$  в низшем порядке по  $\alpha$  может быть описан как рождение  $\bar{q}_a q_a$  пары на малых расстояниях  $\sim 1/\sqrt{s}$  и дальнейшая адронизация (с вероятностью 100%) кварков в адроны. Потому

$$\frac{\sigma_{e^+e^- \rightarrow h}}{\sigma_0} \equiv R = 3 \sum_a Q_a^2,$$

где в  $\sum_a$  учитываются те кварки, для которых  $2m_a \ll \sqrt{s}$ .

$$3 \sum_{uds} Q_a^2 = 3 \left( \frac{4}{9} + \frac{1}{9} + \frac{1}{9} \right) = 2, \quad 3 \sum_{udsc} Q_a^2 = 2 + 3 \cdot \frac{4}{9} = 2 + \frac{4}{3}, \quad 3 \sum_{udscb} Q_a^2 = 2 + \frac{4}{3} + \frac{1}{3}$$

(см. рис. 40.6 и 40.7 из Review of Particle Properties 2008).

Для двухструйных процессов

$$\frac{d\sigma}{d\Omega} \propto 1 + \cos^2 \theta,$$

где  $\theta$  — угол вылета струи относительно оси столкновения  $e^+e^-$  пучков.

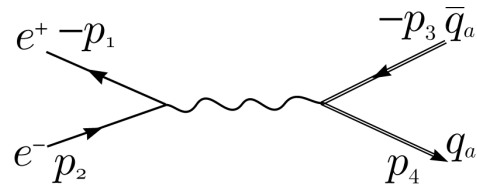


Рис. 36. Процесс  $e^+e^- \rightarrow \bar{q}q$

## 14.6. Процесс $e\mu \rightarrow e\mu$ и перекрёстная симметрия

Рассмотрим процесс упругого рассеяния электрона на мюоне, не считая на этот раз электрон нерелятивистским (см. обозначения на рис. 37, напомним, что  $p^2 = (p')^2 = m^2$  и  $P^2 = (P')^2 = \mu^2$ ).

Амплитуда рассеяния для этого процесса равна

$$M_{fi} = \frac{4\pi\alpha}{q^2} \bar{F},$$

где

$$\bar{F} = (\bar{u}_{\mathbf{p}'\sigma_2} \gamma^\alpha u_{\mathbf{p}\sigma_1}) (\bar{u}_{\mathbf{P}'\sigma_4} \gamma_\alpha u_{\mathbf{P}\sigma_3}).$$

Сравнивая

$$\frac{1}{2} \frac{1}{2} \sum_{\sigma_{1,2,3,4}} |\bar{F}|^2 = \frac{1}{2} \text{Sp} \{ (\not{p}' + m) \gamma^\alpha (\not{p} + m) \gamma^\beta \} \frac{1}{2} \text{Sp} \{ (\not{P}' + \mu) \gamma_\alpha (\not{P} + \mu) \gamma_\beta \}$$

с соответствующим выражением для реакции  $e^+e^- \rightarrow \mu^-\mu^+$  в § 14.4, найдём, что ответ можно найти в § 14.4, если сделать подстановки

$$p_1 = -p', \quad p_2 = p, \quad p_3 = -P, \quad p_4 = P', \quad u = (p + P)^2, \quad \text{Рис. 37. Процесс } e\mu \rightarrow e\mu$$

Таким образом, для искомого процесса

$$|M_{fi}|^2 = \left( \frac{4\pi\alpha}{q^2} \right)^2 \left[ 8(pP)^2 + 8(p'P')^2 + 4q^2(m^2 + \mu^2) \right]$$

и в с.ц.и. сечение

$$\frac{d\sigma}{d\Omega} = \frac{|M_{fi}|^2}{64\pi^2 (\varepsilon_e + \varepsilon_\mu)^2}.$$

Если энергия электрона  $\varepsilon \ll \mu$ , то этот процесс можно рассматривать, как рассеяние электрона (релятивистского или нерелятивистского) на внешнем кулоновском поле бесконечно тяжелого мюона, при этом  $\varepsilon = \varepsilon'$ ,  $q^2 = -\mathbf{q}^2 = -(\mathbf{p} - \mathbf{p}')^2 = -4\mathbf{p}^2 \sin^2 \frac{\theta}{2}$  и

$$\frac{d\sigma}{d\Omega} = \frac{\alpha^2}{4v^2 \mathbf{p}^2 \sin^4 \frac{\theta}{2}} \left( 1 - v^2 \sin^2 \frac{\theta}{2} \right),$$

где первый множитель отвечает резерфордскому сечению, а второй  $\left( 1 - v^2 \sin^2 \frac{\theta}{2} \right)$  учитывает наличие спина у электрона.

## § 15. Второй порядок теории возмущений в КЭД.

### Электронный пропагатор

#### 15.1. $\gamma e$ -рассеяние

Рассмотрим рассеяние фотона на электроне

$$\gamma(k_1) + e^-(p_1) \rightarrow \gamma(k_2) + e^-(p_2),$$

для которого переменные Манделъстама равны

$$s = (k_1 + p_1)^2, \quad t = (k_1 - k_2)^2, \quad u = (p_1 - k_2),$$

а начальное и конечное состояния таковы

$$|i\rangle = \hat{c}_1^+ \hat{a}_1^+ |0\rangle, \quad |f\rangle = \hat{c}_2^+ \hat{a}_2^+ |0\rangle, \quad \hat{c}_i \equiv \hat{c}_{\mathbf{k}_i \lambda_i}.$$

Сравним матричный элемент этого процесса

$$S_{fi}^{(2)} = \frac{(-ie)^2}{2!} \int d^4x d^4x' F^{\mu\nu}(x, x') f_{\mu\nu}(x, x'),$$

$$F^{\mu\nu}(x, x') = \langle 0 | \hat{c}_2 \hat{T} \left\{ \hat{A}^\mu(x) \hat{A}^\nu(x') \right\} \hat{c}_1^+ |0\rangle,$$

$$f_{\mu\nu}(x, x') = \langle 0 | \hat{a}_2 \hat{T} \left\{ \left( \hat{\psi}(x) \gamma_\mu \hat{\psi}(x) \right) \left( \hat{\psi}(x') \gamma_\nu \hat{\psi}(x') \right) \right\} \hat{a}_1^+ |0\rangle$$

с тем, что было для процесса  $\pi^0 \pi^-$  рассеяния в § 13.4:

$$S_{fi}^{(2)} = \frac{(-ig)^2}{2!} \int d^4x d^4x' F(x, x') f(x, x'),$$

$$F(x, x') = \langle 0 | \hat{c}_2 \hat{T} \left\{ \hat{\Phi}(x) \hat{\Phi}(x') \right\} \hat{c}_1^+ |0\rangle,$$

$$f(x, x') = \langle 0 | \hat{a}_2 \hat{T} \left\{ \hat{\varphi}^+(x) \hat{\varphi}(x) \hat{\varphi}^+(x') \hat{\varphi}(x') \right\} \hat{a}_1^+ |0\rangle,$$

$$M_{fi} = -g^2 [D(p_1 - k_2) + D(p_1 + k_1)].$$

В КЭД усложнения связаны со спинами частиц, в частности

$$F^{\mu\nu}(x, x') = \frac{4\pi}{\sqrt{2\omega_1} \mathcal{V} \sqrt{2\omega_2} \mathcal{V}} \left[ e_1^\mu e_2^{\nu*} e^{-ik_1 x + ik_2 x'} + e_1^\nu e_2^{\mu*} e^{-ik_1 x' + ik_2 x} \right], \quad e_i^\mu \equiv e_{\mathbf{k}_i \lambda_i}^\mu$$

что соответствует уже известным правилам для начального и конечного фотонов.

В функции  $f(x, x')$  помимо спариваний операторов  $\hat{a}_2$  и  $\hat{a}_1^+$  с функциями  $\hat{\varphi}^+(x')$  и  $\hat{\varphi}(x)$  оставался пропагатор

$$\langle 0 | \hat{T} \left\{ \hat{\varphi}(x) \hat{\varphi}^+(x') \right\} |0\rangle = iD(x - x').$$

Аналогично, в  $f_{\mu\nu}(x, x')$  помимо спариваний  $\hat{a}_2$  и  $\hat{a}_1^+$  с  $\hat{\psi}(x')$  и  $\hat{\psi}(x)$ , соответствующих начальному и конечному электронам, остаётся электронный пропагатор

$$\langle 0 | \hat{T} \left\{ \hat{\psi}_j(x) \hat{\psi}_k^+(x') \right\} |0\rangle = iG_{jk}(x - x'),$$

являющийся матрицей по спинорным индексам  $j, k$ .

Рис. 38. Диаграмма с  $e$  обменом  
в  $u$ -канале

Рис. 39. Диаграмма с  $e$  обменом  
в  $s$ -канале

В итоге для  $\gamma e$  рассеяния получаем (рис. 38–39)

$$M_{fi} = -4\pi e^2 [\bar{u}_2 \gamma_\mu e_1^\mu G(p_1 - k_2) \gamma_\nu e_2^{\nu*} u_1 + \bar{u}_2 \gamma_\nu e_2^{\nu*} G(p_1 + k_1) \gamma_\mu e_1^\mu u_1]. \quad (15.1)$$

## 15.2. Электронный пропагатор

Для скалярной частицы пропагатор  $D(x)$  является функцией Грина уравнения Клейна-Фока-Гордона:

$$(\hat{p}_\mu \hat{p}^\mu - \mu^2) D(x) = \delta(x)$$

или в импульсном представлении

$$(k^2 - \mu^2) D(k) = 1,$$

что приводит к пропагатору скалярной частицы

$$D(k) = \frac{1}{k^2 - \mu^2 + i0}.$$

Электронный пропагатор — матрица  $G_{jk}(x)$  — является функцией Грина уравнения Дирака:

$$(\hat{p}_\mu \gamma^\mu - mI)_{ij} G_{jk}(x) = \delta(x) \delta_{ik},$$

где  $I$  — единичная матрица. Отсюда

$$(\hat{p}_\mu \gamma^\mu - mI) \int G(p) e^{-ipx} \frac{d^4 p}{(2\pi)^4} = \int (p_\mu \gamma^\mu - mI) G(p) e^{-ipx} \frac{d^4 p}{(2\pi)^4} = \delta(x) I = \int I \cdot e^{-ipx} \frac{d^4 p}{(2\pi)^4},$$

т. е. в импульсном представлении

$$(p_\mu \gamma^\mu - mI) G(p) = I.$$

Домножим левую и правую часть этого уравнения слева на  $(p_\nu \gamma^\nu + mI)$  и учтём, что

$$p_\nu \gamma^\nu p_\mu \gamma^\mu = p^2 I,$$

тогда

$$(p_\nu \gamma^\nu + mI) (p_\mu \gamma^\mu - mI) G(p) = (p^2 - m^2) G(p) = p_\nu \gamma^\nu + mI.$$

В итоге получаем

$$G(p) = \frac{p_\mu \gamma^\mu + mI}{p^2 - m^2 + i0}$$

или в сокращённой форме

$$G(p) = \frac{\not{p} + m}{p^2 - m^2 + i0}, \quad (15.2)$$

где

$$\not{p} \equiv p_\mu \gamma^\mu.$$

## 15.3. Эффект Комптона

Собирая вместе формулы (1)–(2), получим

$$M_{fi}^{(2)} = -4\pi\alpha \left[ \frac{\bar{u}_2 \not{\epsilon}_1 (\not{p}_1 - \not{k}_2 + m) \not{\epsilon}_2^* u_1}{u - m^2} + \frac{\bar{u}_2 \not{\epsilon}_2^* (\not{p}_1 + \not{k}_1 + m) \not{\epsilon}_1 u_1}{s - m^2} \right].$$

Перепишав закон сохранения 4-импульса  $k_1 + p_1 = k_2 + p_2$  в виде  $k_1 + p_1 - k_2 = p_2$  и возводя в квадрат обе стороны этого соотношения, получим

$$(p_1 + k_1 - k_2)^2 = (p_2)^2 \Rightarrow m^2 + 2p_1k_1 - 2p_1k_2 - 2k_1k_2 = m^2$$

и далее

$$k_2(p_1 + k_1) = p_1k_1. \quad (21.3)$$

Если известны энергии и импульсы начальных частиц, то из этого уравнения можно найти энергию конечного фотона в зависимости от его угла вылета. Покажем это для двух различных начальных условий.

*Опыты А. Комптона (1923–1924).* В этих опытах рентгеновские лучи с частотой  $\omega_1$  и длиной волны  $\lambda_1 = 2\pi/\omega_1$  рассеивались на атомах. Регистрировались рассеянные рентгеновские лучи с уменьшенной частотой  $\omega_2$  и увеличенной длиной волны  $\lambda_2 = 2\pi/\omega_2$ , причём эти изменения были тем больше, чем больше был угол рассеяния  $\theta$ . Естественное объяснение этих опытов таково: рентгеновские лучи есть набор частиц — фотонов, которые испытывают рассеяние на атомарных электронах, причём последние в данных условиях могут рассматриваться как почти свободные (энергия связи электронов в атоме много меньше энергии налетающих фотонов). Иными словами, Комптон наблюдал реакцию  $\gamma e \rightarrow \gamma e$ , в которой

$$k_1 = \omega_1(1, 1, 0, 0), \quad k_2 = \omega_2(1, \cos \theta, \sin \theta, 0), \quad p_1 = (m_e, 0, 0, 0).$$

Подставляя эти значения в уравнение (3), получаем соотношение

$$\omega_2(m_e + \omega_1 - \omega_1 \cos \theta) = \omega_1 m_e,$$

из которого легко найти изменение длины волны рассеянных под углом  $\theta$  рентгеновских лучей:

$$\lambda_2 - \lambda_1 = \frac{4\pi}{m_e} \sin^2 \frac{\theta}{2},$$

где

$$\frac{1}{m_e} = 3,86 \cdot 10^{-11} \text{ см}$$

приведённая комптоновская длина волны электрона. Эта формула хорошо описывает экспериментальные данные. В опытах Комптона энергия фотона уменьшалась, длина волны увеличивалась, но  $\Delta\lambda/\lambda$  составляло несколько процентов. Отметим, что уменьшение энергии рассеянного фотона — естественное следствие того, что часть энергии начального фотона передаётся прежде покоившемуся электрону.

*Соударение ультрарелятивистского электрона и лазерного фотона.* В настоящее время работает целый ряд установок, в которых пучок электронов высокой энергии  $\varepsilon_1 \gg m_e$  сталкивается с летящим навстречу сгустком лазерных фотонов, энергия которых мала:  $\omega_1 \sim 1$  эВ. Эти установки служат для получения фотонов высокой энергии, так как конечный фотон рассеивается в основном назад, т. е. почти вдоль направления начального электрона, и отбирает у начального электрона значительную долю его энергии. При такой постановке эксперимента уравнение (3) принимает вид

$$\omega_2[\varepsilon_1(1 - v_1 \cos \theta) + \omega_1(1 + \cos \theta)] = \varepsilon_1 \omega_1(1 + v_1),$$

где  $v_1$  — скорость начального электрона. Для начального ультрарелятивистского электрона  $\varepsilon_1/m_e = \gamma \gg 1$ , а углы рассеянного фотона  $\theta$ , отсчитанные в этом случае от направления начального электрона, малы,  $\theta \ll 1$ , при этом  $v_1 = 1 - 1/(2\gamma^2)$ ,  $\cos \theta = 1 - \theta^2/2$  и энергия рассеянного фотона равна

$$\omega_2 = \frac{x}{x + 1 + (\gamma\theta)^2} \varepsilon_1, \quad x = \frac{4\omega_1\varepsilon_1}{m_e^2}.$$

Приведём два характерных примера.

В опытах ИЯФ им. Будкера (Новосибирск, 1997) электроны ускорителя ВЭПП-4М с энергией  $\varepsilon_1 = 5$  ГэВ сталкивались с лазерными фотонами с энергией  $\omega_1 = 1,2$  эВ (инфракрасный лазер на неодимовом стекле). В этом случае  $x = 0,092$  и максимальная энергия конечного фотона  $\omega_2 = 0,42$  ГэВ, т. е. увеличилась в 350 млн раз. Фотоны таких энергий использовались для опытов по расщепления фотона в поле ядра. Укажем для сравнения, что в обычных рентгеновских установках получают фотоны с энергией всего 10–100 кэВ.

В опытах на ускорителе SLAC (Стэнфорд, 1996) электроны с энергией  $\varepsilon_1 = 46$  ГэВ сталкивались с лазерными фотонами с энергией  $\omega_1 = 1,2$  эВ. В этом случае  $x = 0,85$  и рассеянный фотон имел энергию  $\omega_2 = 21$  ГэВ, т. е. отбирал у начального электрона почти половину его энергии. Лазерный пучок хорошо фокусировался, в фокусе концентрация фотонов достигала значений  $\sim 10^{28}$  фотонов/см<sup>3</sup>, так что напряженность электрического поля  $\mathcal{E} \sim 10^{11}$  В/см, а в системе покоя налетающего электрона напряженность лазерного поля  $\mathcal{E} \sim 10^{16}$  В/см. Поэтому в этом опыте наблюдался нелинейный эффект Комптона с поглощением 1, 2, 3, 4 фотонов.

Наконец, в проекте TESLA для получения встречных  $\gamma e$  и  $\gamma\gamma$  пучков предполагается использовать лазерную конверсию электронов в  $\gamma$  кванты, при этом  $\varepsilon_1 = 250$  ГэВ,  $\omega_1 = 1,2$  эВ и  $\max \omega_2 = 205$  ГэВ.

#### 15.4. Основные характеристики процессов $e^+e^- \rightarrow \gamma\gamma$ и $\gamma\gamma \rightarrow e^+e^-$ при высоких энергиях

## ПРИЛОЖЕНИЯ

В этих приложениях собраны основные факты, относящиеся к теме “Релятивистская квантовая механика электрона”

### § А. Напоминание про уравнение Паули и спиноры

#### А.1. Матрицы Паули

Напомним известные факты про спин электрона. Пусть  $\hat{\mathbf{s}}$  — оператор спина электрона. Определим матрицы Паули  $\sigma_x$ ,  $\sigma_y$ ,  $\sigma_z$  соотношением

$$\hat{\mathbf{s}} = \frac{1}{2} \boldsymbol{\sigma},$$

тогда

$$\sigma_x = \begin{pmatrix} 0 & 1 \\ 1 & 0 \end{pmatrix}, \quad \sigma_y = \begin{pmatrix} 0 & -i \\ i & 0 \end{pmatrix}, \quad \sigma_z = \begin{pmatrix} 1 & 0 \\ 0 & -1 \end{pmatrix}.$$

Их свойства:

$$\sigma_j \sigma_k = I \delta_{jk} + i \varepsilon_{jkn} \sigma_n, \quad \text{Sp } \sigma_j = 0, \quad \text{Sp } I = 2,$$

где  $I$  — единичная матрица. Любую квадратную  $2 \times 2$  матрицу  $A$  можно представить в виде

$$A = a_0 I + \mathbf{a} \boldsymbol{\sigma}, \quad a_0 = \frac{1}{2} \text{Sp } A, \quad \mathbf{a} = \frac{1}{2} \text{Sp } (A \boldsymbol{\sigma}).$$

#### А.2. Уравнение Паули

Магнитный момент заряженной частицы, обусловленный её орбитальным движением,  $\hat{\boldsymbol{\mu}}_l$  связан с её орбитальным моментом  $\hat{\mathbf{l}}$  соотношением

$$\hat{\boldsymbol{\mu}}_l = \frac{e\hbar}{2mc} \hat{\mathbf{l}}.$$

Связь же собственного магнитного момента частицы  $\hat{\boldsymbol{\mu}}_s$  с её спином  $\hat{\mathbf{s}}$ , как показывает опыт, зависит от вида частицы, в частности, для электрона, протона и нейтрона имеем

$$\hat{\boldsymbol{\mu}}_s = \mu_s 2\hat{\mathbf{s}} = \mu_s \boldsymbol{\sigma},$$

$$\mu_e = (-1,001\,159\,625\,187 \pm 4 \cdot 10^{-12}) \mu_B \approx -\mu_B = -\frac{|e|\hbar}{2m_e c},$$

$$\mu_p \approx 2,79 \mu_N, \quad \mu_n \approx -1,91 \mu_N, \quad \mu_N = \frac{|e|\hbar}{2m_p c}.$$

С учетом магнитного момента уравнение для движения частицы со спином  $s = 1/2$  и зарядом  $e$  в электромагнитном поле принимает вид (В. Паули, 1927 г.)

$$i\hbar \frac{\partial \Psi}{\partial t} = \hat{H} \Psi, \quad \hat{H} = \frac{1}{2m} \left( \hat{\mathbf{p}} - \frac{e}{c} \mathbf{A} \right)^2 + e\phi - \hat{\boldsymbol{\mu}}_s \mathbf{B}, \quad (\text{A.1})$$

в котором волновая функция — двухкомпонентный спинор

$$\Psi = \begin{pmatrix} \Psi_1(\mathbf{r}, t) \\ \Psi_2(\mathbf{r}, t) \end{pmatrix}.$$

Плотность вероятности  $\rho(\mathbf{r}, t)$  и условие нормировки таковы:

$$\rho(\mathbf{r}, t) = \Psi^\dagger \Psi \equiv |\Psi_1|^2 + |\Psi_2|^2, \quad \int \rho(\mathbf{r}, t) d^3r = 1.$$

В частности, движения спина электрона в магнитном поле определяется уравнением

$$\frac{d\hat{\mathbf{s}}}{dt} = \frac{i}{\hbar} [\hat{H}, \hat{\mathbf{s}}] = \frac{1}{\hbar} \hat{\boldsymbol{\mu}}_e \times \mathbf{B} \approx -\frac{2\mu_B}{\hbar} \hat{\mathbf{s}} \times \mathbf{B}.$$

В случае квазиклассичности движения электрона, усредняя это уравнение по квазиклассическому волновому пакету, получим для средних значений

$$\frac{d\mathbf{s}}{dt} \approx \frac{e}{mc} \mathbf{s} \times \mathbf{B}.$$

Аналогичное уравнение для скорости электрона имеет хорошо известный вид

$$\frac{d\mathbf{v}}{dt} = \frac{e}{mc} \mathbf{v} \times \mathbf{B}.$$

Таким образом, в магнитном поле  $\mathbf{B}$  как вектор скорости, так и вектор спина электрона прецессируют вокруг направления магнитного поля  $\mathbf{B}$  с одной и той же (циклотронной) частотой

$$\boldsymbol{\omega}_c = -\frac{e\mathbf{B}}{mc}.$$

Поэтому проекция спина на направление скорости  $\mathbf{v}$  остается неизменной (учет малого отличия  $\hat{\boldsymbol{\mu}}_e$  от  $-2\mu_B \hat{\mathbf{s}}$  приводит к небольшому рассогласованию этих скоростей).

Покажите, что имеет место соотношение

$$\hat{H} = \frac{1}{2m} \left( \hat{\mathbf{p}} - \frac{e}{c} \mathbf{A} \right)^2 + e\phi - \frac{e\hbar}{2mc} \boldsymbol{\sigma} \mathbf{B} = \frac{1}{2m} \left( \boldsymbol{\sigma} \left( \hat{\mathbf{p}} - \frac{e}{c} \mathbf{A} \right) \right)^2 + e\phi. \quad (A.2)$$

Оно окажется полезным в дальнейшем при анализе возможных релятивистских обобщений уравнения Паули.

### А.3. Преобразование спиноров при поворотах и отражениях координат

Общий вид оператора поворота на угол  $\omega$  вокруг оси  $\mathbf{n}$  нам известен. Для спинорной волновой функции этот оператор может быть представлен в виде матрицы

$$U_\omega = e^{i\boldsymbol{\sigma} \mathbf{n} \omega / 2}.$$

Поэтому закон преобразования спиноров при повороте таков:

$$\Psi'(\mathbf{r}', t) = U_\omega \Psi(\mathbf{r}, t) = [\cos(\omega/2) + i \boldsymbol{\sigma} \mathbf{n} \sin(\omega/2)] \Psi(\mathbf{r}, t), \quad (A.3)$$

при этом состояние  $\Psi'$  соответствует вектору спина, повернутому на угол  $(-\omega\mathbf{n})$  по отношению к вектору спина в состоянии  $\Psi$ . Из (3) видно, что при повороте на  $2\pi$  компоненты спиноров изменяют знак:

$$\Psi' = -\Psi \quad \text{при } \omega = 2\pi.$$

Покажем, что оператор спина при преобразованиях поворота ведет себя как вектор, то есть преобразованный оператор  $U^{-1}\boldsymbol{\sigma}U = \Lambda\boldsymbol{\sigma}$ , где  $\Lambda$  — матрица поворота  $\mathbf{r}' = \Lambda\mathbf{r}$ .

Так как произвольный поворот может быть представлен как последовательность трех поворотов (вокруг оси  $z$ , затем вокруг оси  $y$  и снова вокруг оси  $z$ ), то достаточно рассмотреть поведение оператора спина при вращениях вокруг осей  $z$  и  $y$ . При повороте системы координат на угол  $\omega$  вокруг оси  $z$  радиус-вектор преобразуется по закону

$$x' = x \cos \omega + y \sin \omega, \quad y' = -x \sin \omega + y \cos \omega, \quad z' = z,$$

а оператор поворота имеет вид

$$U_{\omega} \equiv U_z(\omega) = \cos(\omega/2) + i\sigma_z \sin(\omega/2).$$

Используя свойства матриц Паули, получим

$$\begin{aligned} U_z^{-1}(\omega) \sigma_x U_z(\omega) &= [\cos(\omega/2) - i\sigma_z \sin(\omega/2)] \sigma_x [\cos(\omega/2) + i\sigma_z \sin(\omega/2)] = \\ &= \sigma_x \cos \omega + \sigma_y \sin \omega, \end{aligned}$$

а также

$$U_z^{-1}(\omega) \sigma_y U_z(\omega) = -\sigma_x \sin \omega + \sigma_y \cos \omega; \quad U_z^{-1}(\omega) \sigma_z U_z(\omega) = \sigma_z,$$

то есть в этом случае оператор спина преобразуется так же как и радиус-вектор. Рассмотрим теперь поворот на угол  $\omega$  вокруг оси  $y$ , при котором

$$x' = x \cos \omega - z \sin \omega, \quad z' = x \sin \omega + z \cos \omega, \quad y' = y.$$

Преобразования спина в этом случае

$$\begin{aligned} U_y^{-1}(\omega) \sigma_x U_y(\omega) &= [\cos(\omega/2) - i\sigma_y \sin(\omega/2)] \sigma_x [\cos(\omega/2) + i\sigma_y \sin(\omega/2)] = \\ &= \sigma_x \cos \omega - \sigma_z \sin \omega, \end{aligned}$$

а также

$$U_y^{-1}(\omega) \sigma_y U_y(\omega) = \sigma_y \cos \omega + \sigma_z \sin \omega; \quad U_y^{-1}(\omega) \sigma_z U_y(\omega) = \sigma_z,$$

то есть и в этом случае оператор спина преобразуется так же как и радиус-вектор. Таким образом, и при произвольном повороте оператор спина  $\hat{\mathbf{s}} = \frac{1}{2}\boldsymbol{\sigma}$  действительно преобразуется по обычному векторному закону

$$U_{\omega}^{-1} \boldsymbol{\sigma} U_{\omega} = \Lambda \boldsymbol{\sigma}, \tag{A.4a}$$

где  $\Lambda$  — матрица поворота, соответствующая преобразованию

$$\mathbf{r}' = \Lambda \mathbf{r}. \tag{A.4b}$$

В частности, если спинору

$$\Psi = \begin{pmatrix} 1 \\ 0 \end{pmatrix}$$

соответствует среднее значение вектора спина вдоль оси  $z$  (то есть  $\Psi^+ \boldsymbol{\sigma} \Psi = (0, 0, 1)$ ), то спинору

$$\Psi_{\mathbf{n}} = U_z(-\varphi)U_y(-\theta)\Psi = \begin{pmatrix} \cos(\theta/2) e^{-i\varphi/2} \\ \sin(\theta/2) e^{i\varphi/2} \end{pmatrix}$$

соответствует среднее значение вектора спина вдоль единичного вектора

$$\mathbf{n} = (\sin \theta \cos \varphi, \sin \theta \sin \varphi, \cos \theta),$$

определённого полярным углом  $\theta$  и азимутальным углом  $\varphi$ , то есть

$$\Psi_{\mathbf{n}}^+ \boldsymbol{\sigma} \Psi_{\mathbf{n}} = \mathbf{n}.$$

При отражении координат  $\mathbf{r}' = -\mathbf{r}$  спин (как и момент импульса  $\mathbf{M} = \mathbf{r} \times \mathbf{p}$ ) не изменяет своего вида. Поэтому не изменяется и значение его  $z$ -проекции. Это означает, что каждая компонента спинора преобразуется только через саму себя, то есть

$$\hat{P} \Psi(\mathbf{r}, t) = \eta_P \Psi(-\mathbf{r}, t), \quad (A.5)$$

где  $\eta_P$  — фазовый множитель. При двойном отражении мы вернемся к исходной системе координат. Если определить двойное отражение как тождественное преобразование, то  $\eta_P^2 = 1$  и  $\eta_P = \pm 1$ . Если же определить двойное отражение как поворот на  $2\pi$ , то  $\eta_P^2 = -1$  и  $\eta_P = \pm i$ . Таким образом, при отражении координат матрица  $U = \eta_P I$  и преобразованный оператор спина равен исходному:

$$U^{-1} \boldsymbol{\sigma} U = \boldsymbol{\sigma}. \quad (A.6)$$

**В итоге, при отражениях и поворотах системы координат оператор спина ведет себя как аксиальный вектор.**

Обсудим теперь вопрос о ковариантности уравнения Паули относительно поворотов и отражения координат. Представим оператор Гамильтона из (1) в виде суммы двух слагаемых

$$\hat{H} = \hat{H}_0 - \hat{\boldsymbol{\mu}}_s \mathbf{B}, \quad \hat{H}_0 = \frac{1}{2m} \left( \hat{\mathbf{p}} - \frac{e}{c} \mathbf{A} \right)^2 + e\phi.$$

Слагаемое  $\hat{H}_0$  является истинным скаляром и не изменяет своего вида при повороте или отражении координат. Магнитное поле определяется уравнением  $\mathbf{B} = \nabla \times \mathbf{A}$ , где векторный потенциал  $\mathbf{A}$  является полярным вектором, поэтому магнитное поле  $\mathbf{B}$  является аксиальным вектором (или псевдовектором), не изменяющим своего вида при отражении координат. Поэтому для доказательства ковариантности слагаемого  $\hat{\boldsymbol{\mu}}_s \mathbf{B} = 2\mu_s \hat{\mathbf{s}} \mathbf{B}$  достаточно показать, что оператор  $\hat{\mathbf{s}} = \boldsymbol{\sigma}/2$  преобразуется как псевдовектор, что и было показано выше.

## § В. Уравнение Клейна–Фока–Гордона (КФГ)

В релятивистской теории операторы

$$\hat{p}_0 = \frac{i\hbar}{c} \frac{\partial}{\partial t} \quad \text{и} \quad \hat{\mathbf{p}} = -i\hbar \nabla$$

образуют 4-мерный вектор

$$\hat{p}^\mu = i\hbar \left( \frac{1}{c} \frac{\partial}{\partial t}, -\nabla \right) \equiv i\hbar \partial^\mu.$$

Уравнение Шрёдингера

$$c\hat{p}_0 \Psi(t, \mathbf{r}) = \left\{ \frac{1}{2m} \left( \hat{\mathbf{p}} - \frac{e}{c} \mathbf{A} \right)^2 + e\phi \right\} \Psi(t, \mathbf{r})$$

и уравнение Паули

$$c\hat{p}_0 \Psi(t, \mathbf{r}) = \left\{ \frac{1}{2m} \left( \boldsymbol{\sigma} \left( \hat{\mathbf{p}} - \frac{e}{c} \mathbf{A} \right) \right)^2 + e\phi \right\} \Psi(t, \mathbf{r})$$

не являются релятивистски ковариантными уравнениями, компоненты  $\hat{p}_\mu$  входят в них явно несимметричным образом: эти уравнения содержат первые степени оператора  $\hat{p}_0$  и вторые степени оператора  $\hat{\mathbf{p}}$ . Простейшие релятивистские обобщения этих уравнений можно получить двумя способами:

1) потребовав, чтобы в уравнение входила вторая степень оператора  $\hat{p}_0$  (в этом случае мы прийдём к уравнению Клейна–Фока–Гордона);

2) потребовав, чтобы в уравнение входила первая степень оператора  $\hat{\mathbf{p}}$  (в этом случае мы прийдём к уравнению Дирака).

Классическое соотношение для компонент 4-импульса релятивистской частицы<sup>5</sup>

$$\left( p - \frac{e}{c} A \right)^\mu \left( p - \frac{e}{c} A \right)_\mu = m^2 c^2,$$

где  $A^\mu = (A_0(t, \mathbf{r}), \mathbf{A}(t, \mathbf{r}))$  — 4-потенциал электромагнитного поля и  $A_0(t, \mathbf{r}) \equiv \phi(t, \mathbf{r})$  — скалярный потенциал, соответствует релятивистскому волновому уравнению Клейна–Фока–Гордона (1926 – 1927 г.)

$$\left[ \left( i \frac{\hbar}{c} \partial_t - \frac{e}{c} A_0 \right)^2 - \left( -i\hbar \nabla - \frac{e}{c} \mathbf{A} \right)^2 \right] \Psi(t, \mathbf{r}) = m^2 c^2 \Psi(t, \mathbf{r}). \quad (B.1)$$

Свободному движению частицы с определенным 4-импульсом  $p^\mu = (E/c, \mathbf{p})$  соответствует плоская волна

$$\Psi(x) = N e^{-i(Et - \mathbf{p}\mathbf{r})/\hbar} = N e^{-ip_\mu x^\mu/\hbar}. \quad (B.2a)$$

<sup>5</sup>Здесь и ниже по повторяющимся индексам 4-векторов подразумевается суммирование, т. е. выражение  $A^\mu B_\mu$  означает  $A^\mu B_\mu \equiv A_0 B_0 - A_x B_x - A_y B_y - A_z B_z = A_0 B_0 - \mathbf{A}\mathbf{B}$ . Мы нередко будем использовать сокращенное обозначение  $AB \equiv A^\mu B_\mu$ .

Если подставить эту волновую функцию в уравнение (1) с  $A_\mu = 0$ , то найдем естественную связь между энергией и импульсом

$$E^2 = m^2 c^4 + \mathbf{p}^2 c^2,$$

которой соответствует закон дисперсии, т. е. зависимость энергии от импульса, вида

$$E(\mathbf{p}) = \pm \varepsilon_{\mathbf{p}}, \quad \varepsilon_{\mathbf{p}} = +c \sqrt{m^2 c^2 + \mathbf{p}^2}.$$

Отложим обсуждение двух возможных знаков  $\pm$  в этом выражении до § D.

Релятивистское уравнение КФГ оказалось уравнением второго порядка по времени. Это приводит к следующему принципиальному отличию от нерелятивистской квантовой механики, основанной на уравнении Шрёдингера — уравнении первого порядка по времени. Один из постулатов квантовой механики — интерпретация квадрата модуля волновой функции как плотности вероятности:

$$\rho(\mathbf{r}, t) = \Psi(\mathbf{r}, t)^* \Psi(\mathbf{r}, t).$$

Эта плотность вероятности и плотность тока вероятности

$$\mathbf{j} = \frac{1}{2m} \Psi^* \left( -i\hbar \nabla - \frac{e}{c} \mathbf{A} \right) \Psi + \text{компл. сопр.} \quad (B.3)$$

связаны уравнением непрерывности

$$\frac{\partial \rho}{\partial t} + \nabla \mathbf{j} = 0, \quad (B.4)$$

из которого следует, что условие нормировки

$$\int \rho(\mathbf{r}, t) d^3 r = 1$$

не изменяется с течением времени.

Подобная интерпретация невозможна для волновой функции уравнения КФГ, так как для неё интеграл  $\int \Psi(\mathbf{r}, t)^* \Psi(\mathbf{r}, t) d^3 r$  не сохраняется с течением времени. Естественным релятивистским обобщением 3-вектора (3) является 4-вектор

$$j_\mu = \left\{ \Psi^* \left( i\hbar \partial_\mu - \frac{e}{c} A_\mu \right) \Psi + \left( i\hbar \partial_\mu \Psi - \frac{e}{c} A_\mu \Psi \right)^* \cdot \Psi \right\}. \quad (B.5)$$

Легко проверить, используя уравнение КФГ, что компоненты этого 4-вектора удовлетворяют уравнению непрерывности

$$\partial_\mu j^\mu = 0, \quad (B.6)$$

эквивалентному уравнению (4). Это означает, что роль плотности вероятности должна играть нулевая компонента вектора  $j_\mu$ , т. е.<sup>6</sup>

$$\rho = \frac{j_0}{c} = \frac{1}{c} \left\{ \Psi^* \left( i\hbar \partial_0 - \frac{e}{c} A_0 \right) \Psi + \left( i\hbar \partial_0 \Psi - \frac{e}{c} A_0 \Psi \right)^* \cdot \Psi \right\}. \quad (B.7)$$

<sup>6</sup>Для плоской волны (2a) с энергией  $E(\mathbf{p}) = +\varepsilon_{\mathbf{p}}$  плотность вероятности  $\rho = 2\varepsilon_{\mathbf{p}}|N|^2$ , поэтому при нормировке на одну частицу в объёме  $\mathcal{V}$ ,

$$\int_{\mathcal{V}} \rho d^3 r = 2\varepsilon_{\mathbf{p}}|N|^2 \mathcal{V} = 1,$$

амплитуда плоской волны равна

$$N \equiv N_{\mathbf{p}} = \frac{1}{\sqrt{2\varepsilon_{\mathbf{p}} \mathcal{V}}}. \quad (B.2b)$$

Однако эта величина не является положительно определённой! Мы покажем ниже, что в квантовой теории поля 4-вектор  $j_\mu$  играет роль не плотности тока вероятности, но плотности тока заряженных частиц, а в этом случае  $j_0$  может быть отрицательной величиной.

Уравнение КФГ и 4-вектор  $j_\mu$  инвариантны относительно калибровочного преобразования

$$A_\mu \rightarrow A_\mu - \partial_\mu f(x), \quad \Psi \rightarrow \Psi e^{ief(x)/\hbar c}, \quad (B.8)$$

где  $f(x)$  — произвольная функция  $x = (ct, \mathbf{r})$ .

Обсудим нерелятивистский предел  $\mathbf{p}^2 \ll m^2 c^2$  уравнения КФГ. В этом случае

$$E = mc^2 + \frac{\mathbf{p}^2}{2m} - \frac{(\mathbf{p}^2)^2}{8m^3 c^2} + \dots$$

Рассмотрим движение нерелятивистской частицы в потенциальном поле  $U(r)$ . Релятивистская поправка к нерелятивистскому оператору Гамильтона

$$\hat{H}_0 = \frac{\hat{\mathbf{p}}^2}{2m} + U(r)$$

возникает из-за изменения закона дисперсии. Соответствующее возмущение равно

$$\hat{V} = -\frac{(\hat{\mathbf{p}}^2)^2}{8m^3 c^2}.$$

В кулоновской задаче (при  $U(r) = -e^2/r$ ) эта поправка снимает вырождение по  $l$  в спектре и приводит к **тонкой структуре уровней**. Возникающая поправка к энергии

$$\Delta E_{nl} = \langle nl | \hat{V} | nl \rangle = -\frac{1}{2mc^2} \left\langle nl \left| \left( \frac{\hat{\mathbf{p}}^2}{2m} \right)^2 \right| nl \right\rangle$$

может быть переписана с учетом

$$\frac{\hat{\mathbf{p}}^2}{2m} = \hat{H}_0 + \frac{e^2}{r}, \quad \hat{H}_0 |nl\rangle = E_n |nl\rangle$$

в виде

$$\Delta E_{nl} = -\frac{1}{2mc^2} \left\langle nl \left| \left( E_n + \frac{e^2}{r} \right)^2 \right| nl \right\rangle = -\frac{me^4}{2\hbar^2} \frac{\alpha^2}{n^3} \left( \frac{1}{l + \frac{1}{2}} - \frac{3}{4n} \right). \quad (B.9)$$

$$l = \begin{array}{l} 2 \\ 1 \\ 0 \end{array} \left. \begin{array}{l} \text{-----} \\ \text{-----} \\ \text{-----} \end{array} \right\} n = 3$$

$$l = \begin{array}{l} 1 \\ 0 \end{array} \left. \begin{array}{l} \text{-----} \\ \text{-----} \end{array} \right\} n = 2$$

$$l = 0 \text{ ----- } \} n = 1$$

*Тонкая структура уровней атома водорода согласно (B.9).*

Здесь

$$\alpha = \frac{e^2}{\hbar c} \approx \frac{1}{137}$$

— безразмерная константа, постоянная тонкой структуры. Однако реальный спектр атома водорода отличается от этого спектра. Причина в том, что уравнение КФГ не учитывает спин электрона.

## § С. Уравнение Дирака

### С.1. Симметричная форма уравнения Дирака

В нерелятивистской квантовой механике спин электрона учитывается в уравнении Паули (см. (A.1), (A.2)), которое мы представим в форме

$$\left\{ \sigma_0 (c\hat{p}_0 - eA_0) - \frac{1}{2m} \left[ \boldsymbol{\sigma} \left( \hat{\mathbf{p}} - \frac{e}{c} \mathbf{A} \right) \right]^2 \right\} \Psi(t, \mathbf{r}) = 0,$$

где  $\sigma_0$  — единичная матрица. Естественное релятивистское обобщение уравнения Паули выглядит так:

$$\left\{ \left[ \gamma_0 \left( \hat{p}_0 - \frac{e}{c} A_0 \right) - \boldsymbol{\gamma} \left( \hat{\mathbf{p}} - \frac{e}{c} \mathbf{A} \right) \right]^2 - m^2 c^2 \right\} \Psi(x) = 0, \quad (C.1)$$

где  $\gamma^\mu = (\gamma_0, \boldsymbol{\gamma})$  — некоторые матрицы, а  $x = (ct, \mathbf{r})$  — 4-радиус-вектор. Представим оператор второго порядка  $\{\dots\}$  в левой части уравнения (1) в факторизованном виде

$$\{\dots\} = \left[ \gamma^\mu \left( i\hbar \partial_\mu - \frac{e}{c} A_\mu \right) + mc \right] \left[ \gamma^\mu \left( i\hbar \partial_\mu - \frac{e}{c} A_\mu \right) - mc \right].$$

Функция  $\Psi(x)$  удовлетворяет уравнению (1), если она является решением уравнения первого порядка

$$\left[ \gamma^\mu \left( i\hbar \partial_\mu - \frac{e}{c} A_\mu \right) - mc \right] \Psi(x) = 0. \quad (C.2)$$

Это и есть *уравнение Дирака* (1928 г.). Конечно, все предыдущее не вывод, а лишь наводящие соображения. Мы постулируем уравнение Дирака в виде (2), а справедливость его подтверждается соответствием следствий из него эксперименту.

Отметим сразу же основное свойство матриц  $\gamma^\mu$ . Решение уравнения Дирака для свободной частицы

$$(\gamma^\mu \hat{p}_\mu - mc) \Psi(x) = 0 \quad (C.3)$$

удовлетворяет также уравнению (1) (при  $A_\mu = 0$ ), которое мы перепишем в форме

$$(\gamma^\mu \hat{p}_\mu + mc) (\gamma^\nu \hat{p}_\nu - mc) \Psi(x) = 0. \quad (C.1a)$$

Чтобы сохранить обычную связь между энергией и импульсом,  $E^2 = (\mathbf{p}^2 + m^2 c^2) c^2$ , естественно потребовать, чтобы уравнение (1a) совпадало с уравнением Клейна–Фока–Гордона  $(\hat{p}^\mu \hat{p}_\mu - m^2 c^2) \Psi(x) = 0$ . Отсюда следует, что

$$\gamma^\mu \gamma^\nu + \gamma^\nu \gamma^\mu = 2g^{\mu\nu} I. \quad (C.4)$$

Сколько компонент у волновой функции  $\Psi(x)$ ? При выяснении этого вопроса важную роль играет инвариантность уравнения Дирака относительно отражений пространственных осей или  $P$ -инвариантность.

При повороте на угол  $\omega$  вокруг оси  $\mathbf{n}$  преобразование 2-компонентного спинора  $\varphi$  имеет вид (A.3)

$$\varphi' = \exp\left(\frac{i}{2}\omega\boldsymbol{\sigma}\mathbf{n}\right)\varphi = [\cos(\omega/2) + i\boldsymbol{\sigma}\mathbf{n}\sin(\omega/2)]\varphi. \quad (C.5a)$$

Оператор поворота  $\exp\left(\frac{i}{2}\omega\boldsymbol{\sigma}\mathbf{n}\right)$  не нарушает  $P$ -инвариантность, так как и спин (собственный момент импульса электрона)  $\hat{\mathbf{s}} = \boldsymbol{\sigma}/2$ , и ось поворота  $\mathbf{n}$  — аксиальные векторы, а потому произведение  $\boldsymbol{\sigma}\mathbf{n}$  — истинный скаляр.

Преобразование Лоренца вдоль оси  $x$  со скоростью  $V$  имеет вид

$$x' = x \operatorname{ch} \omega - ct \operatorname{sh} \omega, \quad ct' = ct \operatorname{ch} \omega - x \operatorname{sh} \omega, \quad \operatorname{ch} \omega = \frac{1}{\sqrt{1 - (V/c)^2}}, \quad \operatorname{sh} \omega = \frac{(V/c)}{\sqrt{1 - (V/c)^2}}$$

и соответствует гиперболическому повороту в плоскости  $x, ct$ , а соответствующее преобразование спинора может быть получено заменой  $\omega \rightarrow i\omega$  в уравнении (5a), что даёт

$$\varphi' = \exp\left(-\frac{1}{2}\omega\sigma_x\right)\varphi,$$

где быстрота  $\omega$  определяется соотношением  $\operatorname{th} \omega = V/c$ . В случае преобразования Лоренца, задаваемого произвольным вектором скорости  $\mathbf{V}$ , имеем

$$\varphi' = \exp\left(-\frac{1}{2}\omega\boldsymbol{\sigma}\mathbf{n}\right)\varphi = [\operatorname{ch}(\omega/2) - \boldsymbol{\sigma}\mathbf{n}\operatorname{sh}(\omega/2)]\varphi, \quad \mathbf{n} = \frac{\mathbf{V}}{V}, \quad \operatorname{th} \omega = \frac{V}{c}. \quad (C.6)$$

Оператор  $\exp\left(-\frac{1}{2}\omega\boldsymbol{\sigma}\mathbf{n}\right)$  нарушает  $P$ -инвариантность, так как скорость  $\mathbf{V} = V\mathbf{n}$  — полярный вектор, и следовательно  $\boldsymbol{\sigma}\mathbf{n}$  — псевдоскаляр, изменяющий знак при отражении координат.

Поэтому для сохранения  $P$ -инвариантности уравнения Дирака приходится вводить второй спинор  $\chi$  с другим, чем у  $\varphi$  поведением при отражении координат. Если

$$\hat{P}\varphi(t, \mathbf{r}) = \eta_P\varphi(t, -\mathbf{r}), \quad \hat{P}\chi(t, \mathbf{r}) = -\eta_P\chi(t, -\mathbf{r}), \quad (C.7a)$$

где  $\eta_P$  — фазовый множитель, то преобразование вида

$$\varphi' = \varphi \operatorname{ch}(\omega/2) - \boldsymbol{\sigma}\mathbf{n}\chi \operatorname{sh}(\omega/2), \quad \chi' = \chi \operatorname{ch}(\omega/2) - \boldsymbol{\sigma}\mathbf{n}\varphi \operatorname{sh}(\omega/2) \quad (C.8a)$$

сохраняет  $P$ -инвариантность. Двухкомпонентные спиноры  $\varphi$  и  $\chi$  объединяются в 4-компонентный спинор, или биспинор

$$\Psi(x) = \begin{pmatrix} \varphi(x) \\ \chi(x) \end{pmatrix},$$

для которого преобразование (5a), соответствующее повороту, имеет вид

$$\Psi' = \exp\left(\frac{i}{2}\omega\boldsymbol{\Sigma}\mathbf{n}\right)\Psi = [\cos(\omega/2) + i\boldsymbol{\Sigma}\mathbf{n}\sin(\omega/2)]\Psi, \quad (C.5b)$$

а формула (8a), соответствующая преобразованию Лоренца, имеет вид

$$\Psi' = \exp\left(-\frac{1}{2}\omega\boldsymbol{\alpha}\mathbf{n}\right)\Psi = [\operatorname{ch}(\omega/2) - \boldsymbol{\alpha}\mathbf{n}\operatorname{sh}(\omega/2)]\Psi, \quad (C.8b)$$

где матрицы

$$\Sigma = \begin{pmatrix} \boldsymbol{\sigma} & 0 \\ 0 & \boldsymbol{\sigma} \end{pmatrix}, \quad \boldsymbol{\alpha} = \begin{pmatrix} 0 & \boldsymbol{\sigma} \\ \boldsymbol{\sigma} & 0 \end{pmatrix} \quad (C.9)$$

являются эрмитовыми и удовлетворяют соотношениям

$$\Sigma_j \Sigma_k = I \delta_{jk} + i \varepsilon_{jkn} \Sigma_n, \quad \alpha_j \alpha_k + \alpha_k \alpha_j = 2I \delta_{jk}.$$

Преобразование (7а), соответствующее отражению пространственных координат, может быть записано в виде

$$\Psi^P(x) \equiv \hat{P} \Psi(t, \mathbf{r}) = \eta_P U_P \Psi(t, -\mathbf{r}), \quad U_P = U_P^{-1} = \begin{pmatrix} I & 0 \\ 0 & -I \end{pmatrix}. \quad (C.7b)$$

Найдём  $4 \times 4$  матрицы  $\gamma_\mu$ , рассматривая для простоты уравнение Дирака для свободной частицы (3). При отражении координат оператор  $\hat{p}_0$  не изменяется, а оператор  $\hat{\mathbf{p}}$  изменяет знак. Если в уравнении Дирака  $(\gamma_0 \hat{p}_0 - \boldsymbol{\gamma} \hat{\mathbf{p}} - mc) \Psi(t, \mathbf{r}) = 0$  провести замены  $\hat{\mathbf{p}} \rightarrow -\hat{\mathbf{p}}$ ,  $\Psi(t, \mathbf{r}) \rightarrow \Psi(t, -\mathbf{r}) = \eta_P^{-1} U_P \Psi^P(x)$ , соответствующие  $P$ -отражению, то получим уравнение

$$(\gamma_0 \hat{p}_0 + \boldsymbol{\gamma} \hat{\mathbf{p}} - mc) U_P \Psi^P(x) = 0.$$

Таким образом, чтобы функция  $\Psi^P(x)$  удовлетворяла тому же уравнению, что и функция  $\Psi(x)$ , матрицы  $\gamma_\mu$  должны удовлетворять условиям

$$U_P \gamma_0 = \gamma_0 U_P, \quad U_P \boldsymbol{\gamma} = -\boldsymbol{\gamma} U_P.$$

Ясно поэтому, что можно выбрать

$$\gamma_0 = U_P = \begin{pmatrix} I & 0 \\ 0 & -I \end{pmatrix}.$$

Из  $U_P \boldsymbol{\gamma} + \boldsymbol{\gamma} U_P = 0$  следует, что

$$\boldsymbol{\gamma} = \begin{pmatrix} 0 & \mathbf{B} \\ \mathbf{C} & 0 \end{pmatrix},$$

а соотношение

$$\gamma_m \gamma_n + \gamma_n \gamma_m = -2\delta_{mn} I; \quad m, n = x, y, z$$

удовлетворяется, если выбрать  $B_n = -C_n = \sigma_n$ , где  $\sigma_n$  — матрицы Паули. Итак<sup>7</sup>,

$$\gamma_0 = \begin{pmatrix} I & 0 \\ 0 & -I \end{pmatrix}, \quad \boldsymbol{\gamma} = \begin{pmatrix} 0 & \boldsymbol{\sigma} \\ -\boldsymbol{\sigma} & 0 \end{pmatrix}. \quad (C.10)$$

## С.2. Релятивистская ковариантность уравнения Дирака

Пусть при произвольном преобразовании Лоренца 4-радиус вектор  $x_\mu$  преобразуется по закону

$$x'_\mu = \Lambda_{\mu\nu} x^\nu,$$

<sup>7</sup>Наш выбор соответствует так называемому *стандартному представлению*. Возможны и другие выборы матриц Дирака, получаемые из стандартного при преобразовании  $\gamma_\mu \rightarrow U \gamma_\mu U^{-1}$ , где  $U$  — унитарная матрица.

а соответствующее преобразование биспинора Дирака задаётся матрицей  $U$ :

$$\Psi'(x') = U \Psi(x).$$

Чтобы доказать релятивистскую ковариантность уравнения Дирака, достаточно показать, что найденные выше операторы  $\gamma_\mu$  преобразуются как 4-векторы, то есть преобразованный оператор  $U^{-1}\gamma_\mu U$  удовлетворяет соотношению (ср. с обсуждением преобразования оператора  $\sigma$  относительно поворотов в § A.3)

$$U^{-1}\gamma_\mu U = \Lambda_{\mu\nu} \gamma^\nu. \quad (C.11)$$

Это легко проверить непосредственно для поворотов, когда  $U = \exp(\frac{i}{2}\omega \Sigma \mathbf{n})$ , и для простого преобразования Лоренца, когда  $U = \exp(-\frac{1}{2}\omega \alpha \mathbf{n})$ . При этом оказываются полезными соотношения

$$\Sigma \gamma_0 = \gamma_0 \Sigma, \quad \alpha \gamma_0 = -\gamma_0 \alpha = -\gamma, \quad (C.12)$$

$$\Sigma_j \gamma_k = \begin{cases} -\gamma_k \Sigma_j = i\varepsilon_{jkl} \gamma_l & \text{при } j \neq k \\ -\gamma_k \Sigma_j & \text{при } j = k, \end{cases} \quad \alpha_j \gamma_k = \begin{cases} \gamma_k \alpha_j & \text{при } j \neq k \\ -\gamma_0 & \text{при } j = k. \end{cases}$$

Значит, уравнение (11) справедливо и для общего случая, который всегда можно рассматривать как комбинацию этих двух простых преобразований.

Назовем функцию

$$\bar{\Psi}(x) \equiv \Psi^+(x) \gamma_0$$

дираковски сопряженной функции  $\Psi(x)$ . Она преобразуется по закону

$$\bar{\Psi}'(x') = \Psi^+(x) U^+ \gamma_0,$$

причем, для поворотов (5b), когда  $U = \exp(\frac{i}{2}\omega \Sigma \mathbf{n})$ , и для простого преобразования Лоренца (8b), когда  $U = \exp(-\frac{1}{2}\omega \alpha \mathbf{n})$ , из (12) следует, что

$$U^+ \gamma_0 = \gamma_0 U^{-1}.$$

Значит, и в общем случае дираковски сопряженная функция преобразуется по закону

$$\bar{\Psi}' = \bar{\Psi} U^{-1},$$

откуда видно, что величина

$$\bar{\Psi} \Psi = \varphi^+ \varphi - \chi^+ \chi$$

преобразуется по закону

$$\bar{\Psi}' \Psi' = \bar{\Psi} \Psi,$$

т. е. является скаляром, а величина  $\bar{\Psi} \gamma_\mu \Psi$  преобразуется по закону

$$\bar{\Psi}' \gamma_\mu \Psi' = \Lambda_{\mu\nu} \bar{\Psi} \gamma^\nu \Psi,$$

т. е. является 4-вектором. Аналогично, можно показать, что величины  $\bar{\Psi} \gamma_\mu \gamma_\nu \Psi$  является 4-тензором второго ранга, а величины  $\bar{\Psi} \gamma_5 \Psi$  и  $\bar{\Psi} \gamma_5 \gamma_\mu \Psi$ , где

$$\gamma_5 = -i\gamma_0 \gamma_x \gamma_y \gamma_z = \begin{pmatrix} 0 & -I \\ -I & 0 \end{pmatrix}, \quad (C.10a)$$

преобразуются как псевдоскаляр и аксиальный 4-вектор соответственно.

### С.3. Плотность тока

Дираковски сопряженная функция удовлетворяет уравнению

$$\left(-i\hbar\partial_\mu - \frac{e}{c}A_\mu\right) \bar{\Psi}(x) \gamma^\mu - mc \bar{\Psi}(x) = 0. \quad (C.13)$$

Домножим это уравнение справа на  $\Psi(x)$  и вычтем из уравнения (2), домноженного слева на  $\bar{\Psi}(x)$ , тогда получим уравнение

$$(\partial_\mu \bar{\Psi}(x)) \gamma^\mu \Psi(x) + \bar{\Psi}(x) \gamma^\mu \partial_\mu \Psi(x) = 0,$$

которое можно переписать в виде закона сохранения 4-мерного тока. Если ввести *4-мерную плотность тока*

$$j_\mu(x) = c \bar{\Psi}(x) \gamma_\mu \Psi(x), \quad (C.14)$$

то она будет удовлетворять уравнению непрерывности

$$\partial_\mu j^\mu(x) = 0.$$

Для дираковской частицы плотность вероятности

$$\varrho(x) = j_0(x)/c = \bar{\Psi}(x) \gamma_0 \Psi(x) = \Psi^+(x) \Psi(x) \quad (C.15)$$

является положительно определенной функцией. Плотность 3-мерного тока равна

$$\mathbf{j}(x) = c \bar{\Psi}(x) \boldsymbol{\gamma} \Psi(x) = c \Psi^+(x) \boldsymbol{\alpha} \Psi(x), \quad (C.16)$$

где эрмитовы матрицы  $\boldsymbol{\alpha} = \gamma_0 \boldsymbol{\gamma}$  определены в (9). Уравнение Дирака и плотность дираковского тока, разумеется, инвариантны относительно калибровочного преобразования (4.8).

### С.4. Зарядовое сопряжение и отражение времени

Рассмотрим еще свойство уравнения Дирака относительно  $C$  (зарядовое сопряжение) преобразования. Если функция  $\Psi(x)$  удовлетворяет уравнению (2), то легко проверить, что функция

$$\Psi^C(x) = C \bar{\Psi}(x), \quad C = \gamma_y \gamma_0 = -\alpha_y \quad (C.17)$$

соответствует зарядово-сопряженной частице, т. е. удовлетворяет уравнению

$$\left[\gamma^\mu \left(i\hbar\partial_\mu + \frac{e}{c}A_\mu\right) - mc\right] \Psi^C(x) = 0, \quad (C.2b)$$

которое отличается от уравнения (2) для  $\Psi(x)$  лишь знаком заряда  $e$ .

Аналогично, если функция  $\Psi(x)$  удовлетворяет уравнению (3), то легко проверить, что функция

$$\Psi^T(t, \mathbf{r}) = U_T \bar{\Psi}(-t, \mathbf{r}), \quad U_T = i\gamma_z \gamma_x \gamma_0 \quad (C.18)$$

удовлетворяет тому же уравнению. Наконец, укажем, что действие трёх преобразований  $C$ ,  $P$  и  $T$  определяется соотношением:

$$\Psi^{CPT}(t, \mathbf{r}) = i\gamma_5 \Psi(-t, -\mathbf{r}), \quad \gamma_5 = -i\gamma_0 \gamma_x \gamma_y \gamma_z = \begin{pmatrix} 0 & -I \\ -I & 0 \end{pmatrix}. \quad (C.19)$$

### С.5. Гамильтонова форма уравнения Дирака

Умножив уравнение (2) на  $\gamma_0$  слева, получим уравнение Дирака в гамильтоновой форме

$$i\hbar \frac{\partial \Psi}{\partial t} = \hat{H} \Psi, \quad \hat{H} = \boldsymbol{\alpha}(c\hat{\mathbf{p}} - e\mathbf{A}) + mc^2\gamma_0 + eA_0, \quad \hat{\mathbf{p}} = -i\hbar\nabla. \quad (C.20)$$

Отсюда оператор скорости равен

$$\hat{\mathbf{v}} = \frac{i}{\hbar} [\hat{H}, \mathbf{r}] = c\boldsymbol{\alpha}, \quad (C.21)$$

а операторное уравнение движения во внешнем поле

$$\frac{d}{dt} \left( \hat{\mathbf{p}} - \frac{e}{c}\mathbf{A} \right) = e\boldsymbol{\mathcal{E}} + e\boldsymbol{\alpha} \times \mathbf{B}$$

является аналогом классического уравнения движения

$$\frac{d}{dt} \frac{m\mathbf{v}}{\sqrt{1 - (\mathbf{v}/c)^2}} = e\boldsymbol{\mathcal{E}} + e\frac{\mathbf{v}}{c} \times \mathbf{B}.$$

В центральном поле (при  $\mathbf{A} = 0$ ,  $eA_0 = U(r)$ ) орбитальный момент  $\hat{\mathbf{l}} = \mathbf{r} \times \hat{\mathbf{p}}/\hbar$  и спин

$$\hat{\mathbf{s}} = \frac{1}{2}\boldsymbol{\Sigma} = \frac{1}{2} \begin{pmatrix} \boldsymbol{\sigma} & 0 \\ 0 & \boldsymbol{\sigma} \end{pmatrix}$$

в отдельности не сохраняются:

$$\frac{d\hat{\mathbf{l}}}{dt} = \frac{i}{\hbar} [\hat{H}, \hat{\mathbf{l}}] = \frac{c}{\hbar} \boldsymbol{\alpha} \times \hat{\mathbf{p}}, \quad \frac{d\hat{\mathbf{s}}}{dt} = \frac{i}{\hbar} [\hat{H}, \hat{\mathbf{s}}] = -\frac{c}{\hbar} \boldsymbol{\alpha} \times \hat{\mathbf{p}}.$$

Естественно, однако, что сохраняется полный момент  $\hat{\mathbf{j}} = \hat{\mathbf{l}} + \hat{\mathbf{s}}$ ,

$$\frac{d\hat{\mathbf{j}}}{dt} = \frac{i}{\hbar} [\hat{H}, \hat{\mathbf{j}}] = 0.$$

Рассмотрим теперь свободный электрон в состоянии с определенным импульсом  $\mathbf{p}$ . В этом случае гамильтониан

$$\hat{H} = c\boldsymbol{\alpha}\mathbf{p} + mc^2\gamma_0$$

также, вообще говоря, не коммутирует с оператором спина,

$$[\hat{H}, \hat{\mathbf{s}}] = ic\boldsymbol{\alpha} \times \mathbf{p}. \quad (C.22)$$

Однако последняя формула подсказывает два возможных исключения.

**1.** Если  $\mathbf{p} \rightarrow 0$  (что справедливо в системе покоя электрона), то правая часть уравнения (22) обращается в нуль

$$[\hat{H}, \hat{\mathbf{s}}] = 0 \quad \text{при} \quad \mathbf{p} \rightarrow 0. \quad (C.23)$$

Таким образом, спиновое состояние свободного электрона можно описывать, задавая определенное значение  $\sigma = \pm 1/2$  оператора  $\hat{s}_z$  в системе покоя электрона.

**2.** Если умножить уравнение (22) скалярно на вектор  $\mathbf{p}$ , то правая часть полученного соотношения также обратится в нуль. Поэтому оператор *спиральности*  $\hat{\Lambda}$  (проекция спина на направление импульса электрона) коммутирует с гамильтонианом

$$[\hat{H}, \hat{\Lambda}] = 0, \quad \hat{\Lambda} = \hat{\mathbf{s}} \cdot \frac{\mathbf{p}}{|\mathbf{p}|}. \quad (C.24)$$

Собственные значения оператора  $\hat{\Lambda}$  равны  $\lambda = \pm 1/2$ , а его собственные состояния называются *спиральными состояниями*.

## § D. Свободное движение дираковской частицы

Свободному движению частицы с определённым 4-импульсом  $p$  соответствует плоская волна<sup>8</sup>

$$\Psi(x) = u(p) e^{-ipx}, \quad px \equiv p_\mu x^\mu = Et - \mathbf{p}\mathbf{r}, \quad (D.1)$$

где биспинор  $u(p)$  удовлетворяет системе алгебраических уравнений

$$(\gamma^\mu p_\mu - m) u(p) = 0. \quad (D.2)$$

Для двухкомпонентных спиноров  $\varphi(p)$  и  $\chi(p)$ , через которые выражается биспинор

$$u(p) = u(E, \mathbf{p}) = \begin{pmatrix} \varphi(p) \\ \chi(p) \end{pmatrix},$$

получаем систему уравнений

$$(E - m)\varphi - \boldsymbol{\sigma}\mathbf{p}\chi = 0, \quad \boldsymbol{\sigma}\mathbf{p}\varphi - (E + m)\chi = 0.$$

Эта система имеет ненулевое решение, если ее определитель равен нулю, то есть если  $E^2 = \mathbf{p}^2 + m^2$ . Введём арифметический, положительный корень

$$\varepsilon = +\sqrt{\mathbf{p}^2 + m^2}. \quad (D.3)$$

Существуют две возможности:

1. Энергия положительна:

$$E = +\varepsilon, \quad \chi = \frac{\boldsymbol{\sigma}\mathbf{p}}{\varepsilon + m}\varphi.$$

При нормировке

$$\varphi^\dagger \varphi = 1, \quad \bar{u}u = 2m$$

получаем биспинор

$$u(\varepsilon, \mathbf{p}) \equiv u_{\mathbf{p}} = \begin{pmatrix} \sqrt{\varepsilon + m}\varphi \\ \hat{A}\varphi \end{pmatrix}, \quad \hat{A} = \frac{\boldsymbol{\sigma}\mathbf{p}}{\sqrt{\varepsilon + m}} = \sqrt{\varepsilon - m}\boldsymbol{\sigma}\mathbf{n}, \quad (D.4a)$$

где  $\mathbf{n} = \mathbf{p}/|\mathbf{p}|$ , при этом

$$\bar{u}_{\mathbf{p}} u_{\mathbf{p}} = 2m, \quad \bar{u}_{\mathbf{p}} \gamma^\mu u_{\mathbf{p}} = 2p^\mu. \quad (D.4b)$$

2. Энергия отрицательна:

$$E = -\varepsilon, \quad u(-\varepsilon, \mathbf{p}) = \begin{pmatrix} -\hat{A}\chi \\ \sqrt{\varepsilon + m}\chi \end{pmatrix}.$$

Четыре компоненты волновой функции соответствуют двум возможным ориентациям спина при двух возможных знаках энергии. Исключить состояния с отрицательной энергией нельзя, так как в квантовой механике возможны переходы между состояниями. Дирак постулировал, что уровни с отрицательной энергией заполнены. Тогда переходов на них нет в силу принципа Паули. Дырка в дираковском море ведет себя как

<sup>8</sup>Здесь и ниже (за исключением § F.1) полагаем  $\hbar = 1, c = 1$ .

частица той же массы, что и электрон, но с противоположным зарядом, причём отсутствующему электрону с энергией  $(-\varepsilon)$  и импульсом  $(-\mathbf{p})$  соответствует частица-дырка с энергией  $(+\varepsilon)$  и импульсом  $(+\mathbf{p})$ . В квантовой теории поля частица-дырка выступает как античастица, а представление о дираковском море оказалось излишним. Такая античастица для электрона была вскоре обнаружена (К. Андерсон, 1932 г.) и названа *позитроном*.

Таким образом, свободному электрону соответствует плоская волна

$$\Psi_p(x) = N u_{\mathbf{p}} e^{-ipx}, \quad px = \varepsilon t - \mathbf{p}\mathbf{r}, \quad (D.5)$$

где биспинор  $u_{\mathbf{p}}$  определён в (4), а множитель  $N$  при нормировке на одну частицу во всём объёме  $\mathcal{V}$  равен

$$N = \frac{1}{\sqrt{2\varepsilon\mathcal{V}}}. \quad (D.6)$$

Свободному позитрону соответствует плоская волна

$$\Psi_{-p}(x) = N v_{\mathbf{p}} e^{ipx}, \quad px = \varepsilon t - \mathbf{p}\mathbf{r}, \quad (D.7)$$

где биспинор  $v_{\mathbf{p}}$  определён соотношением

$$v_{\mathbf{p}} \equiv u(-\varepsilon, -\mathbf{p}) = \begin{pmatrix} \hat{A}\chi \\ \sqrt{\varepsilon + m}\chi \end{pmatrix}, \quad \chi^+\chi = 1, \quad \bar{v}_{\mathbf{p}}v_{\mathbf{p}} = -2m, \quad \bar{v}_{\mathbf{p}}\gamma^\mu v_{\mathbf{p}} = +2p^\mu. \quad (D.8)$$

Так как позитрон является античастицей для электрона, то<sup>9</sup>

$$\Psi_{-p}(x) = C\bar{\Psi}_p(x), \quad (D.9)$$

а биспинор  $v_{\mathbf{p}}$  связан с биспинором  $u_{\mathbf{p}}$  соотношением

$$v_{\mathbf{p}} = C\bar{u}_{\mathbf{p}}, \quad \chi = -\sigma_y\varphi. \quad (D.10)$$

Биспиноры  $u_{\mathbf{p}}$  и  $v_{\mathbf{p}}$  взаимно ортогональны:

$$\bar{v}_{\mathbf{p}}u_{\mathbf{p}} = \bar{u}_{\mathbf{p}}v_{\mathbf{p}} = 0. \quad (D.11)$$

В нерелятивистском пределе величина  $\hat{A}$  мала,  $\sim |\mathbf{p}|/m \ll 1$ , поэтому волновая функция свободного электрона (позитрона) фактически становится двухкомпонентной, так как ее нижние (верхние) компоненты оказывается  $\sim |\mathbf{p}|/m$ .

Отметим также особенность, связанную с оператором скорости  $\hat{\mathbf{v}} = \boldsymbol{\alpha}$ . Так как  $\hat{v}_x = \alpha_x$ , а  $\alpha_x^2 = I$ , то собственные значения оператора  $\hat{v}_x$  равны  $\pm 1$  (или  $\pm c$  в обычных единицах). Однако собственные функции оператора  $\hat{v}_x$  не соответствуют определенному знаку энергии, т. е. обычным физическим состояниям. И наоборот, в состоянии с фиксированной энергией

$$\langle v_x \rangle = u^+(\pm\varepsilon, \mathbf{p})\alpha_x u(\pm\varepsilon, \mathbf{p}) = \frac{p_x}{\pm\varepsilon},$$

как и должно быть.

<sup>9</sup>Отметим, что этот результат находится в соответствии с формулами зарядового сопряжения (см. (C.17)): если функция  $\Psi(x) \propto e^{-i\varepsilon t/\hbar}$  есть решение стационарного уравнения Дирака для частицы с энергией  $E = +\varepsilon$  и зарядом  $e$  во внешнем поле, то функция  $C\bar{\Psi}(x) \propto e^{+i\varepsilon t/\hbar}$  отвечает решению уравнения Дирака для частицы с энергией  $E = -\varepsilon$  и противоположным зарядом  $(-e)$  в том же поле.

## § Е. Поляризация электрона и позитрона

В этом разделе собраны основные формулы, задающие описание поляризационного состояния свободных электронов и позитронов в двух упомянутых в § С.5 подходах.

1. Свободный *электрон* с импульсом  $\mathbf{p}$ , энергией  $\varepsilon = +\sqrt{\mathbf{p}^2 + m^2}$  и проекцией спина на ось  $z$  в системе покоя электрона, равной  $\sigma$ , описывается волновой функцией

$$\Psi_{p\sigma}(x) = N u_{\mathbf{p}\sigma} e^{-ipx}, \quad px = \varepsilon t - \mathbf{p}\mathbf{r}. \quad (E.1)$$

Здесь биспинор  $u_{\mathbf{p}\sigma}$  удовлетворяет уравнениям

$$(\gamma^\mu p_\mu - m) u_{\mathbf{p}\sigma} = 0, \quad (E.2a)$$

$$\hat{s}_z u_{\mathbf{p}\sigma} = \sigma u_{\mathbf{p}\sigma} \quad \text{при} \quad \varepsilon \rightarrow m, \quad (E.2b)$$

условию нормировки

$$\bar{u}_{\mathbf{p}\sigma} u_{\mathbf{p}\sigma'} = 2m \delta_{\sigma\sigma'} \quad (E.3a)$$

и имеет вид

$$u_{\mathbf{p}\sigma} = \begin{pmatrix} \sqrt{\varepsilon + m} \varphi^{(\sigma)} \\ \sqrt{\varepsilon - m} \boldsymbol{\sigma} \mathbf{n} \varphi^{(\sigma)} \end{pmatrix}, \quad \mathbf{n} = \frac{\mathbf{p}}{|\mathbf{p}|}. \quad (E.4)$$

Кроме того,

$$\bar{u}_{\mathbf{p}\sigma} \gamma^\mu u_{\mathbf{p}\sigma'} = 2p^\mu \delta_{\sigma\sigma'}. \quad (E.3b)$$

Двухкомпонентные спиноры  $\varphi^{(\sigma)}$  удовлетворяют уравнениям

$$\frac{1}{2} \sigma_z \varphi^{(\sigma)} = \sigma \varphi^{(\sigma)}, \quad \varphi^{(\sigma)+} \varphi^{(\sigma')} = \delta_{\sigma\sigma'};$$

явный вид этих спиноров может быть выбран как и в нерелятивистском случае:

$$\varphi^{(\sigma=1/2)} = \begin{pmatrix} 1 \\ 0 \end{pmatrix}; \quad \varphi^{(\sigma=-1/2)} = \begin{pmatrix} 0 \\ 1 \end{pmatrix}.$$

Множитель  $N$  при нормировке на одну частицу во всём объёме  $\mathcal{V}$  равен

$$N = \frac{1}{\sqrt{2\varepsilon\mathcal{V}}}. \quad (E.5)$$

Перейдём теперь к описанию спинового состояния свободного *позитрона*. Напомним, что в картине Дирака зона отрицательных энергий заполнена, а отсутствующему электрону с энергией  $(-\varepsilon)$  и импульсом  $(-\mathbf{p})$  соответствует частица-дырка (позитрон) с энергией  $(+\varepsilon)$  и импульсом  $(+\mathbf{p})$ . В первом подходе отсутствующему электрону с проекцией спина на ось  $z$ , равной  $(-\sigma)$  (в системе покоя электрона), соответствует частица-дырка с проекцией спина на ось  $z$ , равной  $(+\sigma)$ . Таким образом, в этом случае *позитрон* с импульсом  $\mathbf{p}$ , энергией  $\varepsilon = +\sqrt{\mathbf{p}^2 + m^2}$  и проекцией спина на ось  $z$  в системе покоя позитрона, равной  $\sigma$ , описывается волновой функцией

$$\Psi_{-p-\sigma}(x) = C \bar{\psi}_{p\sigma}(x) = N v_{\mathbf{p}\sigma} e^{+ipx}, \quad px = \varepsilon t - \mathbf{p}\mathbf{r}. \quad (E.6)$$

Здесь биспинор

$$v_{\mathbf{p}\sigma} = C \bar{u}_{\mathbf{p}\sigma}$$

удовлетворяет уравнениям

$$(-\gamma^\mu p_\mu - m) v_{\mathbf{p}\sigma} = 0, \quad (E.7a)$$

$$\hat{s}_z v_{\mathbf{p}\sigma} = -\sigma v_{\mathbf{p}\sigma} \quad \text{при } \varepsilon \rightarrow m, \quad (E.7b)$$

условию нормировки

$$\bar{v}_{\mathbf{p}\sigma} v_{\mathbf{p}\sigma'} = -2m \delta_{\sigma\sigma'} \quad (E.8a)$$

и имеет вид

$$v_{\mathbf{p}\sigma} = \begin{pmatrix} \sqrt{\varepsilon - m} \boldsymbol{\sigma} \mathbf{n} \chi^{(-\sigma)} \\ \sqrt{\varepsilon + m} \chi^{(-\sigma)} \end{pmatrix}, \quad (E.9)$$

где двухкомпонентные спиноры

$$\chi^{(-\sigma)} = -\sigma_y \varphi^{(\sigma)} = -2\sigma i \varphi^{(-\sigma)}. \quad (E.10)$$

Кроме того,

$$\bar{v}_{\mathbf{p}\sigma} \gamma^\mu v_{\mathbf{p}\sigma'} = 2p^\mu \delta_{\sigma\sigma'}. \quad (E.8b)$$

Конечно, биспиноры  $u$  и  $v$  взаимно ортогональны:

$$\bar{v}_{\mathbf{p}\sigma} u_{\mathbf{p}\sigma'} = \bar{u}_{\mathbf{p}\sigma} v_{\mathbf{p}\sigma'} = 0. \quad (E.11)$$

Отметим полезные формулы:

$$\gamma^0 u_{-\mathbf{p}\sigma} = +u_{\mathbf{p}\sigma}, \quad \gamma^0 v_{-\mathbf{p}\sigma} = -v_{\mathbf{p}\sigma}. \quad (E.12)$$

2. Во втором подходе свободному *электрону* соответствует плоская волна

$$\Psi_{p\lambda}(x) = N u_{\mathbf{p}\lambda} e^{-ipx}, \quad px = \varepsilon t - \mathbf{p}\mathbf{r}, \quad (E.13)$$

где биспинор  $u_{\mathbf{p}\lambda}$  удовлетворяет уравнениям

$$(\gamma^\mu p_\mu - m) u_{\mathbf{p}\lambda} = 0, \quad \hat{\Lambda} u_{\mathbf{p}\lambda} = \lambda u_{\mathbf{p}\lambda}, \quad (E.14)$$

условию нормировки

$$\bar{u}_{\mathbf{p}\lambda} u_{\mathbf{p}\lambda'} = 2m \delta_{\lambda\lambda'}$$

и имеет вид

$$u_{\mathbf{p}\lambda} = \begin{pmatrix} \sqrt{\varepsilon + m} w^{(\lambda)}(\mathbf{n}) \\ 2\lambda \sqrt{\varepsilon - m} w^{(\lambda)}(\mathbf{n}) \end{pmatrix}. \quad (E.15)$$

Двухкомпонентные спиноры  $w^{(\lambda)}(\mathbf{n})$  удовлетворяют уравнениям

$$\frac{1}{2} (\boldsymbol{\sigma} \mathbf{n}) w^{(\lambda)}(\mathbf{n}) = \lambda w^{(\lambda)}(\mathbf{n}), \quad w^{(\lambda)+}(\mathbf{n}) w^{(\lambda')}(\mathbf{n}) = \delta_{\lambda\lambda'};$$

явный вид этих спиноров таков (см. § 3.3)

$$w^{(\lambda=1/2)}(\mathbf{n}) = \begin{pmatrix} e^{-i\varphi/2} \cos \frac{\theta}{2} \\ e^{i\varphi/2} \sin \frac{\theta}{2} \end{pmatrix}; \quad w^{(\lambda=-1/2)}(\mathbf{n}) = \begin{pmatrix} -e^{-i\varphi/2} \sin \frac{\theta}{2} \\ e^{i\varphi/2} \cos \frac{\theta}{2} \end{pmatrix}.$$

Во втором способе описания спиновых состояний отсутствующему электрону со спиральностью  $\lambda$  (проекцией спина на направление импульса электрона  $(-\mathbf{p})$ ) соответствует частица-дырка с той же спиральностью  $\lambda$  (проекцией спина на направление импульса

дырки (+ $\mathbf{p}$ ). Таким образом, *позитрон* является зарядово-сопряжённой к электрону частицей и потому описывается волновой функцией

$$\Psi_{-p\lambda}(x) = N v_{\mathbf{p}\lambda} e^{+ipx}, \quad px = \varepsilon t - \mathbf{p}\mathbf{r}, \quad (E.16)$$

где биспинор  $v_{\mathbf{p}\lambda} = C\bar{u}_{\mathbf{p}\lambda}$  удовлетворяет уравнениям

$$(-\gamma^\mu p_\mu - m) v_{\mathbf{p}\lambda} = 0, \quad \hat{\Lambda}' v_{\mathbf{p}\lambda} = \lambda v_{\mathbf{p}\lambda}, \quad \hat{\Lambda}' = \hat{\mathbf{s}} \cdot \frac{(-\mathbf{p})}{|\mathbf{p}|}, \quad (E.17)$$

условию нормировки

$$\bar{v}_{\mathbf{p}\lambda} v_{\mathbf{p}\lambda'} = -2m \delta_{\lambda\lambda'},$$

и имеет вид

$$v_{\mathbf{p}\lambda} = i \begin{pmatrix} \sqrt{\varepsilon - m} w^{(-\lambda)}(\mathbf{n}) \\ -2\lambda \sqrt{\varepsilon + m} w^{(-\lambda)}(\mathbf{n}) \end{pmatrix}. \quad (E.18)$$

Конечно, биспиноры  $u_{\mathbf{p}\lambda}$  и  $v_{\mathbf{p}\lambda}$  взаимно ортогональны:

$$\bar{v}_{\mathbf{p}\lambda} u_{\mathbf{p}\lambda'} = \bar{u}_{\mathbf{p}\lambda} v_{\mathbf{p}\lambda'} = 0. \quad (E.19)$$

## § F. Свойства уравнения Дирака

При рассмотрении нерелятивистского и ультрарелятивистского пределов уравнения Дирака удобно использовать это уравнение в гамильтоновой форме (С.20) с определенной релятивистской энергией  $\varepsilon$ ,

$$\hat{H}\psi(\mathbf{r}) = \varepsilon\psi(\mathbf{r}), \quad \psi(\mathbf{r}) = \begin{pmatrix} \varphi(\mathbf{r}) \\ \chi(\mathbf{r}) \end{pmatrix}, \quad (F.1)$$

и переписать его в виде системы связанных уравнений для двухкомпонентные спиноры  $\varphi(\mathbf{r})$  и  $\chi(\mathbf{r})$ :

$$(\varepsilon - mc^2 - eA_0) \varphi(\mathbf{r}) = c\boldsymbol{\sigma} \left( \hat{\mathbf{p}} - \frac{e}{c}\mathbf{A} \right) \chi(\mathbf{r}), \quad (F.2a)$$

$$(\varepsilon + mc^2 - eA_0) \chi(\mathbf{r}) = c\boldsymbol{\sigma} \left( \hat{\mathbf{p}} - \frac{e}{c}\mathbf{A} \right) \varphi(\mathbf{r}). \quad (F.2b)$$

### Ф.1. Нерелятивистский предел уравнения Дирака

Проведем разложение уравнения Дирака по степеням  $v/c$  до первого порядка включительно. Для этого введем нерелятивистскую энергию  $E_{\text{нер}} = \varepsilon - mc^2$  и будем предполагать, что  $|E_{\text{нер}}| \ll mc^2$  и  $|eA_0| \ll mc^2$ . Тогда из (2b) в первом порядке по  $v/c$  находим

$$\chi(\mathbf{r}) = \frac{1}{2mc} \boldsymbol{\sigma} \left( \hat{\mathbf{p}} - \frac{e}{c}\mathbf{A} \right) \varphi(\mathbf{r}).$$

Подставляя это выражение в (2a), получаем

$$(E_{\text{нер}} - eA_0) \varphi(\mathbf{r}) = \frac{1}{2m} \left[ \boldsymbol{\sigma} \left( \hat{\mathbf{p}} - \frac{e}{c}\mathbf{A} \right) \right]^2 \varphi(\mathbf{r}).$$

С учетом (A.2) это уравнение принимает вид уравнения Паули

$$\hat{H}_{\text{нер}} \varphi(\mathbf{r}) = E_{\text{нер}} \varphi(\mathbf{r}), \quad \hat{H}_{\text{нер}} = \frac{1}{2m} \left( \hat{\mathbf{p}} - \frac{e}{c} \mathbf{A} \right)^2 + eA_0 - \hat{\boldsymbol{\mu}}_e \mathbf{B},$$

в котором значение магнитного момента электрона

$$\hat{\boldsymbol{\mu}}_e = \frac{e\hbar}{2mc} \boldsymbol{\sigma}$$

получено как простое следствие уравнения Дирака.

Можно показать, что во втором порядке по  $v/c$  получается следующее выражение для релятивистского возмущения в кулоновской задаче  $U(r) = -e^2/r$ :

$$\hat{V} = -\frac{(\hat{\mathbf{p}}^2)^2}{8m^3c^2} + \frac{e^2\hbar^2}{4m^2c^2r^3} \hat{\mathbf{l}}\boldsymbol{\sigma} + \frac{\pi e^2\hbar^2}{2m^2c^2} \delta(\mathbf{r}).$$

Используя это возмущение, получим поправку к энергии, соответствующую экспериментально наблюдаемой тонкой структуре спектра атома водорода,

$$\Delta E_{nj} = -\frac{me^4\alpha^2}{2\hbar^2 n^3} \left( \frac{1}{j+1/2} - \frac{3}{4n} \right).$$

$$\begin{array}{l} \text{-----} \quad 3d_{5/2} \\ \text{-----} \quad 3p_{3/2}, 3d_{3/2} \\ \text{-----} \quad 3s_{1/2}, 3p_{1/2} \end{array} \left. \vphantom{\begin{array}{l} 3d_{5/2} \\ 3p_{3/2}, 3d_{3/2} \\ 3s_{1/2}, 3p_{1/2} \end{array}} \right\} n = 3$$

$$\begin{array}{l} \text{-----} \quad 2p_{3/2} \\ \text{-----} \quad 2s_{1/2}, 2p_{1/2} \end{array} \left. \vphantom{\begin{array}{l} 2p_{3/2} \\ 2s_{1/2}, 2p_{1/2} \end{array}} \right\} n = 2$$

$$\text{-----} \quad 2s_{1/2} \quad \left. \vphantom{2s_{1/2}} \right\} n = 1$$

*Тонкая структура уровней атома водорода согласно уравнению Дирака*

Видно, что сохраняется вырождение уровней с одинаковыми  $n$  и  $j$ , но разными  $l$ .

## Г.2. Ультрарелятивистский предел уравнения Дирака

Рассмотрим ультрарелятивистский предел уравнения Дирака (1), (2), когда при  $\varepsilon \gg m$  в гамильтониане можно пренебречь слагаемым, пропорциональным массе электрона, т. е. когда

$$\hat{H} = \boldsymbol{\alpha}(\hat{\mathbf{p}} - e\mathbf{A}) + eA_0. \quad (F.3)$$

В этом случае решения уравнения Дирака обладают дополнительной симметрией. Чтобы увидеть это, перепишем (2), пренебрегая массой электрона,

$$(\varepsilon - eA_0) \varphi(\mathbf{r}) = \boldsymbol{\sigma}(\hat{\mathbf{p}} - e\mathbf{A}) \chi(\mathbf{r}),$$

$$(\varepsilon - eA_0) \chi(\mathbf{r}) = \boldsymbol{\sigma}(\hat{\mathbf{p}} - e\mathbf{A}) \varphi(\mathbf{r}).$$

Складывая и вычитая эти два уравнения, получим систему несвязанных уравнений

$$\begin{aligned}\boldsymbol{\sigma}(\hat{\mathbf{p}} - e\mathbf{A})\xi(x) &= +(\varepsilon - eA_0)\xi(x), \\ \boldsymbol{\sigma}(\hat{\mathbf{p}} - e\mathbf{A})\eta(x) &= -(\varepsilon - eA_0)\eta(x),\end{aligned}$$

где новые двухкомпонентные спиноры  $\xi$  и  $\eta$  выражаются линейно через старые:

$$\xi = \frac{1}{2}(\varphi + \chi), \quad \eta = \frac{1}{2}(\varphi - \chi).$$

Видно, что новые спиноры  $\xi$  и  $\eta$  являются собственными функциями оператора

$$\hat{K} = (\varepsilon - eA_0)^{-1} \boldsymbol{\sigma}(\hat{\mathbf{p}} - e\mathbf{A})$$

с собственными значениями  $+1$  и  $-1$ , соответственно. Таким образом, спиноры  $\xi$  и  $\eta$  описывают два разных квантовых состояния, которые являются решениями уравнения Дирака с одной и той же энергией  $\varepsilon$ . Состояние, описываемое спинором  $\xi(x)$ , называется *киральным состоянием с положительной (или правой, R) киральностью*, а состояние, описываемое спинором  $\eta(x)$ , называется *киральным состоянием с отрицательной (или левой, L) киральностью*.

При свободном движении дираковской частицы, когда  $A_\mu = 0$ , оператор  $\hat{K} = \boldsymbol{\sigma} \hat{\mathbf{p}}/\varepsilon$  лишь множителем 2 отличается от оператора спиральности  $\hat{\Lambda} = \frac{1}{2} \boldsymbol{\sigma} \hat{\mathbf{p}}/|\mathbf{p}|$ , так как в ультрарелятивистском пределе  $|\mathbf{p}| = \varepsilon$ . Поэтому правым или левым киральным состояниям соответствуют определенные значения спиральности  $\lambda = +1/2$  или  $\lambda = -1/2$ . В квазиклассическом приближении оператору  $\hat{\mathbf{p}} - e\mathbf{A}$  соответствует вектор  $m\mathbf{v}/\sqrt{1-v^2}$ , а оператору  $\varepsilon - eA_0$  — величина  $m/\sqrt{1-v^2}$ , так что оператору  $\hat{K}$  и в этом случае соответствует определенная проекция спина на направление движения частицы.

В обычном формализме четырехкомпонентных спиноров  $\psi(\mathbf{r})$  дополнительная симметрия уравнения Дирака при  $m = 0$  связана с наличием дополнительного интеграла движения. Соответствующим ему оператором является величина (5.19)

$$\gamma_5 = -i\gamma_0\gamma_x\gamma_y\gamma_z = \begin{pmatrix} 0 & -I \\ -I & 0 \end{pmatrix}$$

со свойствами

$$(\gamma_5)^2 = 1, \quad \gamma_5\gamma_\mu + \gamma_\mu\gamma_5 = 0, \quad \gamma_5\boldsymbol{\alpha} - \boldsymbol{\alpha}\gamma_5 = 0.$$

Из первого уравнения следует, что собственные значения  $\gamma_5$  равны  $\pm 1$ , а из второго и третьего уравнений следует, что  $\gamma_5$  не коммутирует с полным гамильтонианом  $\hat{H} = \boldsymbol{\alpha}(\hat{\mathbf{p}} - e\mathbf{A}) + eA_0 + m\gamma_0$ , содержащим слагаемое  $m\gamma_0$ , но коммутирует с гамильтонианом (3), в котором это слагаемое отсутствует. Поэтому мы можем ставить задачу на поиск совместных собственных функций операторов  $\hat{H}$  (3) и  $\gamma_5$ . Пусть  $\psi(\mathbf{r})$  есть некоторое решение уравнения  $\hat{H}\psi(\mathbf{r}) = \varepsilon\psi(\mathbf{r})$ . Легко проверить, что функции

$$\psi_R(\mathbf{r}) = \frac{1 - \gamma_5}{2} \psi(\mathbf{r}) = \begin{pmatrix} \xi(\mathbf{r}) \\ \xi(\mathbf{r}) \end{pmatrix}, \quad \psi_L(\mathbf{r}) = \frac{1 + \gamma_5}{2} \psi(\mathbf{r}) = \begin{pmatrix} \eta(\mathbf{r}) \\ -\eta(\mathbf{r}) \end{pmatrix}$$

являются собственными функциями  $\gamma_5$ :

$$\gamma_5 \psi_{R,L}(\mathbf{r}) = \mp \psi_{R,L}(\mathbf{r}).$$

Из эксперимента следует, что масса нейтрино очень мала, и что обычно нейтрино можно считать с хорошей точностью левым, а антинейтрино — правым. Во взаимодействиях нейтрино четность не сохраняется.